

11-168

АЗЭРБАЙЧАН ССР ЕЛМЛӨРАКАДЕМИЯСЫ  
АКАДЕМИЯ НАУК АЗЕРБАЙДЖАНСКОЙ ССР

# МӘРУЗӘЛӘР ДОКЛАДЫ

ТОМ XXIV ЧИЛД

1978 • 5

14113

УВАЖАЕМЫЙ ЧИТАТЕЛЬ!

Просмотрев, издание,  
укажите номер  
читательского билета  
и код категории  
читателя.

( Пример: 325/3Е1 )

ЧУН ГАЙДАЛАР

сынын Мә'рүзэләри»ндә нәзәри вә тәчруби  
ланмыш вә һәлә дәрч едилмәниш нәтиҗә-

иечә айры-айры мә'лumatлар шәклинә салын-  
луматлардан мәһрум мұбәнисә харakterli  
мәләрсиз көмәкчи тәчрубәләри тәсвири-  
свири вә ичмал харәктерли ишләр, төсвијә  
ф методик мәгаләләр, набелә битки вә һеј-  
сүсүси әһәмијәтә малик тапшыларын тәс-  
имир.

Нәмин мә'лumatларын даһа кениш шәкилдә  
иифин һүгугуну әлиниң алмыр.

Л олар мәгаләләр жалызын ихтисас үзә бир  
аксија һеј'ети тәрәфиндән нәзәрдән кечири-  
мамаг шәртилә мәгаләләр тәгдим едә биләр.  
нын мұхбир үзвләринин мәгаләләри тәгди-

р ки, мәгаләләри тәгдим едәркән онларын  
мәгаләниң јерләшdirиләчәни бөлмәниң ады-

и мәгалә дәрч етдири биљәр.  
олмагла, мүэллиф вәрәгәнин дөрдә бирин-  
иылмыш 6—7 сәһиғә һәчминидә (10000 чап

ә хұласәси олмалыдыр; бундан башта, Азәр-  
илиндә хұласә әлавә едилмәлидир. Рус ди-  
дилниң хұласәси олмалыдыр.

иі јерине јетирилди елми идарәнин ады вә  
дир.

Ат ишләринин нәтижәләринин дәрч олумасы  
си олмалыдыр.

магла) вәрәгии бир үзүндә икі хәтт ара бу-  
и вә икі нұсқа тәгдим едилмәлидир. Дүстур-  
к һәрфләри алтындан, кинжалерин исә үс-  
идир; юнаң әлифбасы һәрфләрини гырмызы

ит сәһиғәнин ахырында чыхыш шәклиндә де-  
метидәки  
сияйысы

ды, чил-

вә инн-  
иундуғу

ни ады,

ртасија-

шәклин-  
(ә тәг-

ә мә-  
мәли-

ә бу

з ве-

ллы-

Кор-

рир.

# МӘ'РҮЗӘЛӘР ДОКЛАДЫ

ТОМ XXXIV ЧИЛД

№ 5



## РЕДАКЦИОННАЯ КОЛЛЕГИЯ:

Г. Б. Абдуллаев (главный редактор), М. Т. Абасов,  
 Ал. А. Ализаде, Г. А. Алиев, В. Р. Волобуев, Г. Г. Гасанов,  
 Дж. Б. Гулиев, Н. А. Гулиев, А. И. Гусейнов, М. З. Джафаров,  
 Ю. М. Сенцов, (зам. главного редактора), Г. Ф. Султанов,  
 А. С. Сумбатзаде, М. А. Топчибашев, Т. Н. Шахтахтинский,  
 Г. Г. Зейналов (ответств. секретарь).

УДК 517,9

МАТЕМАТИКА

Член-корр. АН Азерб. ССР Ф. Г. МАКСУДОВ и В. Г. ГУСЕЙНОВ

АСИМПТОТИКА ЧИСЛА СОБСТВЕННЫХ ЗНАЧЕНИЙ  
УРАВНЕНИЯ ШТУРМА—ЛИУВИЛЯ С ОПЕРАТОРНЫМ  
КОЭФФИЦИЕНТОМ НА ПОЛУОСИ

Пусть  $H$ —сепарабельное пространство Гильберта. Рассмотрим множество всех измеримых по Бохнеру функций  $f(x)$  ( $0 \leq x < \infty$ ) со значениями из  $H$ , для которых  $\int_0^\infty \|f(x)\|_H^2 dx < \infty$ . Это множество функций образует новое гильбертово пространство  $H_1$  (также сепарабельное), если скалярное произведение определить равенством

$$(f, g)_{H_1} = \int_0^\infty (f(x), g(x))_H dx.$$

Пусть  $Q(x)$  ( $0 \leq x < \infty$ )—семейство операторов, действующих в пространстве  $H$ . Предположим, что операторная функция  $\zeta(x)$  удовлетворяет следующим условиям: 1) операторы  $\zeta(x)$  для всех  $x \geq 0$  самосопряжены в  $H$ , причем в  $H$  существует общее для всех  $x \geq 0$  множество  $L(\zeta(x))$ , на котором операторы  $\zeta(x)$  определены и симметричны (таким образом, мы допускаем, что операторы  $\zeta(x)$  могут быть неограниченными в  $H$ ); 2) операторы  $\zeta(x)$  равномерно снизу ограничены, т. е. существует такое постоянное число  $c < \infty$ , что для всех  $x \geq 0$  и всех  $f \in D$ .

$$(Q(x)f, f) \geq -c(f, f).$$

Рассмотрим в пространстве  $H_1$  оператор  $L_0$ , порожденный дифференциальным выражением  $l(y) = -y'' + \zeta(x)y$  и граничным условием  $y'(0) - hy(0) = 0$ , где  $y \in H_1$  и производные понимаются в сильном смысле. Здесь  $h$ , вообще говоря—неограниченный самосопряженный оператор, действующий в  $H$ . Будем предполагать, что область определения оператора  $h$  содержит в себе  $D(\zeta(x))$ .

Из 1) и 2) следует, что оператор  $L_0$  определен на всюду плотном множестве в  $H_1$  и полуограничен снизу.

Предполагаются еще следующие условия:

3) для  $|x - \xi| \leq 1$

$$\|Q^{-a}(x)[\zeta(\xi) - \zeta(x)]\|_H < c|x - \xi|,$$

где  $0 < a < \frac{3}{2}$  и  $c > 0$ —постоянные числа;

4) для  $|x - \xi| > 1$

$$\left\| \left\{ \exp \left( -\frac{1}{2}|x - \xi| Q^{\frac{1}{2}}(x) \right) \right\} \zeta(\xi) \right\| < B,$$

где  $B$ —постоянное число.

5) для всех  $x$  из  $[0, \infty]$  выполняются неравенства

а)  $\|(x + h)^{-1}\| < c$ ,    в)  $\|e^{-ix} (x + h)^{-1} e^{ix}\| < c$ .

б)  $\|(x + h)^{-1} x\| < c$ ,    г)  $\|e^{-ix} (x + h)^{-1} x e^{ix}\| < c$ .

© Издательство „Элм“, 1978 г.

Адрес: г. Баку, Коммунистическая, 10. Редакция „Докладов Академии наук Азербайджанской ССР“

Здесь  $x = \sqrt{C(x) + \mu I}$  и  $\mu > 0$ ,  $I$  — единичный оператор в  $H$ . (Буквой  $c$  на протяжении всей работы будем обозначать постоянную величину, необязательно одну и ту же).

6) Предположим, что для всех  $x \geq 0$  оператор  $C(x)$  есть обратный для вполне непрерывного оператора. Обозначим через  $\alpha_1(x) \leq \alpha_2(x) \leq \dots \leq \alpha_n(x) \leq \dots$  собственные значения оператора  $C(x)$ . Предполагается измеримость функций  $\alpha_k(x)$  ( $k = 1, 2, \dots$ ).

Некоторые другие ограничения на  $C(x)$  будут указаны в дальнейших частях работы, по мере того как они понадобятся.

При выполнении условия 2) существует самосопряженное расширение по Фридрихсу оператора  $L_0$ . Обозначим его через  $L$ . Оператор  $L$  в  $H_1$  снизу ограничен тем же самым числом  $c$ . Поэтому, если  $\mu > c$ , то существует обратный оператор  $(L + \mu I)^{-1} = R_\mu$ . Покажем, что оператор  $R_\mu$  является интегральным оператором с операторным ядром  $G(x, \eta; \mu)$ , который, следуя работе [3], будем называть операторной функцией Грина оператора  $L$ .  $G(x, \eta; \mu)$  есть операторная функция в  $H$ , которая зависит от двух переменных  $x$  и  $\eta$  ( $0 \leq x, \eta < \infty$ ) и параметра  $\mu$ .

В настоящей статье строим  $G(x, \eta; \mu)$  и находим распределение собственных значений оператора  $L$ . Заметим, что асимптотика  $N(\lambda)$  для оператора  $L$ , заданного на всей оси, впервые получена в работе [2]. Оператор высокого порядка на всей оси исследован в [4]. В работе [5] результаты из [4] установлены для оператора на полуоси с нулевыми граничными условиями.

Следуя работе [3], обозначим банаховы пространства  $X_1, X_2, X_3^{(2)}, X_4^{(\frac{1}{2})}$  и  $X_4^{(-\frac{1}{2})}$  операторных функций  $A(x, \eta)$  в  $H$ , в которых нормы определяются следующим образом:

$$\|A(x, \eta)\|_{X_1}^2 = \int_0^\infty \left\{ \int_0^\infty \|A(x, \eta)\|_H^2 d\eta \right\} dx,$$

$$\|A(x, \eta)\|_{X_2}^2 = \int_0^\infty \left\{ \int_0^\infty \|A(x, \eta)\|_H^2 d\eta \right\} dx,$$

где  $\|A(x, \eta)\|_H$  — норма Гильберта—Шмидта (абсолютная норма) оператора  $A$  в  $H$ .

$$\|A(x, \eta)\|_{X_3^{(2)}}^2 = \sup_{0 < x < \infty} \int_0^\infty \|A(x, \eta)\|_H^2 d\eta,$$

$$\|A(x, \eta)\|_{X_4^{(-\frac{1}{2})}} = \sup_{0 < x < \infty} \int_0^\infty \|A(x, \eta) Q^{-\frac{1}{2}}(\eta)\|_H d\eta.$$

$$\|A(x, \eta)\|_{X_4^{(\frac{1}{2})}} = \sup_{0 < x < \infty} \int_0^\infty \|A(x, \eta) Q^{\frac{1}{2}}(\eta)\|_H d\eta,$$

Полнота этих пространств установлена в [3].  
Положим

$$x = [Q(x) + \mu I]^{\frac{1}{2}},$$

$$g(x, \eta; \mu) = \begin{cases} e^{-x\eta} \left[ (x+h)^{-1} e^{-x\eta} + \frac{1}{2} x^{-1} (e^{x\eta} - e^{-x\eta}) \right] & \text{при } \eta \leq x, \\ \left[ e^{-x\eta} (x+h)^{-1} + \frac{1}{2} x^{-1} (e^{x\eta} - e^{-x\eta}) \right] e^{-x\eta} & \text{при } \eta > x. \end{cases}$$

Нетрудно проверить, что функция  $g(x, \eta; \mu)$  удовлетворяет уравнению

$$\frac{\partial^2 g}{\partial \eta^2} = g x^2$$

и условиям

$$\left( \frac{\partial g}{\partial \eta} - g h \right) \Big|_{\eta=0} = 0, \quad \frac{\partial g}{\partial \eta} \Big|_{\eta=x+0} - \frac{\partial g}{\partial \eta} \Big|_{\eta=x-0} = -I.$$

С помощью функции  $g(x, \eta; \mu)$  составим интегральное уравнение

$$G(x, \eta; \mu) = g(x, \eta; \mu) - \int_0^\infty g(x, \xi; \mu) [C(\xi) - C(x)] G(\xi, \eta; \mu) d\xi, \quad (1)$$

Запишем его в виде

$$G(x, \eta; \mu) = g(x, \eta; \mu) - N G(x, \eta; \mu).$$

Лемма. Если операторная функция  $C(x)$  удовлетворяет условиям: 1), 2), 3), 4), 5а), 5б), 5в) и 5г), то для достаточно больших  $\mu$  оператор  $N$  является сжимающим оператором как в пространстве  $X_1$ , так и в пространстве  $X_2$ .

Аналогичная лемма имеет место также для банаховых пространств  $X_3^{(2)}, X_4^{(\frac{1}{2})}$  и  $X_4^{(-\frac{1}{2})}$ .

Рассматривая явный вид функции  $g(x, \eta; \mu)$ , можно убедиться, что  $g(x, \eta; \mu)$  принадлежит пространству  $X_3^{(2)}$  и при выполнении дополнительного условия для  $|x - \eta| < 1$

$$\left\| \left( \cdot^{-\frac{1}{2}}(x) \cdot^{\frac{1}{2}}(\eta) \right) \right\| < c,$$

$g(x, \eta; \mu) \in X_4^{(\frac{1}{2})}$ . Поэтому при достаточно больших  $\mu > 0$  существует единственное решение (которое может быть получено методом итераций)  $G(x, \eta; \mu)$  уравнения (1), и оно принадлежит пространствам  $X_3^{(2)}$  и  $X_4^{(\frac{1}{2})}$ .

Ниже показано, что решение  $G(x, \eta; \mu)$  уравнения (1) есть операторная функция Грина для оператора  $L$ . Существует первая производная  $\frac{\partial G}{\partial \eta}$  функции Грина  $G(x, \eta; \mu)$ , как элемента пространства  $X_3^{(2)}$ , непрерывная по  $\eta$  (при  $x \neq \eta$ ) в том смысле, что

$$\left\| \frac{\partial G}{\partial \eta}(x, \eta + \Delta\eta; \mu) - \frac{\partial G}{\partial \eta}(x, \eta; \mu) \right\| \rightarrow 0 \text{ при } \eta \neq x \text{ и } \Delta\eta \rightarrow 0$$

и удовлетворяет уравнению

$$\begin{aligned} \frac{\partial}{\partial \eta} G(x, \eta; \mu) &= \frac{\partial}{\partial \eta} g(x, \eta; \mu) - \\ &- \int_0^\infty g(x, \xi; \mu) [C(\xi) - C(x)] \frac{\partial}{\partial \eta} G(\xi, \eta; \mu) d\xi, \end{aligned}$$

$\frac{\partial G}{\partial \eta}$  удовлетворяет условию

$$\frac{\partial G}{\partial \eta}(x, x+0; \mu) - \frac{\partial G}{\partial \eta}(x, x-0; \mu) = -I,$$

где  $I$  — единичный оператор в  $H$ . Заметим, что это равенство следует понимать в том смысле, что

$$\sup_{0 < x < \infty} \sup_{0 < \eta < \infty} \left\| \left[ \frac{\partial G}{\partial \eta} \Big|_{\eta=x+r} - \frac{\partial G}{\partial \eta} \Big|_{\eta=x-r} + I \right] x^{-1} \right\| \rightarrow 0 \text{ при } r \rightarrow 0.$$

Если  $Q(x)$  удовлетворяет условию для  $|x - \eta| \leq 1$ ,  $Q_{(x)}^{\frac{1}{2}} Q_{(\eta)}^{-\frac{1}{2}} \leq C$ , то для  $x \neq \eta$  существует вторая производная  $\frac{\partial^2 G}{\partial \eta^2}$  функции  $G(x, \eta; \mu)$  и  $\frac{\partial^2 G}{\partial \eta^2} \in X_4^{(-\frac{1}{2})}$ .

Кроме свойств, указанных выше, функция Грина обладает ниже перечисленными свойствами:

а) для  $x \neq \eta$   $G(x, \eta; \mu)$  удовлетворяет дифференциальному уравнению

$$6) \quad \frac{\partial^2 G}{\partial \eta^2} = G(x, \eta; \mu) [C(\eta) + \mu I];$$

$$\frac{\partial}{\partial \eta} G(x, 0; \mu) - G(x, 0; \mu) h = 0;$$

в)  $G^*(x, y; \mu) = G(y, x; \mu)$ .

Здесь звездочкой \* обозначен оператор сопряжения в  $H$ . Заметим, что условие в) обеспечивает симметричность в  $H_1$ , интегрально-го оператора

$$Af = \int_0^\infty G(x, \eta; \mu) f(\eta) d\eta,$$

Положим, что для всех  $x > 0$  сходится ряд

$$\sum_{i=1}^{\infty} \frac{1}{\alpha_i^{s_1}(x)}$$

(через  $\alpha_i(x)$  обозначаем собственные значения оператора  $Q(x)$ ) и его сумма  $F(x)$  есть функция класса  $L_1(0, \infty)$ , т. е.

$$\int_0^\infty F(x) dx < \infty.$$

Если выполняются вышеуказанные условия, то  $g(x, \eta; \mu) \in X_2$  и по лемме получаем, что  $G(x, \eta; \mu) \in X_2$ , т. е.

$$\int_0^\infty \int_0^\infty \|G(x, \eta; \mu)\|_2^2 d\eta dx < \infty.$$

Отсюда, в частности, следует, что спектр оператора  $L$  чисто дискретен.

Обозначим через  $N(\lambda)$  число собственных значений оператора  $L$ , меньших  $\lambda$ , т. е. положим

$$N(\lambda) = \sum_{\lambda_k < \lambda} 1.$$

Предположим еще условие: существуют такие положительные постоянные  $c$  и  $C$ , что

$$\frac{c}{t^{s_1}} \sum_{1 \leq \alpha_i(x) < t} dt \leq \sum_{1 \leq \alpha_i(x) < t} \frac{dx}{\alpha_i^{s_1}(x)} \leq \frac{c}{t^{s_1}} \sum_{1 \leq \alpha_i(x) < t} dt. \quad (2)$$

Справедлива следующая

Теорема. Если выполняются условия леммы и условие (2), то для  $N(\lambda)$  имеет место асимптотическая формула

$$N(\lambda) \sim \frac{2}{\pi} \sum_{1 \leq \alpha_i(x) < \lambda} [\lambda - \alpha_i(x)]^{s_1} dx.$$

## Литература

1. Титчмарш Э. Ч. Разложение по собственным функциям, т. II, М., 1961.
2. Костюченко А. Г. и Левитан Б. М. Об асимптотическом поведении собственных значений операторной задачи Штурма—Лиувилля. В сб.: «Функциональный анализ и его приложения», т. I, вып. I, М., 1967.
3. Левитан Б. М. Исследование функции Грина уравнения Штурма—Лиувилля с операторным коэффициентом. «Матем. сб.», т. 76 (118), 1968, № 2. 4. Байрамоглы М. Асимптотика числа собственных значений обыкновенных дифференциальных операторов с операторными коэффициентами. В сб.: «Функциональный анализ и его приложения». Баку, 1971.
5. Аланов Г. М. ДАН Азерб. ССР, XXVII, 1976, № 3.

Институт математики АН Азерб. ССР

Поступило 3. II 1978

Ф. Г. Магсудов, В. Г. Гусейнов

## ОПЕРАТОР ЭМСАЛЛЫ ШТУРМ—ЛИУВИЛЛ ТЭНЛИИНИН ЖАРЫМОХДА МӘХСУСИ ӘДӘДЛӘР САЙНЫН АСИМПТОТИКАСЫ

Мәгаләдә сыйфырда сәрһәд шәртинә оператор дахиля олан өз-өзүн гошма Штурм—Лиувилл оператор тәнлиинин жарымхда Грин функциясы гурулмуш вә мәхсуси әдәдләр саýнын асимптотикасы тапылышыдыр.

F. G. Magsudov, V. G. Guseinov

## THE ASYMPTOTICS OF THE EIGENVALUES NUMBER OF STURM-LIOUVILLE EQUATION WITH THE OPERATOR COEFFICIENT AT SEMI-AXIS

The Green's function is constructed and it is found the asymptotics of the eigenvalues number of self-adjoint operational Sturm-Liouville equation at semi-axis with the boundary condition in zero containing an operator.

ИБРАГИМ ЭЛЬ ТАХЕР МУХАММЕД МУХАММЕД  
ЧИСТЫЙ ИЗГИБ БЕСКОНЕЧНОЙ ПОЛОСЫ  
С ЭЛЛИПТИЧЕСКИМ ОТВЕРСТИЕМ

(Представлено академиком АН Азербайджанской ССР А. И. Гусейновым)

§ 1. Рассмотрим бесконечную упругую полосу шириной  $2c$ , эксцентрично ослабленную эллиптическим отверстием с полуосами  $a$  и  $b$ . Обозначим через  $S$  область полосы вне эллипса  $L_0$ , а область, заключенную внутри него, —  $S_0$ . Примем правую систему координат, ось  $oy$  совместим с осью полосы, а ось  $ox$  направим по большой оси эллипса  $L_0$ , координаты его центра  $(a, 0)$ . Обход  $L_0$  возьмем в направлении движения часовой стрелки.

Задача состоит в определении напряженного состояния рассматриваемой полосы при ее чистом изгибе моментом  $M$ . Напряжения  $\sigma_x^{(1)}$ ,  $\sigma_{xy}^{(1)}$  и  $\sigma_y^{(1)}$ , возникающие в полосе, представим в виде [3]

$$\sigma_x^{(1)} = \sigma_x, \quad \sigma_{xy}^{(1)} = \sigma_{xy}, \quad \sigma_y^{(1)} = \sigma_y^0 + \sigma_y. \quad (1.1)$$

Здесь  $\sigma_x$ ,  $\sigma_{xy}$  и  $\sigma_y$  — дополнительные напряжения, обусловленные наличием отверстия,  $\sigma_y^0 = -\frac{3}{2}c^{-3}Mx$  — напряжение в неослабленной полосе. Для этих напряжений граничные условия будут

$$\begin{aligned} \sigma_x &= \sigma_{xy} = \sigma_y = 0 \quad \text{при } y \rightarrow \pm\infty, \\ \sigma_x &= \sigma_{xy} = 0 \quad \text{при } x = \pm c, \end{aligned} \quad (1.2)$$

$$\sigma_x n_x + \sigma_{xy} n_y = 0, \quad (\sigma_y^0 + \sigma_y) n_y = 0 \quad \text{на } L_0, \quad (1.3)$$

где  $n_x$ ,  $n_y$  — косинусы углов, составляемых внешней нормалью  $\vec{n}$  к эллипсу с осями координат.

На основании (1.3) потенциалы  $\varphi_0(z)$ ,  $\psi_0(z)$  Колосова—Мусхелишвили, определяющие дополнительные напряжения  $\sigma_x$ ,  $\sigma_{xy}$  и  $\sigma_y$ , удовлетворяют на  $L_0$  условию

$$\varphi_0(t) + t \overline{\varphi_0(t)} + \overline{\psi_0(t)} = 2h(t + \bar{t})^2 + 2C_*, \quad (1.4)$$

где  $h = 3M/32c^3$ ,  $C_*$  — некоторая постоянная.

Введем на  $L_0$  вспомогательную функцию  $\omega(t) \in H$ , определяемую следующим соотношением:

$$2\omega(t) = \varphi_0(t) - t \overline{\varphi_0(t)} - \psi_0(t). \quad (1.5)$$

Из равенств (1.4) и (1.5) имеем

$$\varphi_0(t) = \omega(t) + h(t + \bar{t}) + C_*,$$

$$\psi_0(t) = -\overline{\omega(t)} - \bar{t}\omega'(t) + h(t^2 - \bar{t}^2) - 2h(\bar{t}^2 + t\bar{t}) \frac{dt}{d\bar{t}} + \bar{C}_*. \quad (1.6)$$

Исходя из (1.6), на основании свойств интегралов типа Коши и теоремы аналитического продолжения заключаем, что функции<sup>1</sup>

<sup>1</sup> В статье Ю. А. Амандзаде и И. Эльтахера (ДАН Азерб. ССР, XXXIII, 1977, № 10) знаки перед вторым и третьим слагаемыми вторых соотношений формул (1.7), (1.8) должны быть заменены на обратные.

$$\varphi(z) = \begin{cases} \varphi_0(z) - J(z) & z \in S, \\ -J(z) + hz^2 + C_* & z \in S_0 \end{cases} \quad (1.7)$$

$$\psi(z) = \begin{cases} \psi_0(z) - J(z) & z \in S, \\ -J(z) + hz^2 + \bar{C}_* & z \in S_0 \end{cases} \quad (1.8)$$

где

$$J(z) = \frac{1}{2\pi i} \int_{L_0} [\omega(t) + h(t^2 + 2t\bar{t})] \frac{dt}{t - z}, \quad (1.9)$$

$$J(z) = -\frac{1}{2\pi i} \int_{L_0} \left[ \overline{\omega(t)} + \bar{t}\omega'(t) + h\bar{t}^2 + 2h(\bar{t}^2 + t\bar{t}) \frac{dt}{d\bar{t}} \right] \frac{dt}{t - z},$$

являются аналитическими функциями в сплошной полосе и определяют некоторые фиктивные напряжения  $\sigma_x^*$ ,  $\sigma_{xy}^*$  и  $\sigma_y^*$ .

Воспроизведем функцию [1, 2]

$$\begin{aligned} \zeta &= \frac{1}{2A} [z - d + \sqrt{(z - d)^2 - 4A^2}], \\ (2A &= \sqrt{a^2 - b^2}, \quad \rho = \sqrt{\frac{a+b}{a-b}}), \end{aligned} \quad (1.10)$$

конформно отображающую внешность эллипса  $L_0$  на внешность окружности  $\gamma$  радиуса  $\rho > 1$ . Обратная ей функция будет

$$z - d = A(\zeta + \zeta^{-1}). \quad (1.11)$$

Вспомогательную функцию  $\omega_*(\tau) = \omega(t(\tau))$  на окружности  $\gamma$  представим в виде ряда Фурье

$$\omega_*(\tau) = \alpha_* + \sum_{k=1}^{\infty} \left[ \alpha_k \left( \frac{\tau}{\rho} \right)^k + \beta_k \left( \frac{\rho}{\tau} \right)^k \right]. \quad (1.12)$$

Ввиду симметричности геометрических и силовых условий относительно оси  $ox$  коэффициенты  $\alpha_k$ ,  $\beta_k$  ( $k = 1, 2, 3, \dots$ ), подлежащие определению, будут вещественными,  $\alpha_*$ , вообще говоря, — комплексный коэффициент.

Учитывая (1.11) и (1.12) в соотношениях (1.9), будем иметь

$$I^*(\zeta) = I(z(\zeta)) = \sum_{k=1}^{\infty} a_k \zeta^{-k}; \quad J^*(\zeta) = \sum_{k=1}^{\infty} b_k \zeta^{-k}, \quad (1.13)$$

где

$$\begin{aligned} a_k &= \rho^k \beta_k - \rho^{-k} \alpha_k + H_k \delta_k^{1,2}, \\ b_k &= (\rho^{-k} - k\rho^{k+2}) \beta_k - (\rho^k - k\rho^{-k-2}) \alpha_k + \\ &+ \sum_{s=1}^k H_s^k s(\rho^s \beta_s - \rho^{-s} \alpha_s) + H_k^* \Theta_k + H_k^2, \end{aligned}$$

$$H_1 = 4abhd/A, \quad H_2 = a^3bh'A^2,$$

$$H = 2h(A^2 + 2d^2)(\rho^2 - \rho^{-2}) + hA^2(\rho^4 - \rho^{-4}),$$

$$H_{2k}^* = 2h[A^2(\rho^6 - \rho^{-6} + 2\rho^4 - 2\rho^{-4}) + (A^4 + 2d^2)(\rho^2 - \rho^{-2})],$$

$$H_{2k-1}^* = 2hAd(3\rho^4 - 3\rho^{-4} + 2\rho^2 - 2\rho^{-2}),$$

$$H_s^{2k} = \begin{cases} d/A, & s = 1, 3, 5, \dots \\ (\rho^2 + \rho^{-2}), & s = 2, 4, 6, \dots \end{cases}$$

$$H_s^{2k-1} = \begin{cases} (\rho^2 + \rho^{-2}), & s = 1, 3, 5, \dots \\ d/A, & s = 2, 4, 6, \dots \end{cases}, \quad \delta_k^n = \begin{cases} 1, & n = k, \\ 0, & n \neq k, \end{cases}$$

$$\Theta_k = \begin{cases} 1, & k \geq 3 \\ 0, & k < 3 \end{cases} \quad (k = 1, 2, 3, \dots).$$

Согласно [2] имеем

$$\zeta^{-k} = \sum_{s=0}^{\infty} (-1)^{s+k+1} M_{k,s+k} \left( \frac{2A}{z-d} \right)^{2s+k} \quad \left( \left| \frac{2A}{z-d} \right| < 1 \right), \quad (1.14)$$

где

$$M_{k,s+k} = \sum_{v=0}^N C_k^{2v+1} C_{\frac{k+v}{2}}^{k+s}, \quad N = \begin{cases} k/2 - 1, & k - \text{четное} \\ \frac{k-1}{2}, & k - \text{нечетное} \end{cases}$$

Исходя из (1.2), (1.7), (1.8), (1.13) и (1.14), найдем

$$\sigma_x(t) + i\sigma_{xy}(t) = \sum_{n=1}^{\infty} [P_n(t-d)^{-n-1} + (n+1)P_n t(\bar{t}-d)^{-n-2} + R_n(\bar{t}-d)^{-n-1}] \quad (t = \pm c + iy). \quad (1.15)$$

Здесь

$$P_n = n(2A)^n \sum_{k=2-\Delta}^n (-1)^{\frac{n+k}{2}+1} a_k M_{k,\frac{k+n}{2}},$$

$$R_n = n(2A)^n \sum_{k=2-\Delta}^n (-1)^{\frac{n+k}{2}+1} (a_k - b) M_{k,\frac{k+n}{2}},$$

$$\Delta = \begin{cases} 0, & k - \text{четное} \\ 1, & k - \text{нечетное} \end{cases}$$

Последняя формула показывает, что при  $t \rightarrow \pm \infty$ ,  $\sigma_x^*(\pm \infty) = \sigma_{xy}^*(\pm \infty) = 0$  и напряжения  $\sigma_x(t)$  и  $\sigma_{xy}(t)$  на каждой из граней полосы самоуравновешены. Согласно формулам (1.15) заданы  $\sigma_x(t)$ ,  $\sigma_{xy}(t)$  (в предположении известности коэффициентов  $a_k$  и  $\beta_k$ ), действующие на боковых границах сплошной полосы, которые определяют граничную задачу для построенных ранее потенциалов  $\varphi(z)$  и  $\psi(z)$ .

Следуя работе [1], будем иметь

$$\begin{aligned} c\varphi'(z) = & \sum_{n=1}^8 \sum_{j=0}^{\infty} \left\{ \Gamma_{n,j}^{(1)} \left[ \left( a_n + \frac{z}{c} \right)^{-j-1} + \left( a_n - \frac{z}{c} \right)^{-j-1} \right] + \right. \\ & + \Gamma_{n,j}^{(2)} \left[ \left( b_n + \frac{z}{c} \right)^{-j-1} - \left( b_n - \frac{z}{c} \right)^{-j-1} \right] \left. \right\} + A_1^* \frac{z}{c} \ln \frac{b_6^2 - z^2/c^2}{b_2^2 - z^2/c^2} + \\ & + A_2^* \frac{z}{c} \ln \frac{b_8^2 - z^2/c^2}{b_4^2 - z^2/c^2} + A_3^* \ln \frac{b_2^2 + z/c}{b_2 - z/c} + A_4^* \ln \frac{b_6 - z/c}{b_6 - z/c} + \\ & + A_5^* \ln \frac{b_4 + z/c}{b_4 - z/c} + A_6^* \ln \frac{b_8 + z/c}{b_8 - z/c}, \end{aligned} \quad (1.16)$$

$$\begin{aligned} c\psi'(z) = & \sum_{n=1}^8 \sum_{j=0}^{\infty} \left\{ T_{n,j}^{(1)} \left[ \left( a_n + \frac{z}{c} \right)^{-j-1} + \left( a_n - \frac{z}{c} \right)^{-j-1} \right] + \right. \\ & + T_{n,j}^{(2)} \left[ \left( b_n + \frac{z}{c} \right)^{-j-1} - \left( b_n - \frac{z}{c} \right)^{-j-1} \right] \left. \right\} + B_1^* \frac{z}{c} \ln \frac{b_6^2 - z^2/c^2}{b_2^2 - z^2/c^2} + \\ & + B_2^* \frac{z}{c} \ln \frac{b_8^2 - z^2/c^2}{b_4^2 - z^2/c^2} + B_3^* \left( \ln \frac{b_2 + z/c}{b_2 - z/c} - \ln \frac{b_4 + z/c}{b_4 - z/c} \right) + \\ & + B_4^* \left( \ln \frac{b_6 + z/c}{b_6 - z/c} - \ln \frac{b_8 + z/c}{b_8 - z/c} \right). \end{aligned} \quad (1.17)$$

Из (1.5), (1.7), (1.8), (1.11), (1.12), (1.13), (1.16) и (1.17) после ряда

преобразований получим бесконечную систему линейных уравнений относительно коэффициентов  $a_k$ ,  $\beta_k$ :

$$\sum_{k=1}^{\infty} [q_k^*(l)\beta_k + p_k^*(l)a_k] = f(l) \quad (l = 1, 2, 3, \dots). \quad (1.18)$$

§ 2. В случае, когда эллиптическое отверстие расположено симметрично, ввиду симметричности силовых условий относительно оси  $ox$  и антисимметричности их относительно начала координат, в разложении вспомогательной функции  $\psi_*(\tau)$  коэффициенты с нечетными индексами равны нулю, а с четными являются вещественными. Поступая аналогично § 1, получим соотношения, которые отличаются от приведенных выше следующим:

а)  $d=0$ ; б) в соотношениях, соответствующих (1.12), (1.13) и (1.15), суммирование ведется только по четным значениям индексов; в) вместо формул (1.16), (1.17) и (1.18) соответственно будут

$$\begin{aligned} c\varphi'(z) = & \sum_{n=2}^5 \sum_{j=1}^{\infty} \Gamma_{n,j} \left[ \left( n + \frac{z}{c} \right)^{-j-1} - \left( n - \frac{z}{c} \right)^{-j-1} \right] + \\ & + A_1 \ln \frac{3+z/c}{3-z/c} + A_2 \ln \frac{5+z/c}{5-z/c}, \end{aligned} \quad (2.1)$$

$$\begin{aligned} c\psi'(z) = & \sum_{n=2}^5 \sum_{j=1}^{\infty} T_{n,j} \left[ \left( n + \frac{z}{c} \right)^{-j-1} - \left( n - \frac{z}{c} \right)^{-j-1} \right] + \\ & + B \left( \ln \frac{3+z/c}{3-z/c} - \ln \frac{5+z/c}{5-z/c} \right), \end{aligned} \quad (2.2)$$

$$\sum_{k=2}^{\infty} [q_k^{**}(l)\beta_k + p_k^{**}(l)a_k] = f^*(l) \quad (l = 2, 4, 6, \dots). \quad (2.3)$$

Для коэффициентов  $\Gamma_{n,j}^{(1)}$ ,  $\Gamma_{n,j}^{(2)}$ ,  $T_{n,j}^{(1)}$ ,  $T_{n,j}^{(2)}$ ,  $a_n$ ,  $A_1^*$ ,  $A_2^*$ ,  $b_n$ ,  $B_1^*$ ,  $B_2^*$ ,  $q_k^*$ ,  $p_k^*$ ,  $p_k^{**}$ ,  $f(l)$  и  $f^*(l)$  получены соответствующие формулы.

#### Литература

- Амензаде Ю. А., Эльтахер И. ДАН Азерб. ССР\*, XXXIII, 1977, № 10.
- Амензаде Ю. А., Эльтахер И. Изв. АН Азерб. ССР\*, серия физ.-техн. и матем. наук\*, 1977, № 6. З. Мироненко Н. И. МТТ, 1977, № 1. 4. Мусхелишивили Н. И. Некоторые основные задачи математической теории упругости. М., "Наука" 1966.

АГУ им. С. М. Кирова

Поступило 20. I 1978

Ибраһим әл-Тайир Мәһәммәд Мәһәммәд

#### ЕЛЛИПТИК БОШЛУГЛУ СОНСУЗ ЗОЛАҒЫН САҒ ӘЖИЛМӘСИ

Мәгаләдә еллиптик контур үзәриндә дахил едилмиш көмәкчи функциянын Рурје сырасына аյрылыш әмсалларына көрә сонсуз чәбри тәспилкләр системинә көтирилmişdir.

I. Eltaher

#### BENDING OF AN INFINITE STRIPE WITH AN ELLIPTIC HOLE

In this paper, it is studied stresses produced in an infinite stripe with an eccentric or concentric elliptic hole by application of pure momentum. Here the methods of theory of functions with complex variables and Fourier's transformation were used.

Член-корр. АН Азерб. ССР Дж. Э. АЛЛАХВЕРДИЕВ, А. В. ШАПИРО

**ОБ УПРАВЛЯЕМОСТИ СИСТЕМ, ОПИСЫВАЕМЫХ  
ДИФФЕРЕНЦИАЛЬНЫМИ УРАВНЕНИЯМИ В БАНАХОВЫХ  
ПРОСТРАНСТВАХ**

Рассмотрим случай линейных динамических систем, описываемых дифференциальными уравнениями вида

$$\dot{x} = A(t)x + B(t)u, \quad (1)$$

где  $x$  и  $u$ —соответственно векторы фазового состояния и управления системы (1), принадлежащие банаховым пространствам  $X$  и  $Y$ , а  $A(t)$  и  $B(t)$ —линейные операторы.

В дальнейшем будем считать, что  $A(t)$ —замкнутый оператор в  $X$ , имеющий плотную в  $X$  область определения  $L(A(t)) = L(A)$ . Кроме того, предположим, что задача Коши

$$\dot{x} = A(t)x,$$

$$x(s, s) = x_0 \in D(A)$$

равномерно корректна в треугольнике  $T_\Delta: 0 \leq s \leq t \leq T$ . Через  $U(t, s)$  обозначим соответствующий эволюционный оператор (см. [1]).

Пусть  $\Delta = [0, T]$ . Обозначим через  $L_\Delta^q(Y)$  ( $1 < q \leq \infty$ ) банахово пространство суммируемых по Бехнеру с  $q$ -й степенью функций, действующих из  $\Delta$  в  $Y$ . Далее,  $[Y, X]$ —банахово пространство ограниченных линейных операторов из  $Y$  в  $X$ . Условимся, наконец, при заданном  $1 < p \leq \infty$  через  $q$  обозначать величину  $p/p-1$ .

В дальнейшем при использовании управлений  $u(\cdot)$  из  $L_\Delta^q(Y)$  ( $L_\Delta^q(Y)^{**}$ ) будем автоматически предполагать, что  $B(\cdot) \in L_\Delta^p([Y, X])$  и что  $x(0) = x_0 = 0$ . Решение (слабое) дифференциального уравнения (1) (при  $u(\cdot) \in L_\Delta^q(Y)$ ) определим как (непрерывную) функцию

$$x(t) = \Phi_t(u(\cdot)) = \int_0^t U(t, \tau)B(\tau)u(\tau)d\tau.$$

**Определение 1.** Назовем областью достижимости системы (1) относительно класса допустимых управлений  $L_\Delta^q(Y)$  образ  $(\text{Im } (\Phi))$  оператора  $\Phi = \Phi_t: L_\Delta^q(Y) \rightarrow X$ .

**Определение 2.** Систему (1) назовем  $L_\Delta^q(Y)$  вполне управляемой, если  $\text{Im } (\Phi) = X$ .

Далее, введем сопряженный с  $\Phi$  оператор  $K = \Phi^*: X^* \rightarrow L_\Delta^q(Y)^*$  и заметим, что  $Kx^*(x^* \in X^*)$  как элемент сопряженного пространства  $L_\Delta^q(Y)^*$  действует следующим образом:

$$\langle Kx^*, u(\cdot) \rangle = \int \langle B^*(\tau)U^*(T, \tau)x^*, u(\tau) \rangle d\tau \quad (u(\cdot) \in L_\Delta^q(Y)). \quad (2)$$

**Определение 3.** Систему (1) назовем  $L_\Delta^q(Y)^{**}$  вполне управляемой, если на  $\text{Im } (K)$  как подмножестве пространства  $L_\Delta^q(Y)^*$ ,

$\forall x \in X$  разрешима следующая проблема моментов:

$$\exists f \in L_\Delta^q(Y)^{**}: \langle f, Kx^* \rangle = \langle x^*, x \rangle \quad (\forall x^* \in X^*).$$

**Теорема 1.** Для того чтобы система (1) была  $L_\Delta^q(Y)$  вполне управляемой ( $1 < q \leq \infty$ ), необходимо и достаточно существование такого  $c > 0$ , что

$$c \left[ \int_{\Delta} \|B^*(\tau)U^*(T, \tau)x^*\|_p^p d\tau \right]^{1/p} > \|x^*\| \quad (\forall x^* \in X). \quad (3)$$

Если же пространство  $X$  рефлексивно, то условие (3) необходимо и достаточно для  $L_\Delta^q(Y)^{**}$  вполне управляемости системы (1).

**Следствие 1.** Рассмотрим пространство  $G = [A(\cdot), B(\cdot)]$  управляемых систем вида (1) с  $A(\cdot) \in L_\Delta^1([X])$  и  $B(\cdot) \in L_\Delta^p([Y, X])$ . Оно банахово, если естественным образом определить линейную структуру и норму:

$$\|(A(\cdot), B(\cdot))\| = \|A(\cdot)\|_1 + \|B(\cdot)\|_p.$$

Из теоремы 1 вытекает, что подмножество  $G_0 \subset G$   $L_\Delta^q(Y)$  вполне управляемых систем открыто в  $G$ . Соответствующий результат из [2] является весьма частным случаем этого утверждения. Далее, если  $q > 1$  и существует оператор  $R \in [Y, X]$  такой, что  $\text{Im } (R) = X$ , то  $G_0$  плотно в  $G$ .

**Следствие 2.** Рассмотрим автономный случай

$$\dot{x} = Ax + Bu \quad (4)$$

где  $A$ —производящий оператор сильнонепрерывной полугруппы  $e^{At}$  класса  $C_0$ ,  $B \in [Y, X]$ . В случае, когда выполняются условия:  $X$ —бесконечномерно,

$$\text{Im } (B) = X, \quad (5)$$

система (4) либо  $L_\Delta^q(Y)$  вполне управляема для всех  $1 < q \leq \infty$ , либо ни для одного. Далее, если  $e^{At}$  инъективен и имеет место (5), то система (4)  $L_\Delta^q(Y)$  вполне управляема ( $1 < q \leq \infty$ ) в том и только в том случае, когда  $e^{At}$ —группа. И, наконец, если  $B$  коммутирует с  $e^{At}$  ( $t > 0$ ), то условие (5) необходимо для  $L_\Delta^q(Y)$  полной управляемости системы (4). Аналогичные утверждения (в случае рефлексивного  $X$ ) верны и для  $L_\Delta^q(Y)^{**}$  вполне управляемости.

**Примеры.** Пусть выполняется (5), а (4) соответствует (неоднородным) уравнениям теплопроводности или Шредингера в смысле определением в [3] (см. гл. 4). Тогда, используя сформулированные выше результаты, нетрудно показать, что в первом случае (уравнения теплопроводности) система (4) вполне управляема только для  $q = 1$ , а во втором для  $1 < q \leq \infty$  (см. в этой связи [4], стр. 146).

Сравним теперь области достижимости двух систем:

$$\dot{x} = A_j(t)x + B_j(t)u, \quad (j = 1, 2)$$

определенных на отрезках времени  $\Delta_j = [0, T_j]$  и удовлетворяющих тем же условиям, что и система (1). Обозначим через  $L_{\Delta_j}^q(Y)$ ,  $\Phi_j$ ,  $K_j$  соответствующие этим системам классы допустимых управлений и операторы (определенные ранее). Введем в  $X^*$  полуночмы

$$\|x^*\|_j = \|K_j x^*\| = \left[ \int_{\Delta_j} \|B_j^*(\tau)U_j^*(T_j, \tau)x^*\|_p^p d\tau \right]^{1/p_j}.$$

**Теорема 2.** Пусть ядра операторов  $\Phi_1$  и  $\Phi_2$  имеют прямые замкнутые дополнения и  $\forall x^* \in X^*$  функции  $K_1 x^*$  и  $K_2 x^*$  измеримы (2). Кроме того, предположим, что пространство  $U$  равномерно выпукло или рефлексивно и сепарабельно и  $1 < q_1, q_2 < \infty$ . Тогда для равенства  $\text{Im}(\Phi_1) = \text{Im}(\Phi_2)$  необходимо и достаточно существование  $c_1, c_2 > 0$  таких, что

$$c_1 \|x^*\|_2 \leq \|x^*\|_1 < c_2 \|x^*\|_2.$$

**Следствие.** Пусть пространство  $X$ , в котором задана система (4), гильбертово и  $B$ -тождественный оператор. Рассмотрим наряду с (4) систему

$$\dot{x} = (A + C)x + u, \quad (6)$$

где  $C \in [X]$ . Тогда области достижимости этих систем, соответствующие классу допустимых управлений  $L_A^2(U)$  ( $U = X$ ), совпадают. В частности, (4)—уравнение теплопроводности и, как следует из вышесказанного, система (6) не будет  $L_A^2(U)$  вполне управляемой.

Далее, рассмотрим вопрос управляемости в случае одного класса нелинейных систем, для которых в этой связи получены лишь немногие результаты (см., например, [5]). Итак, пусть система описывается (квазилинейным) уравнением

$$\dot{x} = A(t)x + B(t)u + \mu\varphi(t, x, u), \quad (7)$$

линейная часть которого удовлетворяет тем же требованиям, что и раньше,  $\mu$ —скалярный параметр и (a)  $\varphi(t, x, u)$ —измеримая и ограниченная при фиксированных  $x$  и  $u$  функция со значениями в  $X$ , (b)  $\varphi(t, x, u)$  удовлетворяет по  $x$  и  $u$  равномерно по  $t \in \Delta$  условию Липшица:

$$\|\varphi(t, x_1, u_1) - \varphi(t, x_2, u_2)\| \leq N_1 \|x_1 - x_2\| + N_2 \|u_1 - u_2\|.$$

Определим (слабое) решение дифференциального уравнения (7) (при  $u(\cdot) \in L_A^q(U)$ ), как непрерывную (на  $\Delta$ ) функцию  $x(t)$ , удовлетворяющую равенству

$$x(t) = \int_0^t U(t, \tau) [B(\tau)u(\tau) + \mu\varphi(\tau, x(\tau), u(\tau))] d\tau.$$

Заметим, что при наших ограничениях так определенная функция  $x(t)$  существует и она единственна.

При совершенно аналогичном с линейным случаем определении полной управляемости справедлива

**Теорема 3.** Пусть  $U$ —равномерно выпуклое или рефлексивное и сепарабельное банахово пространство, система (1) (соответствующая (7) при  $\mu = 0$ )  $L_A^q(U)$  вполне управляема для некоторого  $q \in (1, \infty]$  и  $\forall x^* \in X^*$  измерима функция  $Kx^*$ . Тогда, если  $\text{Im}(K)$  имеет прямое замкнутое дополнение в  $L_A^p(U^*)$ , то существует  $\sigma > 0$  такое, что при  $\mu < \sigma$  система (7)  $L_A^q(U)$  вполне управляема.

**Замечание.** В случае, когда  $X$  конечномерно или  $q = 2$  и пространство  $U$  гильбертово, условие на  $\text{Im}(K)$  излишне. Отметим также, что теорема 3 является результатом новым и для конечномерной теории.

#### Литература

1. Крейн С. Г. Линейные дифференциальные уравнения в банаховом пространстве. М.: Наука, 1957.
2. Меган М., Нирис В. On the space of linear controllable systems in Hilbert spaces. Glas. mat., ser. 3, 10., 1975, № 1. 161—167
3. Балакришнан А. Введение в теорию оптимизации в гильбертовом пространстве.

М., „Мир“, 1971. 4. Красовский Н. Н. Теория управления движением. М., „Наука“, 1968. 5. Fujii N., Sakawa Y. Automat. Contr. Theory and Appl., 2, 1974, № 2, 44—46.

Институт кибернетики АН Азерб. ССР.

Поступило 27. I 1978

Ч. Е. Аллахвердиев, А. В. Шапиро

#### БАНАХ ФЭЗАСЫНДА ДИФЕРЕНСИАЛ ТӘНЛИКЛЭР ИФАДЭ ОЛУНАН СИСТЕМЛЭРИН ИДАРЭОЛУУМАСЫ ҮАГЫНЫДА

Мэгалэдэ сонсуз өлчүлү хэтти вэ квази-хэтти системлэр үчүн идарэолуума мэсэлэлэри өјрөнүлмийшидир.

Там идарэолуума үчүн бэ'зи кафи шартлэр алымышдыр.

J. E. Allakhverdiev, A. V. Shapiro

#### ON CONTROLLABILITY OF THE SYSTEMS DESCRIBED BY THE DIFFERENTIAL EQUATIONS IN BANACH SPACES

In the paper the questions of controllability for linear and quasi-linear infinite dimensional systems are considered.

In particular some necessary and sufficient conditions of complete controllability are obtained.

УДК

## КИБЕРНЕТИКА

В. Ю. ДОКУКИН

О ПРИМЕНЕНИИ ОПЕРАТОРНОГО МЕТОДА ДЛЯ РЕШЕНИЯ  
ПРОБЛЕМЫ ЗАЩИТЫ ОКРУЖАЮЩЕЙ СРЕДЫ

(Представлено академиком АН Азербайджанской ССР А. И. Гусейновым)

В настоящее время в условиях интенсивно развивающейся экономики проблема окружающей среды требует к себе все более пристального внимания, ибо в городах сосредоточено большое количество промышленных предприятий, систематически загрязняющих воздушный и водный бассейны.

В данной статье эта проблема решается при помощи операторного метода, разработанного в Институте проблем управления [1].

В развитие этого метода рассмотрим модель с учетом факторов загрязнения внешней среды.

1. Обозначим объем выпуска продукции  $v_j$ , где  $v$ —среднесуточный объем выпуска продукции,  $j$ —вид продукции;  $j = 1 \dots I$ .

2. Каждый вид продукции  $j$  может выпускаться по  $r$ -й технологии, где  $r = 1, R$ , причем одна из них является наиболее прогрессивной.

3. Вредные отходы, получаемые при выпуске продукции, обозначим  $O_{qj}^r$ , где  $r$ —вид технологии производства продукции,  $q$ —вид отхода. Тогда

$$O_{qj}^r = f_q(\tau_j, r). \quad (1)$$

С учетом того, что предприятие (элемент производства) производит и побочные продукты, которые могут явиться причиной загрязнения окружающей среды города, к модели функционирования элемента производства, в частности к основным (фонам), добавляется три вида затрат: а) на улучшение технологии  $\Delta\Phi_T$ ; б) на создание очистных сооружений  $\Delta\Phi_{OQ}$ ; в) на создание системы контроля за загрязнением  $\Delta\Phi_{CK}$ .

Получаемые вредные отходы  $O_{qj}^r$  слагаются из отходов  $U_{qj}^r$ , которые задерживаются и на основе которых получается новая продукция, и отходов, которые не обезвреживаются и загрязняют атмосферу  $O_{qj}^{atm, ch}$ . Тогда

$$O_{qj}^r = O_{qj}^{atm, ch} + U_{qj}^r. \quad (2)$$

Количество вредных отходов является функцией от выпуска продукции, суммы затрат ( $\Delta\Phi = \Delta\Phi_T + \Delta\Phi_{OQ} + \Delta\Phi_{CK}$ ), вида технологии:

$$O_q = f(V, \Delta\Phi_1(r)). \quad (3)$$

Модель функционирования элемента представлена на рис. 1. Уравнение (3) в данной модели представим как систему уравнений

$$O_r = L_r v_r, \quad (4)$$

$$v^r = A_r V_r, \quad (5)$$

$$Y_r = \varphi(\Delta\Phi, V_r), \quad (6)$$

где  $L_r$ —матрица, показывающая, сколько вредных отходов получа-

ется при выпуске единицы продукции;  $A_r$ —матрица прямых затрат;  $\varphi$ —функция, отражающая зависимость отношения количества устраиваемых вредных отходов ко всем отходам от затрат и выпуска продукции.

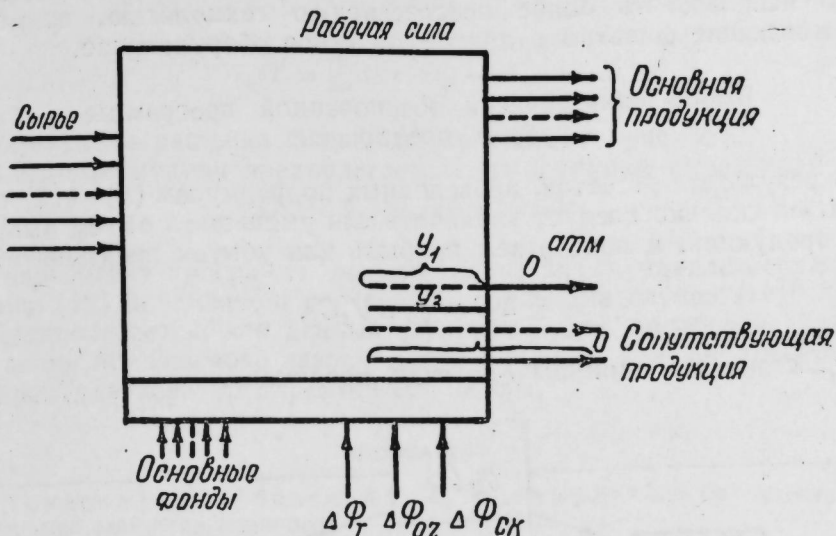


Рис. 1

При этом выполняются условия

$$\frac{\partial\varphi}{\partial\Delta\Phi} > 0, \quad \frac{\partial\varphi}{\partial v_r} < 0. \quad (7)$$

Рассматривая работу предприятий металлургической промышленности, следует отметить, что при выпуске продукции образуются такие вредные выбросы, как пыль, окислы азота, окись марганца, окись углерода, сернистый ангидрид, пары серной и хлорной кислот и т. д. Обозначим объем вредных отходов в единицу времени через  $O_q$ . В общем случае  $q = 1 \dots Q$ . Единица измерения  $O_q$ — $t$ , сутки.

Каждый из вредных отходов связан с выпуском конкретного вида продукции и существенно зависит от технологии производства продукции. Поэтому введем  $O_{qj}^r$ , где  $j$ —вид продукции,  $r = 1, R$ , причем одна из них наиболее прогрессивная. Объем вредных отходов зависит от объема выпуска.

Пусть среднесуточный объем выпуска каждого вида продукта будет  $V_{qj}^r$ , где  $j$ —вид продукции. Среднесуточный объем выделяемого вредного отхода  $q$ -го вида при производстве продукции по  $r$ -й технологии равен

$$O_q^r = \sum_{j=1}^I V_{qj}^r O_{qj}^r, \quad (8)$$

где  $O_{qj}^r$ —объем выделяемого вредного отхода  $q$ -го вида при выпуске единицы  $j$ -го вида продукции, производимой по  $r$ -й технологии.

Пусть  $V$ —объем воздушного бассейна, в который выделяются вредные отходы. Обозначим через

$$O_{rq}^* = \max O_{rq}(v), \quad (9)$$

где  $v$ —некоторые точки в области  $V$ .

Если  $O_q^*$ —предельно допустимые нормы загрязнения, определенные в результате медицинских исследований, то должно выполняться

неравенство

$$O_{rq}^* < O_q^*. \quad (10)$$

Если  $O_{rq}^*$  больше  $O_q^*$ , то необходимо уменьшить объем выпускаемой продукции. Обратный пересчет должен показать, насколько нужно использовать более прогрессивную технологию, применить задерживающие фильтры и другое очистное оборудование.

### Выбор экономически обоснованной программы работы предприятия

В результате расчетов, проведенных по формулам (8)–(10) определим, на сколько следует увеличить или уменьшить объем выпускаемой продукции, и подсчитаем прибыль или убыток предприятия:

$$\pm \Delta C = \sum_{j=1}^I \Delta V_j^c C_j, \quad (11)$$

где  $C_j$ —стоимость единицы  $j$ -го вида продукции.

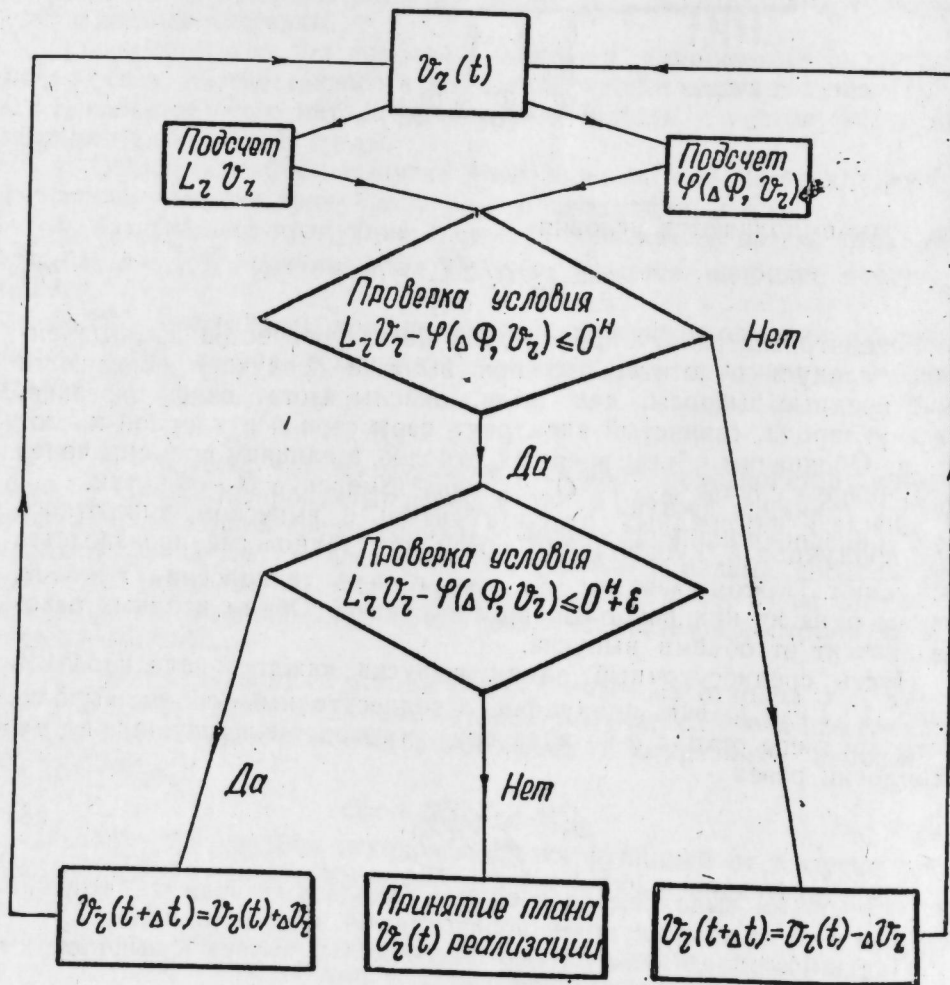


Рис. 2

Если имеется набор технологий, по которым предприятие производит продукцию, то, проводя расчеты для каждой из них по формулам (8)–(10), получим наиболее прогрессивную технологию  $r^*$ ;  $C_r$ —объем затрат, связанный с переходом на эту технологию.

### Выбор и обоснование строительства очистных сооружений

Пусть  $Y_{qj}^r$ —объем устраиваемого вредного отхода  $q$ -го вида при производстве  $j$ -го вида продукции, производимой по  $r$ -й технологией. Тогда

$$O_q^r = \sum_{j=1}^I V_{rj}^c (O_{qj}^r - Y_{qj}^r). \quad (12)$$

Блок-схема решения задачи изображена на рис. 2.

В данной модели предполагается, что функция имеет вид:

$$\varphi(\Delta\Phi, v_r) = f_1 \Delta\Phi - f_r V_r,$$

где  $f_1, f_2 > 0$ .

Разработана программа расчета плана  $V_r(t)$ , удовлетворяющего условию (12), и проведен расчет на машине для случая  $I=10, Q=3$ .

Предполагается, что данный алгоритм будет опробован для расчета плана Московского завода „Серп и Молот“ и далее может быть применен для всех предприятий г. Москвы.

### Литература

1. Токарев В. В., Дубовский С. И., Фаткин Ю. М. и др. Математическое описание элементов экономики, ч. 1 и 2. М., 1973.

Московский институт стали и сплавов

Поступило 30. VI 1977

V. Y. Dokukin

### METHOD OF OPERATORS FOR SOLVING PROBLEMS DEFENCE OF SURROUNDING ENVIRONMENT

This paper is devoted to solving problem of control and struggle with pollution of surrounding environment by way the operative collection, treatment, analysis and delivery of necessary express-information to organisations of control with help of means Automatic Systems Control.

Ф. К. ПИРМАМЕДОВ

**ЧИСЛЕННЫЙ МЕТОД РЕШЕНИЯ ЗАДАЧИ О ДВИЖЕНИИ  
ГРАНИЦЫ РАЗДЕЛА ДВУХ ЖИДКОСТЕЙ  
В ОГРАНИЧЕННОЙ ПОРИСТОЙ СРЕДЕ**

(Представлено академиком АН Азербайджанской ССР А. И. Гусейновым)

В работе [1] задача о вытеснении одной несжимаемой жидкости другой в однородной недеформируемой пористой среде в рамках поршневой модели вытеснения сведена к решению задачи Коши для интегродифференциального уравнения.

Численному решению этой задачи, описывающей процесс движения границы раздела жидкостей при предположении, что граница в течение всего исследуемого периода является звездной<sup>1</sup> относительно первоначально выбранного полюса, посвящены работы [1, 2, 7].

В работах [3, 6] снято ограничение на звездность и при более общих условиях, налагаемых на подвижную границу, предложен численный алгоритм решения задачи о движении границы раздела двух жидкостей в бесконечном горизонтальном однородном пласте.

В данной статье рассматриваются плоские задачи о движении границы раздела двух жидкостей в ограниченном горизонтальном однородном пласте.

Пусть в начальный момент времени в горизонтальном однородном пласте с постоянной мощностью находятся две жидкости—вытесняемая и вытесняющая. Вытесняемая жидкость занимает ограниченную область  $G$ , граница  $\gamma(0)$  которой—гладкая кривая, а вытесняющая жидкость—внешнюю к контуру  $\gamma(0)$  область  $G$  с внешним контуром  $\gamma$ . Внутри области  $G$  находятся эксплуатационные скважины, а вне контура  $\gamma(0)$  в области  $G_1$ —нагнетательные. Обозначим координаты  $i$ -й скважины ( $i = 1, 2, \dots, M_2$ ) через  $(x_i, y_i)$ , а дебит— $q_i(t)$ , полагая, что нагнетательным скважинам соответствуют значения индексов  $i = 1, 2, \dots, M_1$ , а эксплуатационным скважинам— $i = M_1 + 1, M_1 + 2, \dots, M_2$ .

Система уравнений изотермической фильтрации двух несжимаемых несмешивающихся жидкостей в изотропной недеформированной пористой среде без учета капиллярных и гравитационных сил, а также относительных фазовых проницаемостей сводится к уравнению Лапласа для определения давления в обеих фазах. Это уравнение имеет место в области  $G \cup G_1$ , кроме границы раздела двух жидкостей и особых точек (скважин).

Пусть для любого  $t \in [0, T]$  граница  $\gamma(t)$  представляет собой замкнутую ориентированную несамопересекающуюся гладкую кривую, которая представляется в параметрическом виде

$$x = x(\tau, t), \quad y = y(\tau, t), \quad \tau \in [a, b].$$

Предполагается, что кривая  $\gamma$  задана в параметрическом виде и не имеет общих точек с  $\gamma(t)$ .

<sup>1</sup> Любой радиус, исходящий из выбранного полюса, пересекает границу раздела лишь один раз.

Для любого  $t \in [0, T]$  на границе  $\gamma(t) P^+(x, y, t) = P^-(x, y, t)$ ,  $c_1 \frac{\partial P^+}{\partial n} = c_2 \frac{\partial \Gamma^-}{\partial n}$ ,  $(x, y) \in \gamma(t)$ , где  $P$ —давление, индекс “+” означает предельное значение при подходе к  $\gamma(t)$  изнутри, а индекс “−”—извне,  $n$ —внешняя нормаль к  $\gamma(t)$ ,  $c_i = k/m_i$ ,  $i = 1, 2$ ,  $k$ —абсолютная проницаемость,  $m_i$ —вязкость  $i$ -й жидкости.

Рассмотрим случай, когда на контуре  $\gamma$  поддерживается постоянное давление  $P_0$ .

При использовании метода потенциала задача о движении границы раздела жидкости сводится к решению следующей системы уравнений:

$$v(t, s) - a \int_{\gamma(t)} (v(t, s) - v(t, \xi)) \frac{\partial}{\partial n} \ln R^{-1}(t, \xi, s) d\xi = \bar{K} \frac{\partial \varphi}{\partial n} + \bar{K} \frac{\partial}{\partial n} \int_{\gamma} \mu(t, \xi_1, s_1) \frac{\partial}{\partial n_1} \ln R_1^{-1}(t, \xi_1, s_1) d\xi_1, \quad (1)$$

$$\begin{aligned} p(t, s_1) = & -(2\pi)^{-1} (P_0 - \varphi(x, y, t) - m(2\pi)^{-1} (c_1^{-1} - c_2^{-1}) \times \\ & \int_{\gamma(t)} v(t, s) \ln R^{-1}(t, s) ds - \int_{\gamma} (\mu(t, s_1) - \mu(t, \xi)) \times \\ & \frac{\partial}{\partial n} \ln R_1^{-1}(\xi_1, s_1) d\xi_1). \end{aligned} \quad (2)$$

$$\frac{dx(t, s)}{dt} = -v(t, s) \frac{\partial y(t, s)}{\partial s}, \quad \frac{\partial y(t, s)}{\partial t} = \tau(t, s) \frac{\partial x(t, s)}{\partial s}, \quad (3)$$

где  $v(t, s) = v_n(x(t, s), y(t, s), t)$ —скорость перемещения точек контура  $\gamma(t)$  по нормали к нему,  $n_1$ —внешняя нормаль к  $\gamma$ ,

$$R(t, \xi, s) = ((x(t, s) - x(t, \xi))^2 + (y(t, s) - y(t, \xi))^2)^{1/2},$$

$$R(t, \xi_1, s) = ((x(t, s) - x(t, \xi_1))^2 + (y(t, s) - y(t, \xi_1))^2)^{1/2},$$

$$R(\xi_1, s_1) = ((x(s_1) - x(\xi_1))^2 + (y(s_1) - y(\xi_1))^2)^{1/2},$$

$$\varphi(x, y, t) = (2\pi H c_1)^{-1} \sum_{i=1}^{M_1} Q_i(t) \ln R_i^{-1} + (2\pi H c_2)^{-1} \sum_{i=M_1+1}^{M_2} Q_i(t) \ln R_i^{-1},$$

$R_i = ((x - x_i)^2 + (y - y_i)^2)^{1/2}$ ,  $H$ —мощность пласта,  $\bar{K} = i - c_i/m$ ,  $a = (c_1 - c_2)/2\pi c_1$ ,  $m$ —пористость среды,  $\mu$ —плотность логарифмического потенциала двойного слоя, непрерывно распределенного по  $\gamma$ .

Свойства интеграла

$$\bar{v}(t, s) = \int_{\gamma(t)} (\tau(t, s) - \tau(t, \xi)) \frac{\partial}{\partial n} \ln R^{-1}(t, \xi, s) d\xi,$$

если  $\gamma(t)$ —гладкий контур, изучены в [4]. В данной статье уравнения (1)–(3) рассматриваются в тех же предположениях относительно  $v$  и  $\gamma$  (при каждом фиксированном  $t$ ).

Для решения полученной системы используется идея метода, предложенная в [6]. Здесь и далее используются обозначения, принятые в этой работе.

Перейдем к численному решению системы (1), (2), (3). С этой целью разобьем отрезок  $[0, T]$  точками  $0 = t_0 < t_1 < \dots < t_n = T$ . Пусть при  $t = 0$  на кривой  $\gamma(t_0)$  задано разбиение  $\tau_0 = (\theta_0(t_0), \theta_1(t_0), \dots, \theta_n(t_0))$ . Разбиение кривой  $\gamma(t_k)$  длины  $l(t_k)$  ( $0 < k < q$ ) обозначим через  $\tau_k = (\theta_0(t_k), \theta_1(t_k), \dots, \theta_n(t_k))$ , а мелкость разбиения  $\tau_k = \| \tau_k \|$ . Разбиение кривой  $\gamma$  длины  $l'$  обозначим  $\tau' = (\theta'_0, \theta'_1, \dots, \theta'_n)$ , а мелкость разбиения  $\tau' = \| \tau' \|$ .

Рассмотрим  $\varepsilon_k$ -окрестность ( $\|\tau_k\| \leq \varepsilon_k \leq l(t_k)/8$ ,  $0 < k \leq q$ , точки  $0_j(t_k) = (x_{jk}, y_{jk}) = (x(s_j, t_k), y(s_j, t_k)) \in \gamma(t_k)$ ,  $0 \leq j \leq n_k$ ). Через  $\tilde{\theta}_{jk} = (\tilde{x}_{jk}, \tilde{y}_{jk})$  и  $\tilde{\theta}'_{jk} = (\tilde{x}'_{jk}, \tilde{y}'_{jk})$  обозначим ближайшие точки разбиения  $\tau_k$ , принадлежащие соответственно дугам  $(x(s_j, t_k), y(s_j, t_k))$  ( $x(s_j - \varepsilon_k, t_k), y(s_j - \varepsilon_k, t_k)$ ),  $(x(s_j + \varepsilon_k, t_k), y(s_j + \varepsilon_k, t_k))$  ( $x(s_j, t_k), y(s_j, t_k - \varepsilon_k)$ ),  $(x(s_j + \varepsilon_k, t_k), y(s_j + \varepsilon_k, t_k))$  ( $x(s_j, t_k), y(s_j + \varepsilon_k, t_k)$ ) на кривой  $\gamma$ . Рассмотрим  $\varepsilon'$ -окрестность ( $\|\tau'\| \leq \varepsilon' \leq l'/8$ ) точки  $0_j = (x'_j, y'_j) = (x'(s'_j), y'(s'_j)) \in \gamma$ . Через  $\tilde{\theta}'_j = (\tilde{x}'_j, \tilde{y}'_j)$  и  $\tilde{\theta}'_j = (\tilde{x}'_j, \tilde{y}'_j)$  обозначим ближайшие точки разбиения  $\tau'$ , принадлежащие соответственно дугам

$$(x'(s'_j), y'(s'_j)) (x'(s'_j - \varepsilon'), y'(s'_j - \varepsilon')), \quad x'(s'_j + \varepsilon'), \\ y'(s'_j + \varepsilon')) (x'(s'_j), y'(s'_j)).$$

Используя усложненную квадратурную формулу трапеций, а также неявную разностную схему для приближенного решения задачи (1), (2), (3) в момент времени  $t = t_k$ , аналогично работе [6] получим следующую систему уравнений:

$$V_{jk} = 0,5 a \sum_{l=0}^{n_k-1} \delta_{lk} \left[ (V_{jk} - V_{lk}) \frac{\partial}{\partial n} (\ln R^{-1})_{ijk} + (V_{jk} - V_{l+1k}) \times \right. \\ \left. \times \frac{\partial}{\partial n} (\ln R^{-1})_{l+1jk} \right] \cdot I_{lk} - 0,5 \bar{K} \sum_{l=0}^{n_k-1} \left[ \mu_{lk} \frac{\partial}{\partial n} \left( \frac{\partial}{\partial n_1} \ln R^{-1} \right)_{ijk} + \right. \\ \left. + \mu_{l+1k} \frac{\partial}{\partial n_1} \left( \frac{\partial}{\partial n_1} \ln R^{-1} \right)_{l+1jk} \right] \cdot I'_{lk} = \left( \bar{K} \frac{\partial \varphi}{\partial n} \right)_{jk}. \quad (4)$$

$$\mu_{jk} = -(2\pi)^{-1} (P_0 - \varphi_{jk} - m(c_2 - c_1)(4\pi c_1 c_2)^{-1} \sum_{l=0}^{n_k-1} (V_{lk} \ln R_{l+1k}^{-1} + \\ + V_{l+1k} \ln R_{l+1k}^{-1}) \cdot I_{lk} - 0,5 \sum_{l=0}^{n_k-1} \delta'_l \left[ (\mu_{lk} - \mu_{lk}) \frac{\partial}{\partial n_1} (\ln R^{-1})_{ijk} + \right. \\ \left. + (\mu_{lk} - \mu_{l+1k}) \frac{\partial}{\partial n_1} (\ln R^{-1})_{l+1jk} \right] \cdot I'_{lk}), \quad (5)$$

$$X_{jk} = X_{jk-1} - V_{jk} \cdot \dot{Y}_{jk} \cdot \Delta t_k, \quad Y_{jk} = Y_{jk-1} + V_{jk} \cdot \lambda'_{jk} \cdot \Delta t_k, \quad (6)$$

$$\delta_{lk} = \begin{cases} 0, & \text{если } (x_{lk}, y_{lk}) \in \tilde{\theta} \tilde{\theta}' \\ 1, & \text{если } (x_{lk}, y_{lk}) \in \tilde{\theta}' \tilde{\theta} \end{cases} \quad \delta'_l = \begin{cases} 0, & \text{если } (x'_l, y'_l) \in \tilde{\theta}' \tilde{\theta}' \\ 1, & \text{если } (x'_l, y'_l) \in \tilde{\theta} \tilde{\theta}' \end{cases}$$

$$I_{lk} = (x_{l+1} - x_l)^2 + (y_{l+1} - y_l)^2)^{1/2}, \quad I'_l = ((x'_{l+1} - x'_l)^2 + (y'_{l+1} - y'_l)^2)^{1/2}.$$

Отметим, что обоснование сходимости усложненной квадратурной формулы прямоугольников для интеграла  $v(t, s)$  дано в [5]. Для рассматриваемой в работе усложненной квадратурной формулы трапеций получается аналогичная оценка (доказательство сходимости и оценка погрешности квадратурной формулы являются предметом отдельной статьи).

Для решения полученной нелинейной системы при каждом  $t = t_k$  ( $k = 1, 2, \dots, q$ ) используется итерационный процесс.

Пусть  $X_{jk}, Y_{jk}, V_{jk}, \mu_{jk}$  ( $j = 0, 1, \dots, n_k$ ,  $r > 0$ ) —  $r$ -е приближение искомых функций. За начальное приближение будем принимать

значения этих функций на предыдущем временном слое. Определим  $(r+1)$ -е приближение  $X_{jk}, Y_{jk}$ , подставляя в правую часть уравнений системы (6)  $r$ -е приближение искомых функций. Далее методом последовательных приближений из системы (4), (5) определяем  $V_{jk}, \mu_{jk}$ , используя  $(r+1)$ -е приближение  $X_{jk}, Y_{jk}$ .

Значения  $V_{jk}, \mu_{jk}$ , для которых выполняется условие

$$\max_j |V_{jk}^{(pr)} - V_{jk}^{(pr-1)}| < \varepsilon_1, \quad \max_j |\mu_{jk}^{(pr)} - \mu_{jk}^{(pr-1)}| < \varepsilon_2,$$

назовем  $(r+1)$ -м приближением, где  $V_{jk}^{(pr)}$ ,  $\mu_{jk}^{(pr)}$  — соответственно значения  $V_{jk}, \mu_{jk}$  на  $r$ -й итерации, вычисленные при  $X_{jk}^{(r)}, Y_{jk}^{(r)}$ ;  $\varepsilon_1$  и  $\varepsilon_2$  — заданные достаточно малые числа.

Если будут выполнены также условия

$$\max_j |X_{jk}^{(r+1)} - X_{jk}^{(r)}| < \varepsilon_3, \quad \max_j |Y_{jk}^{(r+1)} - Y_{jk}^{(r)}| < \varepsilon_4,$$

где  $\varepsilon_3$  и  $\varepsilon_4$  — заданные достаточно малые числа, то за приближенное значение искомых функций в момент времени  $t_k$  принимается  $X_{jk}^{(r+1)}, Y_{jk}^{(r+1)}, V_{jk}^{(r+1)}, \mu_{jk}^{(r+1)}$ . В противном случае итерационный процесс продолжается.

Предложенная методика была использована и при решении задачи о движении границы раздела двух жидкостей в горизонтальном однородном пласте с непроницаемым контуром  $\gamma: \frac{\partial P}{\partial n_1}|_\gamma = 0$ . В этом случае получается следующая система уравнений:

$$v(t, s) - a \int_{\gamma(t)}^s (v(t, s) - v(t, \xi)) \frac{\partial}{\partial n} \ln R^{-1}(t, \xi, s) d\xi = \\ = \bar{K} \frac{\partial \varphi}{\partial n} + \bar{K} \frac{\partial}{\partial n} \int_{\gamma} \mu(t, \xi_1, s_1) \ln R^{-1}(t, \xi_1, s_1) d\xi_1, \quad (7)$$

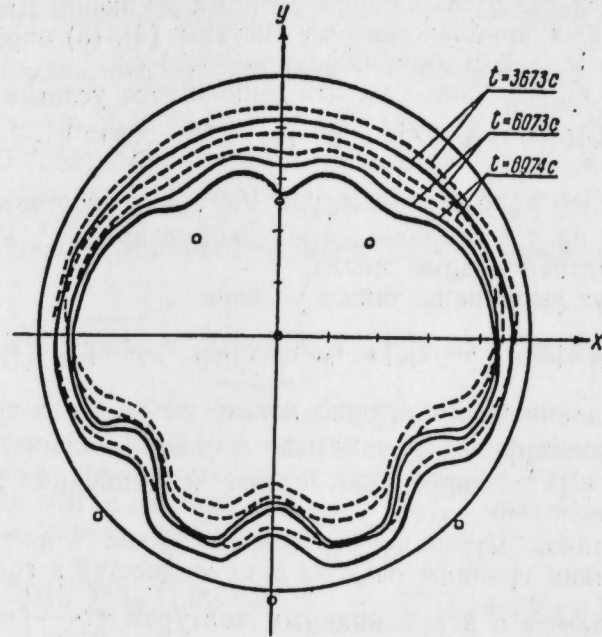
$$\mu(t, s_1) = (2\pi)^{-1} \left( \frac{\partial \varphi}{\partial n} + m(2\pi)^{-1} (C_1^{-1} - C_2^{-1}) \int_{\gamma(t)}^s v(t, s) \times \right. \\ \left. \times \frac{\partial}{\partial n} \ln R^{-1}(t, s) ds + \int_{\gamma} (\mu(t, s_1) - \mu(t, \xi_1)) \frac{\partial}{\partial n_1} \ln R^{-1}(t, \xi_1, s_1) d\xi_1 \right), \quad (8)$$

Подвижную границу определяем из уравнений (3).

По предложенной методике решены различные задачи движения границы раздела двух жидкостей в горизонтальном однородном ограниченном пласте при условиях на  $\gamma: P|_\gamma = P_0$  и  $\frac{\partial P}{\partial n_1}|_\gamma = 0$ .

В частности, решена задача движения контура нефтеносности, представляющего в начальный момент времени окружность радиусом 500 м с центром в начале координат. Контур  $\gamma$  — окружность радиусом 700 м с центром в начале координат. Три нагнетательные скважины были расположены по одну сторону оси  $ox$  с дебитами каждая 33,3 м<sup>3</sup>/сутки. Месторождение эксплуатировалось четырьмя эксплуатационными скважинами с равными и постоянными дебитами 25 м<sup>3</sup>/сутки. При данном режиме месторождение эксплуатировалось в течение 6971 суток. На рисунке дано положение контура нефтеносности в различные моменты времени. Сплошная линия соответствует условию  $|P|_\gamma = P_0$ , штрих-пунктиром —  $\frac{\partial P}{\partial n}$ .

Предложенный численный метод применим для широкого класса плоских задач со свободной границей.



Следует отметить, что этот алгоритм может быть использован и для решения задач вытеснения в неоднородных по проницаемости пластах.

#### Литература

1. Данилов В. Л. Изв. Каз. фил. АН СССР, серия физ.-матем. и техн. наук, вып. II, 1957.
2. Данилов В. Л. Докт. дисс. Казань, 1962.
3. Махмудзаде Р. А., Пирмамедов В. Г. Уч. зап. Мин-ва вузов Азерб. ССР, 1970, № 1.
4. Махмудзаде Р. А. Уч. зап. Мин-ва вузов Азерб. ССР, 1975, № 5.
5. Махмудзаде Р. А. Уч. зап. Мин-ва вузов Азерб. ССР, 1976, № 1.
6. Пирмамедов Ф. К. Деп. ВИНИТИ № 2329-76.
7. Тумашев Г. Г., Булыгин В. Я. и др. Тр. Всесоюз. конф. по матем. методам решения задач подземной нефтяной гидродинамики, Баку, 1967.

Институт кибернетики АН Азерб. ССР

Поступило 4. IV 1977

Ф. Г. Пирмамедов

#### МӘНДҮД МӘСАМӘЛИ ИКИ МАЈЕНИН СӘРӘДДИНИН ҺӘРӘКӘТИ НАГГЫНДАКЫ МӘСӘЛӘНИН ӘДӘДИ ҺӘЛЛ ҮСУЛУ

Мәгәләдә мәндиндүд һөризонтал бирчынын лајда икі мајенин айрылма сәрәддинин үсүл тәклиф олунур ә онун EhM-да реализә олунмасы үчүн практики төвсүйелер верилир.

F. K. Pirmamedov

#### NUMERICAL SOLUTION OF TWO FLUIDS INTERFACE MOTION PROBLEM IN BOUNDED IN POROUS MEDIA

The article examines a flat problem of the motion of two fluids interface in a bounded horizontal homogeneous stratum. Numerical solution of this problem is offered and for its realization on computers practical recommendations are given.

АЗЭРБАЙЖАН ССР ЕЛМЛӘР АКАДЕМИЯСЫНЫН МӘРУЗӘЛӘРИ

ДОКЛАДЫ АКАДЕМИИ НАУК АЗЕРБАЙДЖАНСКОЙ ССР

ТОМ XXXIV ЧИЛД

№ 5

1978

ФИЗИКА

Член-корр. АН Азерб.. ССР Н. А. ГУЛИЕВ, И. Г. ДЖАФАРОВ,  
Б. И. МЕХТИЕВ, Х. А. МУСТАФАЕВ

#### ЭФФЕКТЫ СКАЛЯРНОГО $\sigma$ -БОЗОНА ХИГГСА И ВЕКТОРНОГО $Z$ -БОЗОНА В ПРОЦЕССАХ ОБРАЗОВАНИЯ ПАР ЗАРЯЖЕННЫХ ЛЕПТОНОВ ПРИ СТОЛКНОВЕНИИ ПОЛЯРИЗОВАННЫХ ПРОТОН-АНТИПРОТОННЫХ ПУЧКОВ

В настоящей статье на основе общей ( $V, A$ )-структуры нейтральных слабых токов (НСТ) рассматривается процесс

$$\bar{p} + p \rightarrow l + \bar{l} \quad (1)$$

( $l$ —заряженный лептон) с учетом поляризаций участвующих частиц. В рамках модели Вайнберга—Салама (ВС) [1,2], которая, как известно [3,4 и др.], находится в хорошем согласии со многими экспериментами по изучению нейтральных слабых токов, и  $V - A$ -варианта взаимодействия НСТ произведены численные оценки эффектов НСТ. Отметим, что, поскольку константа взаимодействия  $\sigma$ -бозона с фермионом пропорциональна массе фермиона, процесс (1) с  $l = \mu$ , а особенно с  $l = \tau$  ( $\tau$ —тяжелый лептон<sup>1</sup>) является уникальным для изучения эффектов хиггсовского бозона.

Эффекты НСТ в процессе  $e^+ e^- \rightarrow \mu^- \mu^+$  на основе различных моделей исследовались в работах [6—9], а в процессе  $e^+ e^- \rightarrow p \bar{p}$  в работах [10—12]. В работах [13—18] рассмотрены сечения образования  $Z$ -резонанса в различных процессах на встречных электрон-позитронных пучках.

#### 1. Амплитуда процесса

Согласно модели ВС процесс (1), наряду с электромагнитным взаимодействием, обусловливается также слабыми взаимодействиями, переносящимися нейтральными векторным  $Z$ -бозоном и скалярным  $\sigma$ -бозоном. При этом амплитуду процесса можно записать в виде

$$M_{II} = \frac{e^2}{q^2} [\bar{v}(\kappa_1) \gamma_\alpha v(-\kappa_2)] [\bar{u}(-p_2)(F_1 \gamma_\alpha - F_2 \sigma_{\alpha\beta} q_\beta) u(p_1)] - \\ - \sqrt{2} GD [\bar{v}(\kappa_1) \gamma_\alpha (gv + g_L \gamma_5) v(-\kappa_2)] [\bar{u}(-p_2)(\Phi_1 \gamma_\alpha - \\ - \Phi_2 \sigma_{\alpha\beta} q_\beta + G_1 \gamma_\alpha \gamma_5) u(p_1)] + \frac{\sqrt{2} C m_\sigma m_1 \Phi}{m_\sigma^2 - q^2 + i m_\sigma \Gamma_\sigma} [\bar{v}(\kappa_1) v(-\kappa_2)] \times \\ \times [\bar{u}(-p_2) u(p_1)], \quad (2)$$

где  $p, p_\gamma, \kappa_1$  и  $\kappa_2$ —импульсы протона, антипротона, лептона и антилептона,  $q = p_1 + p_2 = \kappa_1 + \kappa_2$ ,  $m_\sigma$  и  $m_1$ —массы протона и лептона;  $m_Z$ —масса  $Z$ -бозона ( $m_Z > 74,6$  ГэВ),  $\Gamma_Z$ —его ширина,  $m_\sigma$ —масса  $\sigma$ -

<sup>1</sup> Имеются указания на существование заряженных тяжелых лептонов ( $\tau^\pm$ ). По данным, полученным на установке ДОРИС [5].

$$m_\tau = (1,90 \pm 0,10) \text{ ГэВ}, t_\tau \ll 10^{-11} \text{ сек.}$$

бозона ( $m_\sigma \geq 3,72$  ГэВ [19]),  $\Gamma_\sigma$  — его ширина,  $F_1$  и  $F_2$  — дираковский и паулиевский электромагнитные форм-факторы протона,  $\Phi$  — форм-фактор, учитывающий возможность включения сильных взаимодействий в вершине  $\sigma\bar{p}p$ ,

$$D = \begin{cases} (1 - q^2/m_\sigma^2 + i\Gamma_\sigma/m_\sigma)^{-1} & \text{в модели BC} \\ \pm 1^{2)} & \text{в локальном } V-A\text{-варианте.} \end{cases}$$

Таблица 1

Модель	$g_V$	$g_A$	$\Phi_1$	$\Phi_2$	$G_1$
BC	$-\frac{1}{2} + 2x$	$-\frac{1}{2}$	$\frac{f_1}{2} - 2xF_1$	$\frac{f_2}{2} - 2xF_2$	$\frac{g_1}{2}$
Локальный $V-A$ -вариант	$\frac{c}{\sqrt{2}}$	$\frac{c}{\sqrt{2}}$	$\frac{c'}{\sqrt{2}} f_1$	$\frac{c'}{\sqrt{2}} f_2$	$\frac{c'}{2} g_1$

В табл. 1 даны определения величин  $g_V$  и  $g_A$ , а также форм-факторов НСТ  $\Phi_1$ ,  $\Phi_2$  и  $G_1$  в случае модели BC и контактного  $V-A$ -взаимодействия.

В таблице  $x = \sin^2 \eta$ ,  $c$  и  $c'$  — параметры соответствующих теорий,  $f_1$ ,  $f_2$ , и  $g_1$  — слабые наклонные форм-факторы, которые определяют заряженную компоненту слабого изовекторного тока [20].

## 2. Эффекты $\sigma$ -бозона

Процесс (1) рассмотрим сначала в области образования  $\sigma$ -резонанса ( $s = q^2 \sim m_\sigma^2$ ). При этом, считая  $\sigma$ -бозон достаточно легким, пренебрегаем вкладом диаграммы обмена  $Z$ -бозоном. Тогда для дифференциального сечения процесса (1) при произвольных поляризациях начальных и продольных поляризациях конечных частиц имеем следующее выражение:

$$\left( \frac{\alpha^2}{16m_\sigma^2} \frac{\beta_1}{\beta_p} \right)^{-1} \frac{d\sigma}{d\Omega} = [d_1(1 - \beta_1^2) - (d_1 - d_2)(1 - \beta_1^2 \cos^2 \theta) + \\ + d_5](1 + \vec{s}_1 \cdot \vec{s}_2) + 2d_1(1 + \beta_1^2 \vec{\kappa}^\circ \cdot \vec{s}_1 \cdot \vec{\kappa}^\circ \cdot \vec{s}_2) + 2[d_1 - d_2 + (d_1 + \\ + d_2 - 2d_3)\beta_1^2 \cos^2 \theta - d_5] \vec{p}^\circ \vec{s}_1 \cdot \vec{p}^\circ \vec{s}_2 - 2(d_1 - d_3)\beta_1^2 \cos \theta (\vec{p}^\circ \vec{s}_1 \cdot \vec{\kappa}^\circ \vec{s}_2 + \\ + \vec{p}^\circ \vec{s}_2 \cdot \vec{\kappa}^\circ \vec{s}_1) - [d_1(1 + \beta_1^2) - (d_1 - d_2)(1 - 2 \cos^2 \theta + \beta_1^2 \cos^2 \theta) - \\ - d_5]h_1 h_2 + 2[(d_1 - d_3)\cos \theta \vec{p}^\circ (\vec{s}_1 + \vec{s}_2) + \\ + d_3 \vec{\kappa}^\circ (\vec{s}_1 + \vec{s}_2)(h_1 - h_2) - 2d_4 \sin \theta (\vec{p}^\circ \vec{s}_1 \cdot \vec{n} \vec{s}_2 + \\ + \vec{p}^\circ \vec{s}_2 \cdot \vec{n} \vec{s}_1)[1 - \sqrt{1 - \beta_1^2}(1 - h_1 + h_2)] + \cos \theta \vec{n}(\vec{s}_1 + \vec{s}_2)[\beta_1^2 - \\ - (2 - \beta_1^2)h_1 h_2]], \quad (3)$$

где

$$d_1 = |F_m|^2, \quad d_2 = 4 \frac{m_p^2}{m_\sigma^2} |F_e|^2, \quad d_3 = 2 \frac{m_p}{m_\sigma} \operatorname{Re} F_e F_m^*, \quad (4)$$

$$d_4 = 2 \frac{m_p}{m_\sigma} \operatorname{Im} F_e F_m^*, \quad d_5 = \left( \frac{\sqrt{2} G_F p m_1 \beta_p \beta_l}{4 \pi \alpha} \frac{m_\sigma}{\Gamma_\sigma} \right)^2 |\Phi|^2,$$

2) Отметим, что в локальном  $V-A$ -варианте вопрос о знаке константы слабого взаимодействия остается открытым. Наличие НСТ заряженных фермионов может позволить экспериментально решить этот вопрос.

В (3)  $\vec{s}_1$  — единичный вектор поляризации протона,  $\vec{s}_2$  — антипротона,  $h_1$  и  $h_2$  — спиральности лептона и антилептона.  $\vec{p}^\circ$  и  $\vec{\kappa}^\circ$  — единичные векторы импульсов соответственно протона и лептона,  $\vec{n} = [\vec{p}^\circ \vec{\kappa}^\circ]/\sin \theta$ ,  $\theta$  — угол вылета лептона по отношению к направлению импульса протона,  $\beta_p$  и  $\beta_l$  — скорости протона и лептона,  $F_e$  и  $F_m$  — электрический и магнитный форм-факторы протона.

Приведем теперь полное сечение процесса (1) в области образования  $\sigma$ -резонанса. Произведем суммирование по поляризациям конечных частиц и представим сечение в виде

$$\sigma = \sigma_{\text{эм}}(1 + R), \quad (5)$$

где в случае поперечно поляризованных начальных частиц

$$\sigma_{\text{эм}} = \frac{2\pi e^2}{3m_\sigma^2} \frac{\beta_1}{\beta_p} (3 - \beta_1^2) \left[ |F_m|^2 + 2 \frac{m_p^2}{m_\sigma^2} |F_e|^2 (1 - \lambda_1 \lambda_2) \right], \\ R = R_\perp = \frac{3d(1 - \lambda_1 \lambda_2)}{2(3 - \beta_1^2) \left[ |F_m|^2 + 2 \frac{m_p^2}{m_\sigma^2} |F_e|^2 (1 - \lambda_1 \lambda_2) \right]}, \quad (6)$$

а в случае продольно поляризованных начальных частиц

$$\sigma_{\text{эм}} = \frac{2\pi e^2}{3m_\sigma^2} \frac{\beta_1}{\beta_p} (3 - \beta_1^2) \left[ |F_m|^2 (1 - l_1 l_2) + 2 \frac{m_p^2}{m_\sigma^2} |F_e|^2 (1 + l_1 l_2) \right], \\ R = R_\parallel = \frac{3d_\parallel(1 + l_1 l_2)}{2(3 - \beta_1^2) \left[ |F_m|^2 (1 - l_1 l_2) + 2 \frac{m_p^2}{m_\sigma^2} |F_e|^2 (1 + l_1 l_2) \right]}. \quad (7)$$

В выражениях (6) и (7)  $\lambda_1$  — модуль вектора поперечной поляризации протона,  $l_1$  — его продольная поляризация,  $\lambda_2$  и  $l_2$  — соответствующие величины для антипротона.

Таблица 2

Процессы	$m_\sigma, \text{ГэВ}$						
	4,25	5	6	7	8	9	10
$\bar{p}p \rightarrow \mu^- \mu^+$	$r_\perp$	99	15	5,3	2,9	2,0	1,4
	$r_\parallel$	77	12	4,3	2,5	1,7	1,3
$\bar{p}p \rightarrow \tau^- \tau^+$	$r_\perp$	7400	1600	830	570	430	340
	$r_\parallel$	4100	1300	690	480	370	300
$\Gamma_\sigma, \text{ГэВ}$	1,2	3,5	6,6	9,7	12,6	15,4	18,1

В табл. 2 даны численные значения величин  $r_\perp = (|F|^2/|\Phi|^2) R_\perp$  и  $r_\parallel = (|F|^2/|\Phi|^2) R_\parallel$  для процессов  $\bar{p}p \rightarrow \mu^- \mu^+$  и  $\bar{p}p \rightarrow \tau^- \tau^+$  при различных значениях массы  $\sigma$ -бозона. При этом использовано предположение об одинаковой зависимости форм-факторов от  $q^2$  [12] и взяты  $\lambda_1 = \lambda_2 = 0,7$  и  $l_1 = -l_2 = -0,7$ . В эту же таблицу внесены значения полной ширины лептонных каналов распада  $\sigma$ -бозона ( $\sigma \rightarrow e^- e^+$ ,  $\mu^- \mu^+$  и  $\tau^- \tau^+$ ), использованные при вычислении  $r_\perp$  и  $r_\parallel$ . Учет адрон-

ных каналов распада  $\sigma$ -бозона уменьшит приведенные в таблице значения вклада (может быть, в несколько раз). Несмотря на это, эффект  $\sigma$ -резонанса в рассматриваемых процессах (особенно в  $p\bar{p} \rightarrow \tau^-\tau^+$ ), по-видимому, является заметным.

### 3. Эффекты Z-бозона

Теперь процесс (1) рассмотрим вне области образования  $\sigma$ -резонанса [12]. При этом можно пренебречь вкладом третьего члена в выражении (2). Дифференциальное сечение процесса (1) при произвольной поляризации начальных и продольной поляризации конечных частиц имеет вид

$$\frac{d\sigma(\vec{s}_1, \vec{s}_2, h_1, h_2)}{d\Omega} = \frac{1}{4} \frac{d\sigma_0}{d\Omega} \left\{ 1 + t_1 + (t_2 \vec{p}^\circ + t_3 \vec{\kappa}^\circ - t_4 \sin \theta \vec{n}) (\vec{s}_1 + \vec{s}_2) + 2t_5 \vec{p}^\circ \vec{s}_1 \cdot \vec{p}^\circ \vec{s}_2 - t_6 (\vec{p}^\circ \vec{s}_1 \cdot \vec{\kappa}^\circ \vec{s}_2 + \vec{p}^\circ \vec{s}_2 \cdot \vec{\kappa}^\circ \vec{s}_1) + 2t_7 \vec{\kappa}^\circ \vec{s}_1 \cdot \vec{s}^\circ \vec{s}_2 - t_8 \sin \theta (\vec{p}^\circ \vec{s}_1 \cdot \vec{n} \vec{s}_2 + \vec{p}^\circ \vec{s}_2 \cdot \vec{n} \vec{s}_1) - t_9 \sin \theta (\vec{\kappa}^\circ \vec{s}_1 \cdot \vec{n} \vec{s}_2 + \vec{\kappa}^\circ \vec{s}_2 \cdot \vec{n} \vec{s}_1) - t_{10} \vec{s}_1 \vec{s}_2 \right\}, \quad (8)$$

где

$$\frac{d\sigma_0}{d\Omega} = \frac{\alpha^2}{4 s \beta_p} t'_0 - \quad (9)$$

сечение процесса (1), усредненное и просуммированное по поляризациям частиц. Величины  $t_i$  определяются следующим образом:

$$t'_i = t'_1, t'_0 \quad (i = 1 - 10),$$

$$\begin{aligned} t'_1 &= T_1(1 + \cos^2 \theta) + T_2 \sin^2 \theta - 2T_3 \cos \theta, \\ t'_2 &= (h_1 - h_2)[2T_4 \cos \theta + T_5(1 + \cos^2 \theta) + T_6 \sin^2 \theta] - h_1 h_2 [T_1(1 + \cos^2 \theta) + T_2 \sin^2 \theta - 2T_3 \cos \theta], \\ t'_3 &= T_4(1 + \cos^2 \theta) + (2T_5 - T_{14}) \cos \theta - T_{12} \cos^2 \theta + (h_1 - h_2)[(2T_1 - T_{10}) \cos \theta - T_3(1 + \cos^2 \theta) + T_{13} \cos^2 \theta], \\ t'_4 &= T_{12} \cos \theta + T_{14} + (h_1 - h_2)(T_{10} - T_{13} \cos \theta), \\ t'_5 &= T_{15} \cos \theta - T_{17} + (h_1 - h_2)(T_{16} - T_{18} \cos \theta), \\ t'_6 &= T_1(1 + \cos^2 \theta) - T_2 \sin^2 \theta - (T_3 - T_{13}) \cos \theta - T_{10} \cos^2 \theta + (h_1 - h_2) \left[ T_4 \left(1 - \frac{m_p}{E}\right) \cos \theta + T_5(1 + \cos^2 \theta) - T_6 \sin^2 \theta - T_{14} \cos^2 \theta \right] \\ t'_7 &= (2T_1 - T_{10}) \cos \theta + T_{18} - (h_1 - h_2) \left[ \frac{m_p}{E} T_4 - 2(T_5 - T_{11}) \cos \theta \right], \\ t'_8 &= T_1 + (h_1 - h_2) T_5, \\ t'_9 &= (T_{16} - T_{19}) \cos \theta - T_{18} + (h_1 - h_2) \left[ T_{15} - T_{17} \cos \theta + \frac{1}{2} T_9 \left(1 + \frac{m_p}{E}\right) \cos \theta \right], \\ t'_{10} &= [T_1 - T_2 + (h_1 - h_2)(T_5 - T_6)] \sin^2 \theta, \end{aligned} \quad (10)$$

где

$$T_1 = |F_m|^2 - \epsilon g_V \operatorname{Re} F_m \Phi_m^*, \quad T_2 = \frac{m_p^2}{E^2} (|F_e|^2 - \epsilon g_V \operatorname{Re} F_e \Phi_e^*),$$

$$\begin{aligned} T_3 &= \epsilon \beta_p g_A \operatorname{Re} F_m G_1^*, & T_4 &= \epsilon \beta_p g_V \operatorname{Re} F_m G_1^*, \\ T_5 &= \epsilon g_A \operatorname{Re} F_m \Phi_m^*, & T_6 &= \frac{m_p^2}{E^2} \epsilon g_A \operatorname{Re} F_e \Phi_e^*, \\ T_7 &= \frac{m_p^2}{2E^2} \epsilon g_A \operatorname{Im} F_e G_1^*, & T_8 &= \epsilon g_A \operatorname{Im} \left( F_m \Phi_m^* - \frac{m_p^2}{E^2} F_e \Phi_e^* \right), \\ T_9 &= \epsilon \beta_p g_A \operatorname{Im} F_m G_1^*, & T_{10} &= \frac{m_p}{E} \operatorname{Re} [2F_e F_m^* - \epsilon g_V (F_e \Phi_m^* + F_m \Phi_e^*)], \\ T_{11} &= \frac{m_p}{E} \epsilon g_A \operatorname{Re} F_m \Phi_e^*, & T_{12} &= \frac{m_p}{E} \epsilon \beta_p g_V \operatorname{Re} F_e G_1^*, \\ T_{13} &= \frac{m_p}{E} \epsilon \beta_p g_A \operatorname{Re} F_e G_1^*, & T_{14} &= \frac{m_p}{E} \epsilon g_A \operatorname{Re} (F_e \Phi_m^* + F_m \Phi_e^*), \\ T_{15} &= \frac{m_p}{E} \operatorname{Im} [2F_e F_m^* - \epsilon g_V (F_e \Phi_m^* - F_m \Phi_e^*)], & T_{16} &= \frac{m_p}{E} \epsilon \beta_p g_V \operatorname{Im} F_e G_1^*, \\ T_{17} &= \frac{m_p}{E} \epsilon \beta_p g_A \operatorname{Im} F_e G_1^*, & T_{18} &= \frac{m_p}{E} \epsilon g_A \operatorname{Im} (-F_e \Phi_m^* + F_m \Phi_e^*), \\ L_{19} &= \epsilon \beta_p g_V F_m I_m G_1^*, & \epsilon &= \frac{G_S}{\sqrt{2} \pi \alpha (1 - s/m_z^2)}, \\ \Phi_e &= \Phi_1 + (s/2 m_p) \Phi_2, & \Phi_m &= \Phi_1 + 2 m_p \Phi_2. \end{aligned} \quad (11)$$

### За. Случай поперечной поляризации начальных частиц

Если в (8) перейти к поперечным поляризациям начальных частиц, то для дифференциального сечения процесса (1) имеем следующее выражение:

$$\frac{d\sigma(\lambda_1, \lambda_2, h_1, h_2)}{d\Omega} = \frac{1}{4} \frac{d\sigma_0}{d\Omega} \left\{ 1 + t_1 + (\lambda_1 - \lambda_2) \sin \theta (t_3 \cos \varphi + t_4 \sin \varphi) + \lambda_1 \lambda_2 [t_{10} - (2t_7 \cos^2 \varphi + t_9 \sin 2\varphi)] \right\}, \quad (12)$$

Где  $\varphi$  – азимутальный угол вылета лептона.

Рассмотрим различные возможности выделения вклада НСТ в выражении (12).

а. Асимметрия в угловом распределении лептонов

$$\begin{aligned} A &= -\cos \theta \{2(T_3 - h_1 T_4) - (\lambda_1 - \lambda_2) \sin \theta [(T_{12} - h_1 T_{13}) \cos \varphi + (T_{15} - h_1 T_{18}) \sin \varphi]\} \{(T_1 + h_1 T_5)(1 + \cos^2 \theta - \lambda_1 \lambda_2 \sin^2 \theta \cos 2\varphi) + (1 - \lambda_1 \lambda_2)(T_2 + h_1 T_6) \sin^2 \theta + (\lambda_1 - \lambda_2) \sin \theta [(T_{14} + h_1 T_{10}) \cos \varphi - (T_{17} - h_1 T_{16}) \sin \varphi] - \lambda_1 \lambda_2 (T_{19} - h_1 T_9) \sin^2 \theta \sin 2\varphi\}^{-1} \end{aligned} \quad (13)$$

обусловлена вкладом НСТ. Максимальное значение величины (13) приходится на угол  $\theta = 0^\circ$  и равно (здесь и в дальнейшем взято

$$\sqrt{s} = 30 \text{ ГэВ}, \sin^2 \eta = 0.3, \lambda_1 = \lambda_2 = 0.7, \varphi = 0$$

$A = 4.2\%$  для неполяризованных лептонов,  $A = 5.1\%$  для лептонов с  $h_1 = -1$  и  $A = 5.3\%$  с  $h_1 = 1$ . В  $V-A$ -варианте с  $L = 1$  имеем  $A = -0.9\%$  для неполяризованных лептонов,  $A = -1.9\%$  для лептонов с  $h_1 = -1$  и  $A = 0\%$  для лептонов с  $h_1 = 1$ , а в случае  $L = -1$  имеем соответственно  $A = 0.8\%$ ,  $A = 1.6\%$  и  $A = 0\%$  (для параметров  $V-A$ -варианта здесь и в дальнейшем взято  $c = 0.3$  и  $c' = 0.4$  [21]).

### б. Степень продольной поляризации лептонов

$$P = [2T_4 \cos \theta + T_5(1 + \cos^2 \theta) + T_6 \sin^2 \theta + (\lambda_1 - \lambda_2) \sin \theta [(T_{10} - T_{13} \cos \theta) \cos \varphi + (T_{16} - T_{18} \cos \theta) \sin \varphi] - \lambda_1 \lambda_2 \sin^2 \theta (T_5 \cos 2\varphi + T_6 - T_9 \sin 2\varphi)] / [T_1(1 + \cos^2 \theta) + T_2 \sin^2 \theta - 2T_3 \cos \theta + (\lambda_1 - \lambda_2) \sin \theta [(T_{12} \cos \theta + T_{14}) \cos \varphi + (T_{15} \cos \theta - T_{17}) \sin \varphi] - \lambda_1 \lambda_2 \sin^2 \theta (T_1 \cos 2\varphi + T_2 + T_{19} \sin 2\varphi)]^{-1}. \quad (14)$$

Как видно, основной вклад в степень продольной поляризации вносит электромагнитное взаимодействие. При  $\lambda_1 = \lambda_2$  максимальное значение степени продольной поляризации лептонов равно:  $P = -8,2\%$  ( $\theta = 100^\circ$ ) в модели ВС,  $P = -4\%$  в  $V-A$ -варианте с  $D = -1$  и  $P = 4,3\%$  — с  $D = 1$  ( $\theta = 0^\circ$ ). При  $\theta = \pi/2$  значение величины  $P$  очень мало.

### в. Эффект поляризации протонного пучка

$$N = -\lambda_1 \sin \theta [(T_{12} \cos \theta + T_{14}) \cos \varphi + (T_{15} \cos \theta - T_{17}) \sin \varphi] / [2[T_1(1 + \cos^2 \theta) + T_2 \sin^2 \theta - 2T_3 \cos \theta] + \lambda_1 \sin \theta [T_{12} \cos \theta + T_{14}] \cos \varphi + (T_{15} \cos \theta - T_{17}) \sin \varphi]]^{-1}. \quad (15)$$

В модели ВС максимальное значение  $N = 1,7\%$  ( $\theta = 169^\circ$ ),  $N = \pm 1\%$  ( $\theta = 8^\circ$ ) в  $V-A$ -варианте.

г.  $P$ -нечетная асимметрия, обусловленная поперечной поляризацией начальных частиц:

$$A^s = (\lambda_1 - \lambda_2) \sin \theta [(T_{12} \cos \theta + T_{14}) \cos \varphi + (T_{15} \cos \theta - T_{17}) \sin \varphi] / [T_1(1 + \cos^2 \theta) + T_2 \sin^2 \theta - 2T_3 \cos \theta - \lambda_1 \lambda_2 \sin^2 \theta (T_1 \cos 2\varphi + T_2 + T_{19} \sin 2\varphi)]^{-1}. \quad (16)$$

Видно, что асимметрия (16), обусловленная поляризованностью начальных частиц, исчезает в случае аннигиляции протонов и антипротонов с  $\lambda_1 = \lambda_2$ .

### 3б. Случай продольной поляризации начальных частиц

Дифференциальное сечение процесса (1) в случае продольных поляризаций начальных и конечных частиц имеет следующий вид. (сечение процесса (1) с точностью до двойных спиновых корреляций рассмотрено в [12]):

$$\frac{d\sigma(l_1, l_2, h_1, h_2)}{d\Omega} = \frac{1}{4} \frac{d\sigma_0}{d\Omega} [1 + t_1 + (l_1 - l_2)(t_2 + t_3 \cos \theta) - l_1 l_2 (2t_5 - 2t_6 \cos \theta + 2t_7 \cos^2 \theta - t_{10})]. \quad (17)$$

Теперь рассмотрим возможности выделения эффектов НСТ в выражении (17):

а. Асимметрия в угловом распределении продольно поляризованных лептонов

$$A = -2 \cos \theta [(1 - l_1 l_2)(T_3 - h_1 T_4) - (l_1 - l_2)(T_5 + h_1 T_1)] / [(1 - l_1 l_2)(T_1 + h_1 T_5)(1 + \cos \theta) + (1 + l_1 l_2)(T_2 + h_1 T_6) \sin^2 \theta + (l_1 - l_2)(T_4 - h_1 T_3)(1 + \cos \theta) - 2l_1 l_2 h_1 (2T_{11} - T_{14}) \cos^2 \theta]^{-1}. \quad (18)$$

Для выделения эффектов, обусловленных наличием НСТ, рассмотрим, во-первых, аннигиляцию протонов и антипротонов с поляризациями  $l_1 = l_2$ , во-вторых, асимметрию в угловом распределении неполяризованных лептонов. В первом случае максимальное значение асимметрии в модели ВС равно:  $A = 4,2\%$  для неполяризованных

лептонов,  $A = 4,9\%$  для лептонов с  $h_1 = -1$ ,  $A = 3,9\%$  для лептонов с  $h_1 = 1$  (в расчетах здесь и ниже использовано  $l_2 = 0,7$ ). Во втором случае, когда поляризация лептонов не регистрируется, максимальное значение асимметрии равно (при  $l_2 = -l_1$ ):  $A = 8,6\%$  для модели ВС,  $A = 3,8\%$  в  $V-A$ -варианте с  $D = -1$  и  $A = -4,1\%$  в  $V-A$ -варианте с  $D = 1$ . В обоих случаях максимальное значение асимметрии приходится на угол  $\theta = 0^\circ$ .

### б. Степень продольной поляризации лептонов

$$P = [(1 - l_1 l_2)[2T_4 \cos \theta + T_5(1 + \cos^2 \theta)] + (1 + l_1 l_2)T_6 \sin^2 \theta + (l_1 - l_2)[2T_1 \cos \theta - T_3(1 + \cos^2 \theta)] - 2l_1 l_2 (2T_{11} - T_{14}) \cos^2 \theta] / [(1 - l_1 l_2)[T_1(1 + \cos^2 \theta) - 2T_3 \cos \theta] + (1 + l_1 l_2)T_2 \sin^2 \theta + (l_1 - l_2)[T_4(1 + \cos^2 \theta) + 2T_5 \cos \theta]]^{-1}. \quad (19)$$

Вклад слабого взаимодействия в рассматриваемую величину можно выделить рассмотрением пучков с  $l_2 = l_1$ . При этом максимальное значение степени поляризации (19) равно:  $P = 30,4\%$  в модели ВС ( $\theta = 0^\circ$ ),  $P = 11,9\%$  в  $V-A$ -варианте с  $D = -1$  и  $P = -12,5\%$  с  $D = 1$  ( $\theta = 180^\circ$ ).

Степень продольной поляризации лептонов, вылетающих под углом  $\theta = \pi/2$ , также обуславливается наличием НСТ и при  $l_2 = -l_1$  принимает значение:  $P = -8,2\%$  в модели ВС,  $P = -3,9\%$  и  $P = -4,2\%$  в  $V-A$ -варианте с  $D = -1$  и  $D = 1$ .

### в. Эффект поляризации протонного пучка

$$N = -l_1(t_2 + t_3 \cos \theta)[2 + 2t_1 + l_1(t_2 + t_3 \cos \theta)]^{-1}. \quad (20)$$

Максимальное значение эффекта поляризации протонного пучка не превышает 2%.

г. Спиновая асимметрия, обусловленная поляризованностью начальных пучков

$$A^s = (l_1 - l_2)[T_4(1 + \cos^2 \theta) + 2T_5 \cos \theta] / [1 - l_1 l_2][T_1(1 + \cos^2 \theta) - 2T_3 \cos \theta] + (1 + l_1 l_2)T_2 \sin^2 \theta]^{-1} \quad (21)$$

Максимальное значение спиновой асимметрии в модели ВС равно  $A^s = -5,3\%$  ( $\theta = 180^\circ$ ), в  $V-A$ -варианте с  $D = -1$   $A^s = 3,7\%$  и с  $D = 1$   $A^s = -4,1\%$  ( $\theta = 0^\circ$ ).

Проведенный анализ показывает, что наличие НСТ приводит к заметным поляризационным эффектам в процессе (1). Изучение этих эффектов на эксперименте дало бы ценную информацию о структуре НСТ.

### Литература

1. Weinberg S. Phys. Rev. Lett., 19, 1967, 1264; Phys. Rev., D 5, 1972, 1:12
2. Salam A. Proc. 8-th Nobel Symp. Stockholm, 1968, p. 376. 3. Cershtein S. S. Proc. XVIII Intern. Conf. on High Energy Phys., v. II. Tbilisi, 1974, p. B 125. 4. Munsset P. CERN EP, PHYS, 1977, 77—4. 5. Meyer H. Talk presented at the Intern. Conf. on Neutrino Physics and Neutrino Astrophysics, USSR, ELBkUS, 1977. 6. Хриполович И. Б. ЯФ, 17, 1973, 576. 7. Mikaelian K. O. Phys. Lett., B 55, 1975, 219. 8. Sung V. K. Phys. Rev., D 12, 1975, 926. 9. Гулиев Н. А., Джагаров И. Г., Халилзаде Ф. Т., Чултанов С. Ф. Препринт № 51 ИФАН Азерб. ССР. Баку, 1977. 10. Видуну К. Phys. Lett., B 45, 1973, 30. 11. Христова Е. Х. ЯФ, 25, 1977, 154. 12. Гулиев Н. А., Джагаров И. Г., Мехтиев Б. И., Мустафаев Х. А. Препринт № 56 ИФАН Азерб. ССР. Баку, 1977. 13. Чушков О. П., Фламбаум В. В., Хриполович И. Б. ЯФ, 2, 1974, 1016. 14. Чушков О. П., Фламбаум В. В., Хриполович И. Б. Препринт ЯФ 122-7.. Баку, 1977. 15. Джагаров И. Г., Мустафаев Х. А. Изв. АН Азерб. ССР, серия физ.-техн. и естеств. наук, 1976, № 1, 76. 16. Джагаров И. Г. В сб.: Некоторые вопросы экспериментальной и теоретической физики. Баку „Элм”, 1976. 17. Джагаров И. Г., Мустафаев Х. А. Изв. АН Азерб. ССР, серия физ.-техн. и матем. наук, 1976,

- № 4, 61, 18. Джадаров И. Г., Мустафаев Х. А., Султанов С. Ф. Изд. АН СССР, серия физ., 41, 1977. 170. 19. Weinberg S. Phys. Rev. Lett., 36, 1976, 294.  
 20. Окуни Л. Б. Слабое взаимодействие элементарных частиц. М., Физматгиз, 1963.  
 21. Джадаров И. Г., Султанов С. Ф. ДАН Азерб. ССР, XXXIII, 1977, № 10, 15.

Институт физики АН Азерб. ССР

Н. А. Гулиев, И. Г. Чәфәров, Б. И. Меһдиев, Х. А. Мустафаев

**ПОЛЯРИЗАЦИЯ ПРОТОНА В ЭЛЕКТРОН-АВАРИЙНОМ РЕАКТИВНОМ ПРОЦЕССЕ**  
**ТОГГУШМАСЫ ЗАМАНЫ ЙҮКЛУ ЛЕПТОН ЧҮТЛӘРИНИН ЯРАНМАСЫ**  
**ПРОСЕССИНДӘ НЕЈРАЛ СКАЛЛАР ҺИГГС ө-БОЗОНУ ВӘ НЕЈТРАЛ**  
**ВИКТОРИ Z-БОЗОНУН ЕФФЕКТЛӘРИ**

Мәгаләдә бүтүн зәррәчиләринең полјаризасијасы нәзәрә алынмагла, нејтран зәиф чәрәјанларының үмуми ( $V, A$ )—гурулушу баһымындан  $\bar{p}p \rightarrow l\bar{l}$  ( $l$ —йүклю лептон) процесси тәдгиге едилмишdir. Вайнберг—Салам модели вә нејтран зәиф чәрәјанларының гарышының тә'сирләринин  $V-A$ -вариантты чәрчивәсииндә әдәди несабламалар апартылышы дыры. Һәмми несабламалар көстәрмешидир ки, нејтран зәиф чәрәјанлар әлдә едилә билән енержиләрдә һисс олунаң полјаризасија еффектләриң кәтирир.

Мәгаләдә һәмчинин нејтран скаттар һиггс ө-бозонун еффектләри дә музакирә едилмиш вә көстәрмешидир ки,  $\bar{p}p \rightarrow \mu^-\mu^+$  вә  $\bar{p}p \rightarrow \tau^-\tau^+$  процессләриндә ө-резонансының эмәләкәмә кәсикләрini онларын электромагнит кәсикләриндән кишајет гәдәр бөյүкдүр.

N. A. Guliyev, I. G. Jafarov, B. I. Mehtiyev, Kh. A. Mustafayev

**EFFECTS OF NEUTRAL SCALAR HIGGS ө-BOSON AND NEUTRAL VECTOR Z-BOSON IN THE PROCESSES OF CHARGED LEPTON PAIR PRODUCTION ON POLARIZED PROTON-ANTIPROTON COLLISION**

On the basis of the general ( $V, A$ ) structure of neutral weak currents the process  $\bar{p}p \rightarrow l\bar{l}$  ( $l$ -charged lepton) has been considered, the polarizations of the participating particles taken into account. Numerical estimates in the framework of the Weinberg-Salam model and  $V-A$ -interaction of neutral weak currents have been obtained. These estimates show that the existence of neutral weak currents lead to the appreciable polarization effects.

In this paper the effects of neutral scalar Higgs ө-boson have been discussed also. It is shown that the cross sections of the ө-resonance production. In the processes  $\bar{p}p \rightarrow \mu^-\mu^+$  and  $\bar{p}p \rightarrow \tau^-\tau^+$  material exceed the corresponding electromagnetic cross sections.

АЗЭРБАЙЖАН ССР ЕЛМЛӘР АКАДЕМИЯСЫНЫН МӘРҮЗӘЛӘРИ

**ДОКЛАДЫ АКАДЕМИИ НАУК АЗЕРБАЙДЖАНСКОЙ ССР**

ТОМ XXXIV ЧИЛД

№ 5

1978

УДК 533.221

ФИЗИКА

З. З. МАХМУДОВ, К. М. СУЛТАНОВ

**К НЕЛИНЕЙНОЙ ТЕОРИИ УСИЛЕНИЯ СПИНОВЫХ ВОЛН  
 ВЫСОКОЧАСТОТНЫМ ЭЛЕКТРИЧЕСКИМ ПОЛЕМ В  
 МАГНИТНОМ ПОЛУПРОВОДНИКЕ**

(Представлено академиком АН Азербайджанской ССР Г. Б. Абдуллаевым)

Линейная теория параметрического усиления спиновых волн в магнитных полупроводниках однородным высокочастотным электрическим полем рассматривалась в работах [1,2]. Настоящая статья посвящена нахождению максимальной амплитуды, до которой могут быть усилены спиновые волны, и выяснению устойчивости этой амплитуды. Причиной ограничения роста амплитуды является нелинейность уравнения, описывающего движение магнитного момента, а также уравнений для носителей тока в полупроводнике.

Пусть постоянная магнитная индукция  $\vec{B}_0$  направлена вдоль „легкой“ оси ферромагнитного полупроводника (ось  $z$ ), а поперечное однородное высокочастотное электрическое поле имеет компоненты  $E_x = E_0 \cos \omega_0 t$ ,  $E_y = -E_0 \sin \omega_0 t$ . В этом поле носители тока в полупроводнике будут двигаться со скоростью  $\vec{u}$ :

$$u_{\pm} = u_x \pm i u_y = \frac{e E_0}{m} \cdot \frac{e^{\mp i \omega_0 t}}{v_e \mp i (\omega_0 - \omega_B)} \quad (1)$$

где  $\omega_B = \frac{e B_0}{mc}$ ,  $v_e$ —частота столкновений носителей.

Если в полупроводнике вдоль оси  $z$  распространяется волна, то для добавок к равновесным значениям магнитного момента  $\vec{m}$ , скорости  $\vec{v}$  и плотности носителей тока  $n$ , электрическому и магнитному полям  $\vec{e}$  и  $\vec{h}$ , а также индукции  $\vec{b}$  получим систему уравнений

$$\begin{aligned} \frac{\partial}{\partial t} m_+ + i \left[ \Omega_1 - \vec{v} \cdot \left( \vec{e} + \frac{\vec{B}_0}{M_0} \right) \right] m_+ - i (g M_0 - i \lambda) b_+ &= \\ = -i \frac{g}{2 M_0} m_+ m_- b_+ + i \frac{g \beta}{2 M_0} m_+ m_- m_+, & \\ \left( \frac{\partial}{\partial t} + v_e + i \omega_B \right) v_+ - \frac{e}{m} e_+ &= -v_z \frac{\partial}{\partial z} v_+ + i \frac{e}{mc} v_z b_+, \\ \left( \frac{\partial}{\partial t} + v_e \right) v_z - \frac{e}{m} e_z + i \frac{e}{2 mc} (b_+ u_- - b_- u_+) &= \\ = -v_z \frac{\partial}{\partial z} v_z - i \frac{e}{2 mc} (b_+ v_- - b_- v_+), & \\ \frac{\partial}{\partial t} n + n_0 \frac{\partial}{\partial z} v_z &= -\frac{\partial}{\partial z} n v, \end{aligned} \quad (2)$$

$$\begin{aligned} -\frac{1}{c} \frac{\partial}{\partial t} b_{\pm} &= \pm i \frac{\partial}{\partial z} e_{\pm}, \\ \frac{1}{c} \frac{\partial}{\partial t} e_{\pm} + \frac{4\pi e}{c} (n_0 v_{\pm} + n u_{\pm} + n v_{\pm}) &= \pm i \frac{\partial}{\partial z} h_{\pm}, \\ \frac{\partial}{\partial z} e_z &= 4\pi e n, \\ \Omega_1 &= g M_0 \left( \beta + \frac{B_0}{M_0} \right). \end{aligned}$$

Здесь  $n_0$  и  $M_0$ —равновесные значения плотности носителей тока и магнитного момента,  $g$ —гиромагнитное отношение,  $\beta$  и  $\lambda$ —константы, характеризующие анизотропию и затухание в ферромагнитном полупроводнике.

Подействуя оператором  $\left(\frac{\partial}{\partial t} + v_e\right)$  на уравнение непрерывности, а оператором  $\left(\frac{\partial}{\partial t} + v_e + i\omega_B\right) \frac{\partial}{\partial z}$  на второе в системе (2) уравнение Максвелла, можно получить

$$\begin{aligned} \frac{\partial^2 n}{\partial t^2} + v_e \frac{\partial n}{\partial t} + \omega_p^2 n - i \frac{en_0}{2mc} \frac{\partial}{\partial z} (b_+ u_- - b_- u_+) &= \\ = - \left( \frac{\partial}{\partial t} + v_e \right) \frac{\partial}{\partial z} n v_z + n_0 \frac{\partial}{\partial z} \left( v_z \frac{\partial}{\partial z} v_z \right) + & \\ + i \frac{en_0}{2mc} \frac{\partial}{\partial z} (b_+ v_- - b_- v_+), & \\ i \left( \frac{\partial}{\partial t} + v_e + i\omega_B \right) \left( \frac{1}{c^2} \frac{\partial^2 b_+}{\partial t^2} - \frac{\partial^2 h_+}{\partial z^2} \right) + i \frac{\omega_p^2}{c^2} \frac{\partial b_+}{\partial t} + & \\ + \frac{4\pi e}{c} \left( \frac{\partial}{\partial t} + v_e + i\omega_B \right) \frac{\partial}{\partial z} n u_+ = \frac{4\pi en_0}{c} \frac{\partial}{\partial z} \left( v_z \frac{\partial}{\partial z} v_z \right) - & \\ - i \frac{\omega_p^2}{c^2} \frac{\partial}{\partial z} v_z b_+ - \frac{4\pi e}{c} \left( \frac{\partial}{\partial t} + v_e + i\omega_B \right) \frac{\partial}{\partial z} n v_+, \quad \omega_p = \frac{4\pi e^2 n_0}{m}. & \end{aligned} \quad (3)$$

Как было показано в [1], если выполняется условие резонанса  $\omega_0 = \omega_p + \Omega$ , где  $\Omega = \Omega_1 - 4\pi g M_0$ , то происходит усиление волны.

Решим нелинейную систему методом последовательных приближений. В первом приближении будем считать

$$\begin{aligned} b_+ &= b(t) \exp i[\kappa z - \omega t - \varphi_1(t)] = b(t) e^{i\psi_1}, \\ n &= a(t) \cos [\kappa z - (\omega - \omega_0)t - \varphi_2(t)] = a(t) \cos \varphi_2. \end{aligned} \quad (4)$$

Здесь  $a(t)$ ,  $b(t)$ ,  $\varphi_1(t)$ ,  $\varphi_2(t)$ —медленно меняющиеся функции времени  $\omega$  и  $\omega - \omega_0$  близки соответственно к  $\Omega$  и  $\omega_p$ . Подставив (4) в уравнение Ландау и Лифшица и линеаризованную систему (3) и считая, что  $\frac{\omega_p^2}{c^2 \kappa^2} \ll 1$ ,  $v_e \frac{\omega_p^2}{c^2 \kappa^2} \ll \omega - \omega_0 \ll \frac{\Omega}{g M_0}$ , получим

$$\begin{aligned} \frac{\partial a}{\partial t} &= -\frac{v_e}{2} a + \frac{eE_0}{mc\omega_p} \cdot \frac{en_0\kappa}{2m(\omega_0 - \omega_B)} b \cos \varphi_2, \\ a \frac{\partial \varphi_2}{\partial t} &= -\xi_2 a - \frac{eE_0}{mc\omega_p} \cdot \frac{en_0\kappa}{2m(\omega_0 - \omega_B)} \sin \varphi_2, \end{aligned}$$

$$\begin{aligned} \frac{\partial \omega}{\partial t} &= -v_m b + \frac{4\pi e}{\kappa} \cdot \frac{eE_0}{mc} \frac{2\pi g M_0}{\omega_0 - \omega_B} a \cos \alpha, \\ b \frac{\partial \varphi_1}{\partial t} &= \xi_1 b + \frac{4\pi e}{\kappa} \cdot \frac{eE_0}{mc} \frac{2\pi g M_0}{\omega_0 - \omega_B} a \sin \alpha, \end{aligned} \quad (5)$$

$$\xi_1 = \Omega - \omega, \quad \xi_2 = \omega_p - \omega_0 + \omega, \quad \alpha = \varphi_2 - \varphi_1.$$

Полагая в (5)  $\xi_1 = \xi_2 = \alpha = 0$ , можно найти выражения для инкремента нарастания волны и порогового поля, полученные в [1].

Если считать, что  $a(-\infty) = b(-\infty) = 0$ , то в первом приближении

$$\begin{aligned} e_z^{(1)} &= \frac{4\pi e}{\kappa} a \sin \psi_2, \\ e_z^{(1)} &= -i \frac{\omega}{ck} b e^{i\psi_1}, \\ \tau_z^{(1)} &= \frac{e}{m} \frac{1}{\omega - \omega_0} \left[ \frac{4\pi e}{\kappa} a \cos \psi_2 + \frac{eE_0}{mc} \cdot \frac{b}{\omega_0 - \omega_B} \sin(\psi_2 + \alpha) \right], \quad (6) \\ \tau_z^{(1)} &= -i \frac{\omega}{ck} \frac{e}{m} \frac{b}{v_e + i(\omega_B - \omega)} e^{i\psi_1}. \end{aligned}$$

Второе приближение можно найти, пренебрегая в (3) членами, содержащими малый параметр  $\frac{eE_0}{mc\omega_p}$ , а также зависимостью  $a$ ,  $b$ ,  $\varphi$  и  $\varphi_2$  от времени:

$$\begin{aligned} e_z^{(2)} &= \frac{4\pi e}{\kappa} \cdot \frac{2\pi e^2}{m\omega_p^2} a^2 \sin 2\psi_2, \\ e_z^{(2)} &= -\frac{2\pi e^2}{mc^2 \kappa^2} \left[ \frac{\pi e}{\kappa} a^2 \sin 2\psi_2 - i \frac{\omega_p}{4ck} \frac{\omega_p}{\omega_e + i(\omega_B - \omega)} e^{ia} ab e^{i(\psi_2 - \omega_0 t)} \right], \\ v_z^{(2)} &= -\frac{2(2\pi e^2)^2}{m^2 \kappa \omega_p^3} a^2 \cos 2\psi_2, \quad (7) \\ v_z^{(2)} &= \left( \frac{\pi e^2}{mc\kappa} \right)^2 \frac{a^2}{\omega_p \kappa} \cos 2\psi_2 - \\ &- \frac{e}{m} \cdot \frac{2\pi e^2}{mc\kappa \omega_p^2} \cdot \frac{\omega_p + i\omega_B}{\omega_e + i(\omega_B - \omega)} e^{ia} [e^{i(2\psi_2 - \omega_0 t)} - e^{-i\omega_0 t}] ab \end{aligned}$$

Третье приближение выбирается из условия отсутствия резонансных членов в системе (3), что приводит к следующей системе уравнений:

$$\begin{aligned} \frac{\partial a}{\partial t} &= -\frac{v_e}{2} a + \frac{eE_0}{mc\omega_p} \cdot \frac{en_0\kappa}{2m\omega_p} b \cos \alpha, \\ a \frac{\partial \varphi_2}{\partial t} &= -\xi_2 a - \frac{eE_0}{mc\omega_p} \cdot \frac{en_0\kappa}{2m\omega_p} b \sin \alpha - 2 \left( \frac{2\pi e^2}{m} \right)^2 \frac{a^3}{\omega_p^3}, \quad (8) \\ \frac{\partial b}{\partial t} &= -v_m b + \frac{4\pi e}{\kappa} \cdot \frac{eE_0}{mc\omega_p} \cdot 2\pi g M_0 a \cos \alpha, \\ b \frac{\partial \varphi_1}{\partial t} &= \xi_1 b + \frac{4\pi e}{\kappa} \cdot \frac{eE_0}{mc\omega_p} \cdot 2\pi g M_0 a \sin \alpha + \frac{(4\pi - \beta) g M_0}{2(4\pi M_0)^2} b^3. \end{aligned}$$

Стационарные значения величин  $a$ ,  $b$  и  $\alpha$  определяются из системы (8), если в ней положить левые части равными нулю и добав-

вить условие  $\xi_1 + \xi_2 = \xi_0 = \omega_p + \omega - \omega_0$ :

$$a_{st}^{(1)} = b_{st}^{(1)} = 0,$$

$$a_{st}^{(2)} = \frac{eE_0}{mc\omega_p} \cdot \frac{en_0\kappa}{m\omega_p} b_{st}^{(2)} \cos \alpha_{st},$$

$$(b_{st}^{(2)})^2 = - \left( A_1 + \frac{4A_2 A_3}{v_e} \cos^2 \alpha_{st} \right)^{-1} \left[ \frac{\omega_0}{\omega_0} + \left( v_m + \frac{v_e}{2} \right) \operatorname{tg} \alpha_{st} \right], \quad (9)$$

$$\cos^2 \alpha_{st} = \frac{v_e v_m}{2\pi g M_0 \omega_p} \left( \frac{eE_0}{mc\omega_p} \right)^{-2} = \frac{E_n^2}{E_0^2},$$

$$E_n = \frac{mc\omega_p}{e} \left( \frac{v_e v_m}{2\pi g M_0 \omega_p} \right)^{1/2},$$

$$A_1 = \frac{(4\pi - \beta)g M_0}{2(4\pi M_0)^2}, \quad A_2 = \frac{eE_0}{mc\omega_p} \cdot \frac{en_0\kappa}{2m\omega_p}, \quad A_3 = \frac{2}{\omega_p^3} \left( \frac{2\pi e^2}{m} \right)^2.$$

Характеристическое уравнение, определяющее устойчивость стационарных амплитуд, имеет вид

$$\lambda (\lambda^2 + C_1 \lambda^2 + C_2 \lambda + C_3) = 0, \quad (10)$$

где

$$C_1 = 2 \left( v_m + \frac{v_e}{2} \right),$$

$$C_2 = \left( v_m + \frac{v_e}{2} \right)^2 + \left( v_m - \frac{v_e}{2} \right)^2 \operatorname{tg}^2 \alpha_{st} - 2 \left( v_m b_{st}^2 A_1 + \frac{v_e}{2} a_{st}^2 A_3 \right),$$

$$C_3 = -v_e v_m \left[ \left( v_m + \frac{v_e}{2} \right) \operatorname{tg} \alpha_{st} + \xi_0 + (b_{st}^2 A_1 + a_{st}^2 A_3) \right] \operatorname{tg} \alpha_{st}.$$

Стационарные амплитуды устойчивы, если  $\operatorname{Re} \lambda_i < 0$ , что эквивалентно выполнению следующих условий:

$$C_1 > 0, \quad C_3 > 0, \quad C_1 C_2 - C_3 > 0. \quad (11)$$

Для оценки стационарных амплитуд и их устойчивости положим, что параметры магнитного полупроводника такие же, как и в [1].

Нулевые стационарные амплитуды устойчивы, если

$$\left( \frac{2}{v_e} \xi_0 \right)^2 > \frac{E_0^2}{E_n^2} - 1. \quad (12)$$

Конечные же стационарные амплитуды  $a_{st} \neq 0$  и  $b_{st} \neq 0$  устойчивы, если

$$\operatorname{tg} \alpha_{st} < 0, \quad \left( \frac{E_0^2}{E_n^2} - 1 \right)^{1/2} - \frac{1}{2} < \frac{2}{v_e} \xi_0 < \left( \frac{E_0^2}{E_n^2} - 1 \right)^{1/2}. \quad (13)$$

При  $\kappa^2 \ll 10^7$  стационарные значения амплитуд (8) велики, и, по-видимому, необходимо учитывать влияние усиливаемой волны на накачку. Когда  $\kappa^2 \sim 10^7$ , стационарное значение амплитуды колебаний магнитного момента  $m_{st} \sim 10$  гс.

#### Литература

1. Махмудов З. З., Султанов К. М. ДАН Азерб. ССР, XXXII, 1976, № 6, 11. 2. Miranda L. C. M. Phys. Rev., 12, 1975, 5075.

Институт физики АН Азерб. ССР

Поступило 21. XII 1977

З. З. Махмудов, К. М. Султанов

#### ФЕРРОМАГНИТ ЙАРЫМКЕЧИРИЧИДЭ ЙУКСАКТЕЗЛИКЛИ ЕЛЕКТРИК САҢЭСИ ВАСИТЭСИЛЭ СПИН ДАЛГАЛАРЫНЫН ПАРАМЕТРИК КҮЧЛӘНДИРИЛМӘСИНИН ГЕЈРИ-ХӘТТИ НӘЗӘРИЙӘСИНӘ ДАИР

Мәгәләдә ферромагнит йарымкечиричидэ юксактезликли бирчык электрик саңеси илэ спин далгаларынын параметрик ојадылмасына дайр гејри-хәтти мәсәләјә бахылышдыр. Харичи электрик саңесини  $\omega_0$ -теглини  $\omega_0 = \omega_s + \omega_p$  резонанс шәртини өдәјенә ( $\omega_s$  вә  $\omega_p$  спин вә плазма далгаларынын тезликләриди), спин далгаларынын амплитудасынын артмасы баш верир. Лакин магнит моменти учун Ландau вә Лишинтэ тәннижинин вә йарымкечиричидәкі юқдашылычылар учун тәнниләрни гејри-хәттили итәчесинә спин далгалары амплитудасынын артмасы мәһдүллашыр.

Мәгәләдә спин далгаларынын күчләнә биләчәжи максимал стансисар амплитуда вә бу амплитуданын дајаныглыг областы тапылышдыр.

Z. Z. Makhammadov, K. M. Sultanov

#### ON THE NONLINEAR THEORY OF PARAMETRIC EXCITATION OF SPIN WAVES BY MEANS OF A STRONG HIGH-FREQUENCY ELECTRIC FIELD IN MAGNETIC SEMICONDUCTORS

Nonlinear theory of parametric excitation of spin waves by means of a strong high-frequency electric field in magnetic semiconductors is considered. Excitation takes place when the resonance condition  $\omega_s + \omega_p = \omega_0$  is fulfilled ( $\omega_0$ —the frequency of the electric field,  $\omega_s$ —the frequency of the spin wave,  $\omega_p$ —is the plasma-frequency). because of equations of movement are nonlinear, the amplitude of the spin wave is limited. The maximal amplitude of spin waves and stable region of this amplitude is obtained.

Э. Ш. МАМЕДОВ, Р. С. САЛАХОВА, Т. М. ГАДЖИЛЫ, акад. АН Азерб. ССР  
Т. Н. ШАХТАХТИНСКИЙ

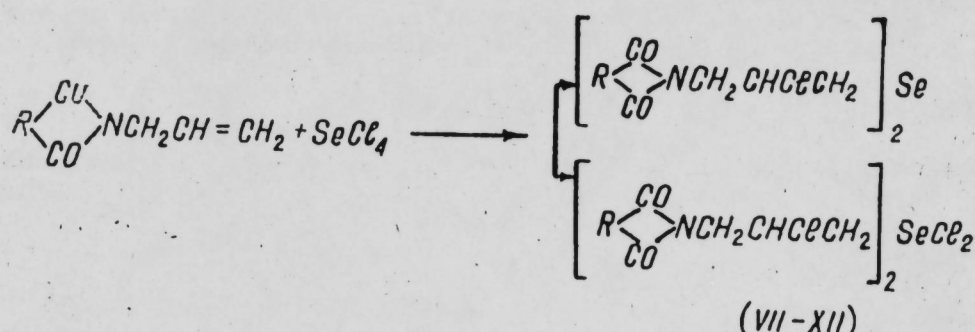
**СИНТЕЗ СЕЛЕНДИХЛОРИДОВ БИС N, N'-(2-ХЛОРПРОПИЛ) ИМИДОВ ОРТОДИКАРБОНОВЫХ КИСЛОТ ВЗАИМОДЕЙСТВИЕМ N-АЛЛИЛИМИДОВ С ЧЕТЫРЕХХЛОРИСТЫМ СЕЛЕНОМ**

Присоединение четыреххлористого селена [1—3] к соединениям с кратной связью в зависимости от электронной природы заместителя происходит с образованием бис- (2-галоидалкил) селенидов и бис- (2-галоидалкил) селендихлоридов [3]. Получение бис- (2-галоид-алкил)-селендихлоридов можно осуществить также взаимодействием  $\text{SeO}_2$ ,  $\text{HCl}$  и олефина [2].

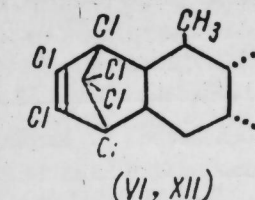
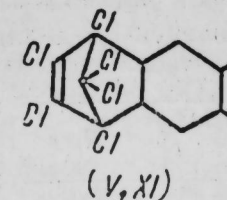
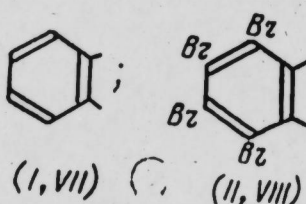
Хлорсодержащие сelenоорганические соединения принимают [4] в качестве физиологически активных веществ.

Азотсодержащие феноселеназины [5,6] обладают противогрибковой и антибактериальной активностью.

Селеназотгалоидсодержащие соединения могут быть получены присоединением четыреххлористого селена к N-алкилимидам циклических ортоцикарбоновых кислот (I—VI). При этом в соответствии с упомянутой работой [3] можно было бы ожидать, в зависимости от электроноакцепторных или электронодонорных свойств циклических фрагментов молекул N-аллилимида, что реакция присоединения  $\text{SeCl}_4$  может идти в двух направлениях:

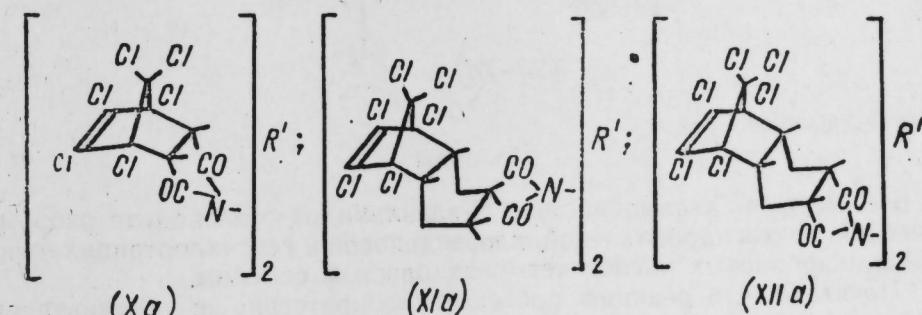


где  $\text{R}' =$



Оказалось, что в выбранных нами условиях исследуемые N-аллилимиды (I—VI) реагируют с  $\text{SeCl}_4$  избирательно, с образованием селендихлоридов бис-N, N'-(2-хлорпропил) имидов ортоцикарбоновых кислот (VII—XII) с высокими выходами (75—90%).

Исходя из известной пространственной структуры используемых би- и трициклических ангидридов циклических ортоцикарбоновых кислот [7—10] и в соответствии со стереохимией реакции имидирования этих ангидридов [8, 9, 11] для синтезированных бис-имидов (X—XII) можно принять следующие пространственные структуры: где  $\text{R}'=[-\text{CH}_2-\text{CHCl}-\text{CH}_2-]\text{SeCl}_2$ .



где  $\text{R}'=[-\text{CH}_2-\text{CHCl}-\text{CH}_2-]\text{SeCl}_2$

В ИК-спектрах бис-имидов (VII—XII) имеются характерные для  $(\text{CO}-\text{N}^{\text{R}'}-\text{CO})$ -группы полосы в области 1700—1705 и 1765—1780  $\text{cm}^{-1}$  в виде сильной и слабой интенсивности соответственно ( $\text{CCl}-\text{CCl}$ )-бициклогептенового кольца 1600—1605  $\text{cm}^{-1}$ .

Чистота полученных продуктов контролировалась ТСХ-анализом на силикагеле марки КСК размерностью 150—200 меш. В качестве элюента подобрана уксусная кислота: бензол: дихлорэтан (1:41,5), проявление пятен—УФ-облучением.

Температуры плавления и значения  $R_f$  синтезированных соединений приведены в таблице.

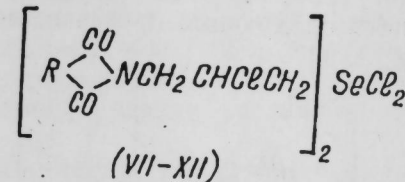
**Селендихлорид бис-N, N'-(2-хлорпропил) фталимид (VII)**

К 46,8 г (0,25 г·моля) N-аллилфталимида в 100 мл сухого эфира при сильном охлаждении ( $-30^\circ\text{C}$ ) и перемешивании порциями добавляют 22,0 г (0,1 г·моля)  $\text{SeCl}_4$ . Перемешивают в течение часа при этой температуре, затем еще час при  $20^\circ\text{C}$ . Выпавшие кристаллы отделяют и перекристаллизовывают из эфира. Получают 50,6 г соединения (VII). В аналогичных условиях получены селендихлориды бис-N, N'-(2-хлорпропил) тетрабромфталимид (VIII), селендихлорид бис-N, N'-(2-хлорпропил) гексагидрофталимид (IX), селендихлориды бис-N, N'-(2-хлорпропил)-1, 4, 5, 6, 7, 7-гексахлорбицикло (2,2,1)-гепт-5-ен-2, 3-дикарбоновой кислоты (X), селендихлориды бис-N, N'

(2-хлорпропил) эндо-экзо-1,2,3,4,11,11-и эндо-эндо-1,2,3,4,11,11-гексахлор-6-метилтрицикло (6,2,1,0<sup>5,10</sup>)-2-ундесен-7,8-дикарбоновых кислот (XII), константы которых приведены в таблице.

Соединение	Выход, %	T. пл., °C	R <sub>f</sub>
VII	85	119—120	0,85
VIII	77	94—95	0,72
IX	90	—	0,81
X	85	135—136	0,65
XI	78	87—87	0,88
XII	75	42—43	0,90

Исходные N-аллилимиды циклических ортодикарбоновых кислот получены взаимодействием соответствующих ангидридов с аллилатом по методике [9, 12]. Характеристика соединений (VII—XII)



дана в таблице.

### Выводы

Исследовано взаимодействие N-аллилимидов фталевой, тетрабромфталевой, гексагидрофталевой, хлорэндиковой и гексахлортрициклоундцендикарбоновых кислот четыреххлористым селеном.

Показано, что реакция протекает избирательно, с образованием соответствующих селендиоксидов бис-N, N'-(2-хлорпропилимидов ортодикарбоновых кислот.

### Литература

- I. J. Prakt. Chem., I, 1954, № 1—2, 33—40. 2. J. Prakt. Chem., 8, 1959, № 5—6, 256—263. 3. J. Organ. Chem., 27, 1962, № 7, 2651—2653. 4. Авт. свид. СССР № 45050, Бюлл. изобр., 1975, № 5. Пат. США, кл. 260—241, № 3043839, 10. VII 1962. 6. Faraco Ed. Sci., 1965, 20, № 6, 446—455. 7. Салахов М. С., Александров Н. А., Поладов П. М., Салахова Я. С., Гусейнов М. М., Кучеров В. Ф., Ж. органич. хим., 9, 1973, № 5, 942—947. 8. Салахов М. С., Тимошева А. П., Бульфсон С. Г., Салахова Р. С., Мусаева Н. Х., Александров Н. А., Вещагин А. Н., Изв. АН СССР, серия хим., 1975, № 4, 866—874. 9. Пат. США 2795589, С. А. 51, 16529, 1957. 10. Коган Л. М., Игнатова Н. П. Авт. свид. СССР № 119184, Бюл. изобр., 1959, № 11. Салахов М. С., Гусейнов М. М., Трей-1723. 12. J. Amer. Chem. Soc., 68, 1946, № 10, 2112—2115.

### ИПХХТ

Поступило 25. XI 1977

Е. Ш. Мамедов, Р. С. Салахова, Т. М. Начылы, Т. Н. Шактахтински

### ОРТО-ДИКАРБОН ТУРШУЛАРЫНЫН бис-N, N'-(2-ХЛОРОПРОПИЛ) ИМИДЛЭРИ СЕЛЕНДИХЛОРИДЛЭРИНИН N-АЛЛИЛИМИДЛЭРЛЭ ДОРДХЛОРЛУ СЕЛЕНДЭН СИНТЕЗИ

Фтал, тетрабромфтал, гексагидрофтал, хлорэндик вә гексахлортрициклоундцендикарбон туршулары N-аллилимидлэрин дөрдхлорлу селенлә гарышылыглы тә'сирин тәдгиг олунмуш вә мүэйжин едилмишdir ки, реаксија анчаг мұвағиғ орто-дикарбон туршуларынын бис-N, N'-(2-хлор-пропил) имидлэринин селендиоксидлэринин синтези истигамәтindә кедир.

E. Sh. Mamedov, R. S. Salakhova, T. M. Gadzhily, T. N. Shakhtakhtinsky

### SYNTHESIS OF SELENIUM DICHLORIDES OF BIS-N, N'-(2-CHLOROPROPYL) IMIDES OF ORTHO-DICARBOXYLIC ACIDS BY INTERACTION OF N-ALLYLIMIDES WITH SELENIUM CHLORIDE

The interaction reaction of N-allylimides of phthalic, tetrabromophthalic, hexahydrophthalic, chloroendic, and hexachlorotriacycloundecenedicarboxylic acids with selenium chloride has been investigated.

It was shown that the reaction proceeds selectively with formation of corresponding selenium dichlorides of bis-N, N'-(2-chloropropyl) imides of ortho-dicarboxylic acids.

## НЕОРГАНИЧЕСКАЯ ХИМИЯ

Академик АН Азерб. ССР Г. Б. ШАХТАХТИНСКИЙ, А. А. МУСЛЕВ, Г. А. АСЛАНОВ,  
Х. М. АДЫГЕЗАЛОВ, И. И. ТАГИЕВ, Г. А. ГАСАНОВ

**ГРАНУЛЯЦИЯ И ОБЖИГ АЛУНИТОВОЙ РУДЫ  
С ПОСЛЕДУЮЩИМ ВОССТАНОВЛЕНИЕМ ЕЕ  
КОНВЕРСИРОВАННЫМ ПРИРОДНЫМ ГАЗОМ НА ПИЛОТНОЙ  
НЕПРЕРЫВНО ДЕЙСТВУЮЩЕЙ УСТАНОВКЕ**

В предыдущих работах [1—5] нами изучались процессы грануляции, обжига и восстановления алунитовой руды на периодически и непрерывно действующих установках и влияние на них различных факторов.

Однако в ходе исследований возник ряд таких непредвиденных обстоятельств, как пропуск газа через разгрузочную линию, охлаждение конверсированного газа перед поступлением в реактор, просок воздуха из обжигового аппарата в реактор и др. [4, 5].

Для устранения этих недостатков и выявления ряда других факторов, влияющих на указанные процессы, а также с целью получения данных, необходимых при проектировании опытно-промышленной установки нами проводилось комплексное исследование процессов грануляции, обжига и восстановления алунитовой руды конверсированным природным газом (КПГ) на pilotной непрерывно действующей установке производительностью 32 кг/ч по сырому алуниту.

В данной статье приведены технологическая схема непрерывно действующей установки, ее описание и результаты исследований по обжигу гранулированного алунита (рис. 1). Технологическая схема включает в себя грануляцию молотого алунита, сушку и обжиг гранулированного алунита во вращающейся печи, производство конверсированного газа, восстановление алунита и получение серной кислоты из серусодержащего газа.

Весь процесс сводится к следующему. Молотый алунит из бункера подается в чашу гранулятора и подвергается грануляции с водой. Сырые гранулы из гранулятора самотеком поступают во вращающуюся печь, где подвергаются постепенной сушке в начале печи (в зоне сушки) с последующей дегидратацией в зоне обжига, а затем через загрузочное устройство в реактор, где восстанавливаются КПГ, подаваемым из компрессора. Восстановленный алунит подается в гидрохимический узел через разгрузочное устройство, состоящее из холодильника и дозатора. Отходящие газы из восстановительного аппарата очищаются от следов пыли и отделяются от водяного пара при прохождении через циклоны и холодильники, а затем направляются на установку для производства серной кислоты. (Для предотвращения проскаока восстановителя через нижнее отверстие реактора отношение длины разгрузочной линии к высоте слоя алунита в реакторе следует брать равным 1,2:1). В процессе сушки и обжига во вращающейся печи установлено, что температура греющих газов в «холодной» зоне печи, куда подаются гранулы влажностью 8—10%, должна быть не выше 150—170° (рис. 2). Если температура греющих газов превышает вышеуказанный предел, быстрое выде-

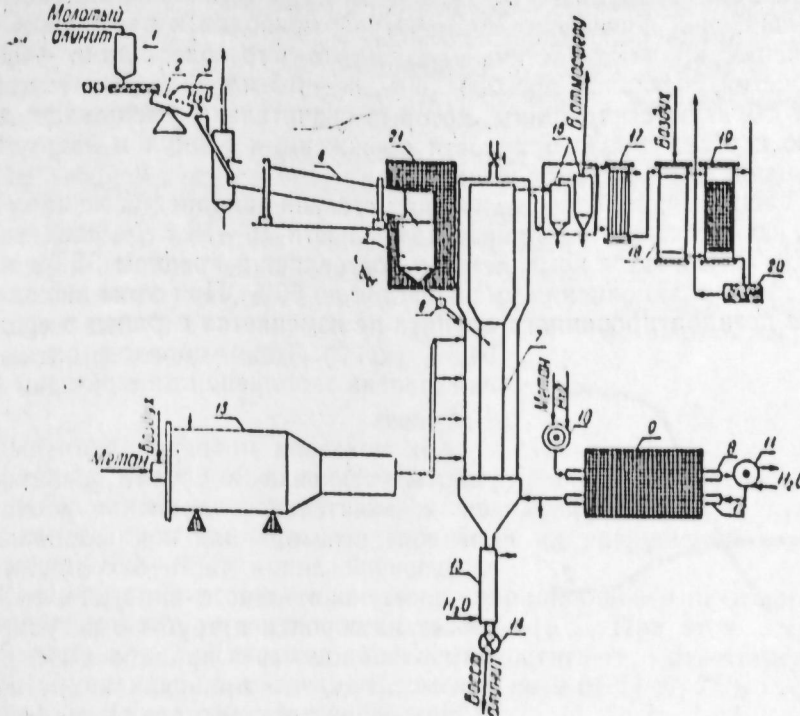


Рис. 1. Технологическая схема непрерывно действующей установки грануляции обжига и восстановления алунитовой руды конверсированным природным газом: 1—бункер для молотого алунита; 2—гранулятор; 3—устройство для подачи воды; 4—печь вращающаяся; 5—бункер обожженного алунита; 6—клапан; 7—восстановительный аппарат; 8—компрессор; 9—трубка компрессора; 10—сaturатор; 11—холодильник; 12—нагреватель; 13—холодильник; 14—дозатор; 15—трубка под давлением; 16—циклон; 17—холодильник; 18—контактный аппарат; 19—башня-конденсатор; 20—резервуар для серной кислоты; 21—трубка

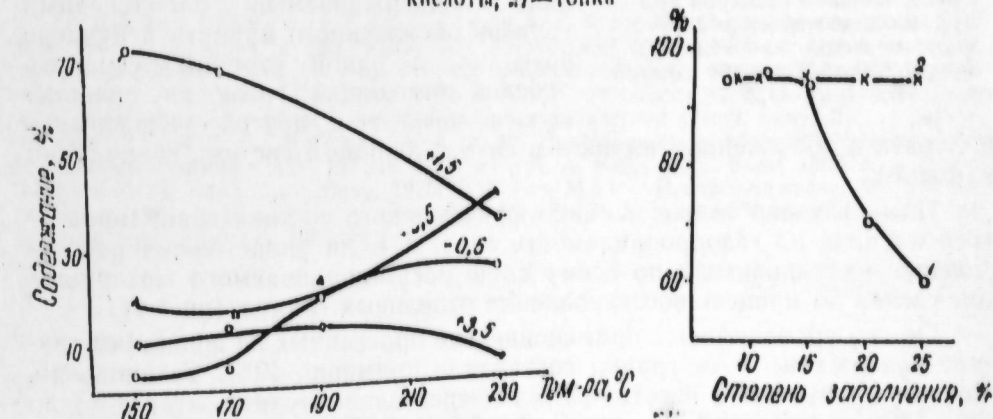


Рис. 2. Влияние температуры греющих газов в холодной головке печи на фракционный состав гранулированного дегидратированного алунита при  $n=1$  об/мин

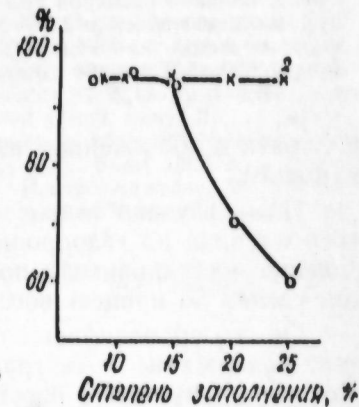


Рис. 3. Влияние степени заполнения печи на степень дегидратации гранулированного алунита (1) и на выход глинозема (2) при  $t=700-750^{\circ}$ ,  $t=28-30$  мин

ление паров воды из гранул способствует их разрушению и образованию значительного количества пыли, что приводит к потерям алунита. Опыты показали, что в интервале температур 150—170° в зоне сушки, куда подаются сырье гранулы при скорости вращения печи 1 об/мин, трен-

нообразования в гранулах с последующим их разрушением не наблюдается. Дальнейшее повышение температуры приводит к растрескиванию и разрушению крупных частиц, в результате чего содержание +0,5 мм гранул растет, составляя при 230° 39%, а -0,5-мм 23%. Кроме того, в гранулах образуются трещины, которые значительно уменьшают динамическую и статическую прочности обожженных гранул и затрудняют их применение для восстановления.

Как видно из рис. 3, с увеличением степени заполнения печи от 8 до 14%, что соответствует ее производительности 10—18 кг/ч, степень дегидратации алюнита не изменяется и составляет в среднем 95%, а при 25%-ной степени заполнения уменьшается до 60%. При этом выход глинозема из дегидратированного алюнита не изменяется и равен в среднем 94,3% (кр. 2). Таким образом, оптимальная степень заполнения данной печи 14—16%.

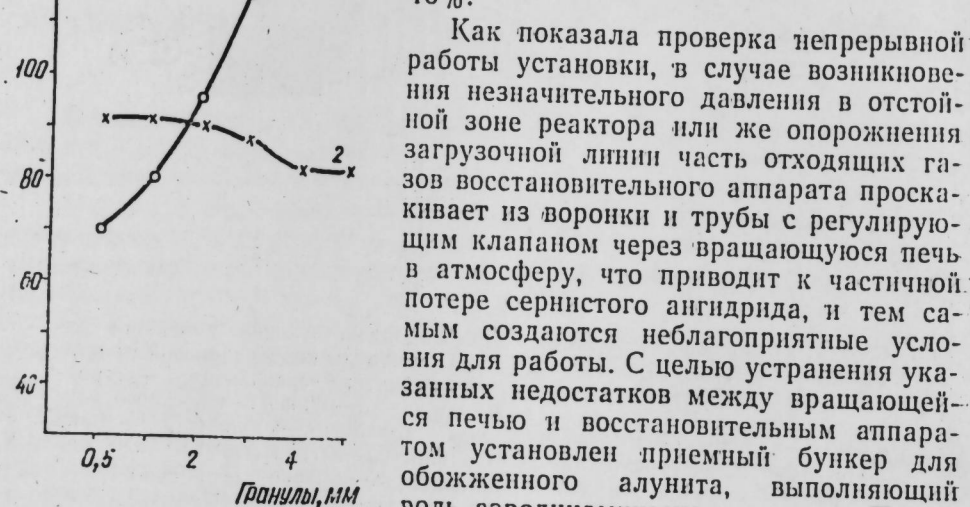


Рис. 4. Влияние размеров гранул на степень восстановления (1) и на выход глинозема (2) при  $t=530-540^\circ$ ,  $\tau=60$  мин,  $B:SO_3(Al)=1,27:1$

аппарат в обожженном алюните в случае аварии в системе грануляции.

Нами изучено также влияние фракционного состава гранулированного алюнита на газопроницаемость слоя, т. е. на равномерное распределение восстановителя по всему слою восстанавливаемого материала, тем самым на процесс восстановления отдельных гранул (рис. 4).

Опыты проводились с применением не просеянных по фракциям гранул. Содержание 3-мм гранул составляло примерно 40%. Установлено, что при пропускании восстановителя через слой алюнита, нагретого до 530—550° и содержащего гранулы —5,5, +0,25 мм распределение его по слою идет неравномерно, т. е. несколько односторонне. Это объясняется тем, что при подаче обожженных гранул в восстановительный аппарат на месте загрузки происходит частичная сепарация их по фракциям с образованием слоев гранул с различной порозностью [7]. В результате количества газа, проходящего через слой алюнита с большей порозностью (где имеются крупные гранулы), оказывается больше эквивалентного количества при прохождении через слой с меньшей порозностью. Данные анализов проб восстановленного алюнита, взятые с различных участков слоя, показали, что в тех из них, что имеют большое количество мелких ( $-2$  мм) гранул, степень восстановления в среднем:

составляет 80—85% (частицы величиной 0,5—1 мм почти не подвергались восстановлению). Наоборот, степень восстановления алюнита у проб с большим содержанием гранул величиной +2 мм превышала 100%, составляя в среднем 110—120% за счет восстановления сульфатов щелочных металлов [8].

В опытах с более однородным гранулированным алюнитом, содержащим —5,5, +2-мм гранулы, показано, что по мере увеличения размеров гранул и однородности их в значительной степени улучшается газопроницаемость слоя и восстановление отдельных гранул идут равномерно. Исходя из проведенных исследований, можно сказать, что в процессе восстановления гранулированного алюнита на непрерывно действующей установке присутствие мелких гранул наряду со значительно более крупными нецелесообразно.

## Выводы

1. В процессе сушки и обжига гранулированного алюнита во вращающейся печи температура газов в «холодной» головке ее, куда подаются сырье гранулы с целью устранения их разрушения, не должна превышать 150—170°.

2. Оптимальная степень заполнения вращающейся печи при обжиге гранулированного алюнита составляет 14—16%. При этом степень дегидратации алюнита и выход глинозема достигают соответственно 95 и 94,3%. С увеличением степени заполнения печи от 14 до 25% степень дегидратации алюнита снижается с 96 до 60%.

3. Установлено, что с целью увеличения газопроницаемости слоя и обеспечения равномерного распределения восстановителя по всему слою присутствие —1,5 мм гранул в гранулированном обожженном алюните в количестве более 10% нецелесообразно.

## Литература

- Шахтахтинский Г. Б., Мусаев А. А. и др. Мат-лы конфер. молодых ученых Ин-та неорганич. и физ. химии АН Азерб. ССР. Баку, 1969.
- Шахтахтинский Г. Б., Мусаев А. А. и др. Мат-лы конференции молодых ученых Ин-та неорганич. и физ. химии АН Азерб. ССР. Баку, 1969.
- Шахтахтинский Г. Б., Мусаев А. А. и др. Исследование в области неорганической и физической химии. Баку, 1971.
- Шахтахтинский Г. Б., Мусаев А. А. и др. Исследование в области неорганической и физической химии. Баку, 1971.
- Мусаев А. А. Канд. дисс. Баку, 1969.
- Адыгезалов Х. М. Канд. дисс. Баку, 1975.
- Лева Макс. Псевдоожижение. М., Гостехиздат, 1961.
- Шахтахтинский, Мусаев А. А. и др. «Уч. зап. АГУ им. С. М. Кирова», серия «Химия», 1965, № 4.

Поступило 3. XI 1977

И. Б. Шахтахтински, Э. Э. Мусаев, И. Э. Асланов, Х. М. Адыгезалов, Н. И. Тағыев, Г. Э. Һасенов

ФАСИЛЭСИЗ ИШЛӘЈЕН БӨЛҮДҮЛМУШ ГУРГУДА АЛУНИТ ФИЛИЗИНИН ДӘНӘВӘРЛӘШДИРИЛМЕСИ, СУСУЗЛАШДЫРЫЛМАСЫ ВӘ АРДЫЧЫЛ ОЛАРАГ КОНВЕРСИЯ ОЛУНМУШ ТӘБИН ГАЗЛА РЕДУКСИЯСЫ

Мәгаләдә фасиләсиз ишләјэн гургуун технология схеми, онун ишләмә принципи вә дәнәвәрләшдирилмиш алюнитин сусузлашдырмысы просесинин тәдгигинин иәтичәләри верилмишdir. Мүэjjән едилмишdir ки, сусузлашдырма просесинин апараркән фырланан собайын «сојуг» исесесинде гыздырычы газының температурасы 150—170°, онун алюнитлә долма дәрәчәси исә 14—16% олмалыdyr. Белә олдуға, алюнитин сусузлашдырма дәрәчәси 95%, алюминий оксидинин чыхымы исә 94,3% тәшкил едир.

ALUNITE ORE GRANULATION AND ROASTING WITH  
THE FOLLOWING REDUCTION OF IT BY CONVERSED  
NATURE GAS ON THE CONTINUOUS PILOT PLANT

In the present article the continuous plant flow sheet, its description, the granulated alunite roasting study results are given. It is established that during the drying and roasting process the warming gas temperature in the "cold" head of rotary kiln must not be higher than 150–170°, and the degree of kiln loading must be 14–16%. Then the degrees of alunite dehydration and alunite yield are 95 and 94.3%, respectively.

УДК 546

НЕОРГАНИЧЕСКАЯ ХИМИЯ

О. А. АЛИЕВ, член-корр. АН Азерб. ССР Дж. И. ЗУЛЬФУГАРЛЫ,  
Г. А. ГУСЕЙНОВА

ФАЗОВЫЕ РАВНОВЕСИЯ В СИСТЕМЕ  
 $\text{Ho}_2\text{O}_3-\text{CoO}-\text{B}_2\text{O}_3$  ПРИ 1000°C

Анализ теории редкоземельных элементов (р.з.э.) позволяет считать, что степень участия 4f-орбиталей в связях в ряду р.з.э. уменьшается, причем немонотонно, немонотонно должен изменяться и ряд свойств этих соединений [1]. Однако установлено, что в случае, если в состав соединений помимо редкоземельных катионов входит какой-либо катион с сильным полем, обладающим собственными требованиями к направленности связей, кристаллическая структура их в пределах всего редкоземельного ряда может не меняться. Это положение подтверждено синтезом полного ряда изоструктурных двойных боратов р.з.э. стронция, кальция и бария [2,4].

Аналогичная картина наблюдается и в двойных метаборатах р.з.э. и кобальта.

В предыдущих работах [5–9] нами изучены фазовые равновесия в системе  $\text{Ho}_2\text{O}_3-\text{CoO}-\text{B}_2\text{O}_3$  методом изотермического насыщения при 1000°C. Методика исследования описана ранее [7,9].

Как и в системах [5–9], в системе  $\text{Ho}_2\text{O}_3-\text{CoO}-\text{B}_2\text{O}_3$  при 1000°C имеется обширная область расслаивания (рис. 1). Левая граница расслаивания проходит вблизи практически чистого триоксида бора (содержание оксидов Co и Ho в триоксида бора не превышает 1,5%), правая—почти по прямой линии между точками *a* и *b*. В правую границу расслаивания упирается изотерма растворимости двойного метабората кобальта и гольмия состава  $\text{HoCo}(\text{BO}_2)_5$  (кр. *v*–*m*). Расплав, отвечающий при 1000°C точке *n*, может находиться в равновесии с двумя другими фазами: практически чистым жидким триоксидом бора и твердой фазой  $\text{HoCo}(\text{BO}_2)_5$ .

К изотерме растворимости двойного метабората  $\text{HoCo}(\text{BO}_2)_5$  (*b*–*m*) непосредственно примыкает изотерма растворимости двойного орто-бората впервые полученного нами состава  $\text{Ho}_2\text{Co}_3(\text{BO}_3)_4$ .

В пределах области равновесного существования двойного метабората гольмия и кобальта легко могут быть осуществлены расплавы, пересыщенные относительно  $\text{HoCo}(\text{BO}_2)_5$ .

Некоторые из пересыщенных расплавов расслаиваются на две жидкие фазы, способные длительное время находиться между собой в метастабильном равновесии. Одна из метастабильных жидких фаз—практически чистый триоксид бора и вторая—жидкость, обогащенная  $\text{CoO}$  и  $\text{Ho}_2\text{O}_3$ .

Метастабильная область расслаивания изучалась следующим образом. Смеси компонентов из области, ограниченной составами  $\text{B}_2\text{O}_3$ —точка *v*—точка *c*, перегревались в платиновом тигле выше 1000°C до полного растворения кристаллической фазы, охлаждались до 1000°C и перемешивались платиновой мешалкой до достижения состояния метастабильного равновесия между образующимися жидкими фазами. После этого жидкости отстаивались и охлаждались. В процессе отстани-

вания происходило расслоение жидких фаз на два слоя. При быстром охлаждении обе жидкости давали стекла, которые механически разделялись и анализировались. Состав полученных стекол отвечал

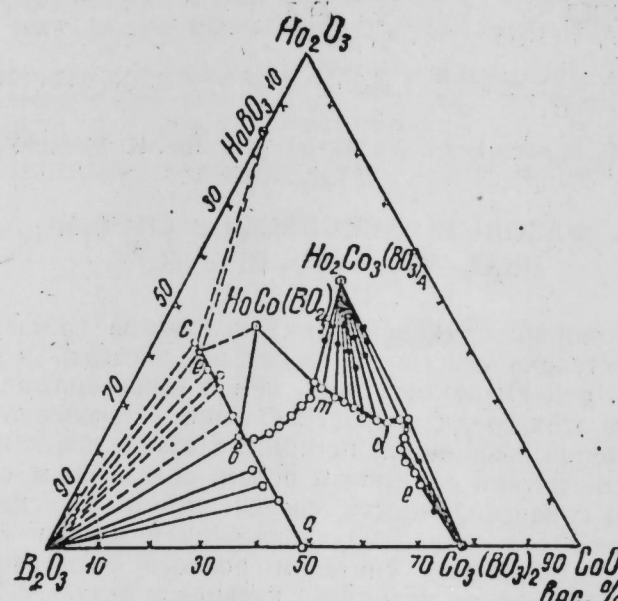


Рис. 1. Фазовые равновесия в системе  $\text{Ho}_2\text{O}_3$ — $\text{CoO}$ — $\text{B}_2\text{O}_3$  при  $1000^\circ\text{C}$ .

составу двух жидких фаз, находящихся в метастабильном равновесии при  $1000^\circ\text{C}$ . При медленном охлаждении фаза, обогащенная  $\text{Ho}_2\text{O}_3$

Таблица 1

Твердые и равновесные жидкие фазы в системе  $\text{Ho}_2\text{O}_3$ — $\text{CoO}$ — $\text{B}_2\text{O}_3$  при  $1000^\circ\text{C}$

Состав жидкой фазы			Равновесные фазы
$\text{B}_2\text{O}_3$	$\text{CoO}$	$\text{Ho}_2\text{O}_3$	
52,0	48,0	—	$\text{Co}_2\text{B}_2\text{O}_5$ и $\text{B}_2\text{O}_3$
51,0	40,0	9,0	$\text{B}_2\text{O}_3$
51,3	36,6	13,1	$\text{B}_2\text{O}_3$
51,0	33,0	16,0	$\text{B}_2\text{O}_3$
48,4	29,4	22,2	$\text{HoCo}(\text{BO}_2)_5$ и $\text{B}_2\text{O}_3$
45,5	31,3	23,2	$\text{HoCo}(\text{BO}_2)_5$
43,1	32,2	24,7	$\text{HoCo}(\text{BO}_2)_5$
39,5	33,2	27,3	$\text{HoCo}(\text{BO}_2)_5$
37,0	35,5	27,5	$\text{HoCo}(\text{BO}_2)_5$
34,4	35,1	30,5	$\text{HoCo}(\text{BO}_2)_5$
32,1	33,9	34,0	$\text{HoCo}(\text{BO}_2)_5$ и $\text{Ho}_2\text{CO}_3(\text{BO}_3)_4$
31,2	36,3	32,5	$\text{Ho}_2\text{CO}_3(\text{BO}_3)_4$
30,0	38,8	31,2	$\text{Ho}_2\text{CO}_3(\text{BO}_3)_4$
27,8	42,0	30,2	$\text{HO}_2\text{CO}_3(\text{BO}_3)_4$
27,1	44,3	28,6	$\text{HO}_2\text{CO}_3(\text{BO}_3)_4$
26,3	47,1	26,6	$\text{HO}_2\text{CO}_3(\text{BO}_3)_4$
24,4	49,1	25,5	$\text{HO}_2\text{CO}_3(\text{BO}_3)_4$
22,7	52,0	25,3	$\text{HO}_2\text{CO}_3(\text{BO}_3)_4$
20,4	54,2	25,4	$\text{HO}_2\text{CO}_3(\text{BO}_3)_4$
19,6	55,2	25,2	$\text{HO}_2\text{CO}_3(\text{BO}_3)_4$ и $\text{CO}_3(\text{BO}_3)_2$
21,0	57,3	21,7	$\text{CO}_3(\text{BO}_3)_2$
22,7	57,3	20,0	$\text{CO}_3(\text{BO}_3)_2$
23,6	59,2	17,2	$\text{CO}_3(\text{BO}_3)_2$
22,8	62,0	15,2	$\text{CO}_3(\text{BO}_3)_2$
23,0	14,5	12,5	$\text{CO}_3(\text{BO}_3)_2$

и  $\text{CoO}$ , закристаллизовалась. Таким образом удалось продолжить правую границу расслаивания в метастабильную область (кр. *b*—*c*, табл. 1).

При повышении содержания оксида гольмия в равновесных жидких фазах метастабильная область расслаивания переходит в границу существования ортобората гольмия  $\text{HoBO}_3$  (рис. 1, точка *c*). Жидкая фаза, полученная при  $1130^\circ\text{C}$  в области существования ортобората гольмия, закристаллизуется при  $1050^\circ\text{C}$ .

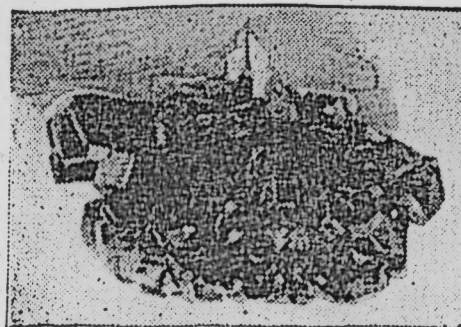


Рис. 2. Конец платиновой мешалки с наросшими на ней кристаллами  $\text{HoCo}(\text{BO}_2)_5$ .

Для анализа равновесная смесь твердой и жидкой фазы системы  $\text{Ho}_2\text{O}_3$ — $\text{CoO}$ — $\text{B}_2\text{O}_3$  отстаивалась и охлаждалась. На анализ отбиралась жидкая фаза, остальная часть смеси обрабатывалась разбавленной (1:5) соляной кислотой.

Бораты  $\text{HoCo}(\text{BO}_2)_5$  и  $\text{HoBO}_3$  в разбавленной соляной кислоте не растворяются, что позволяет отмыть твердые фазы от жидкой, выделить их в чистом виде и проанализировать. Дифрактограммы полученных боратов, отмытых и неотмытых от маточной жидкой фазы, дают возможность еще раз удостовериться в идентичности состава отмытых соединений и равновесных твердых фаз.

Ортоборат гольмия при  $1000^\circ\text{C}$  выделяется из раствора в расплаве в виде мелкого порошка. Порошковая  $\text{HoBO}_3$ , снятая при комнатной температуре, аналогична порошковым низкотемпературным фагеритовым боратам [1].

При длительном (порядка 8–10 ч) перемешивании равновесных твердых и жидких фаз при  $1000^\circ\text{C}$  двойной борат  $\text{HoCo}(\text{BO}_2)_5$  перекристаллизовывается. По-видимому, вначале происходит образование и растворение мелких кристаллов, а затем на поверхности платиновой мешалки рост крупных (до 4–6 мм).

Таким образом, нами впервые получены и выделены монокристаллы двойного метабората гольмия и кобальта состава  $\text{HoCo}(\text{BO}_2)_5$ . Кристаллы нарастают ярко выраженным граням, окрашены в темно-фиолетовый цвет и характеризуются высокой прозрачностью и однородностью (рис. 2). При быстром охлаждении со  $100^\circ\text{C}$  до комнатной температуры они не растрескиваются и не мутнеют, не изменяются на воздухе и в воде. Очень трудно растворяются даже в концентрированной соляной кислоте при кипячении. Результаты дифференциально-термического анализа  $\text{HoCo}(\text{BO}_2)_5$  указывают на отсутствие потерь веса или каких-либо тепловых эффектов вплоть до температуры плавления  $-1030 \pm 10^\circ\text{C}$ .

Лауэграммы, снятые перпендикулярно и параллельно первичному пучку, показали, что кристаллы  $\text{HoCo}(\text{BO}_2)_5$  относятся к моноклиннической сингонии. По рентгенограммам качания определены следующие параметры моноклинной решетки:  $a = 8,502 \text{ \AA}$ ;  $b = 7,580 \text{ \AA}$ ;  $c = 9,385 \text{ \AA}$ ;  $\beta = 93,86^\circ$ ;  $v = 603,39 \text{ \AA}^3$ . Рентгенографическая плотность равна  $4,95 \text{ g/cm}^3$ , пикнотрическая —  $4,588 \text{ g/cm}^3$ .

На рентгенодифрактометре УРС-50 ИМ при медном излучении снята дифрактограмма и определены межплоскостные расстояния кристаллов двойного метабората гольмия и кобальта (табл. 2).

На рис. 3 приведены ИК-спектры их поглощения. Спектры записывались в вазелиновом масле и по методике прессования с КВг.

Таблица 2

$d, \text{\AA}$	I	$d, \text{\AA}$	I
6,059	14	1,896	20
4,529	17	1,834	44
4,461	84	1,787	19
3,209	100	1,731	30
2,645	78	1,655	21
2,403	19	1,605	17
2,216	26	1,548	18

В соответствии с литературными данными [10] интенсивные полосы между 1100 и 1500  $\text{cm}^{-1}$  можно приписать тригональным боратным группам. Полосы между 800 и 1100  $\text{cm}^{-1}$  принадлежат тетраэдрическому, а при 667–673  $\text{cm}^{-1}$  – тригональному бору. Для метаборатов

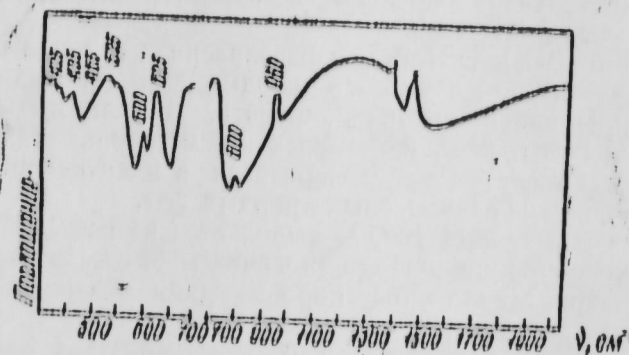


Рис. 3. ИК-спектры поглощения двойного бората  $\text{НоСоВ(О}_4)_2$ .

наиболее вероятной координацией бора является тетраэдрическая симметрия.

В системе  $\text{НоД}_2\text{O}_8=\text{СоО}=\text{B}_2\text{O}_5$  помимо двух вышеописанных соединений получено еще два –  $\text{НоСоВ(О}_4)_2$  и  $\text{СоВ(О}_4)_2$ . Наотермы их растворимости простирются соответственно между точками  $r=r=d$  и  $d=r$ .

Состав указанных соединений не мог быть установлен способом, описанным для  $\text{НоСоВ(О}_4)_2$ , так как обработка сплавов разбавленной соляной кислотой приводит к растворению всех их компонентов. Для этой цели использовали метод Скрайнемакера. Равновесная смесь твердой и жидкой фаз перемешивалась механической платиновой мешалкой при температуре выше до тех пор, пока на лопастях мешалки не появлялось достаточное количество твердой фазы. После этого мешалка вынималась и охлаждалась. Проба, взятая с лопастей платиновой мешалки, обрабатывалась концентрированной соляной кислотой. Полученный раствор анализировался СоВ и  $\text{B}_2\text{O}_5$ . Содержание  $\text{НоД}_2\text{O}_8$

\* Кристаллическая структура  $\text{НоСоВ(О}_4)_2$  полностью изучена сотрудником ЦИФХ АГН Азербайджанской ССР А. Г. Абдуллаевым.

вычислялось по разности (табл. 1). Такая процедура позволяла использовать для анализа фазу, максимально обогащенную твердой фазой.

Соединения состава  $\text{R}_2\text{СоВ(О}_4)_4$  (где R=р.з.э.) в ранее изученных нами системах типа  $\text{R}_2\text{O}_5=\text{СоО}=\text{B}_2\text{O}_5$  (R=La, Nd, Sm) не обнаружены.

Необходимо отметить, что точки пересечения лучей Скрайнемакера оставляют место сомнения относительно стехиометрии двойного ортобората в системе  $\text{НоД}_2\text{O}_8=\text{СоО}=\text{B}_2\text{O}_5$ . Так, если вначале изотермы пересечения лучей определенно указывают на соединение  $\text{НоСоВ(О}_4)_4$ , то при увеличении содержания оксида кобальта наблюдаются небольшие, но систематические отклонения лучей вправо от состава  $\text{НоСоВ(О}_4)_4$ . Такое систематическое отклонение не может быть объяснено ошибками анализа. На наш взгляд, оно связано с существованием ограниченных твердых растворов со стороны  $\text{НоСоВ(О}_4)_4$ .

На рентгенодифрактометре УРС-50 ИМ при медном излучении снята также дифрактограмма и определены межплоскостные расстояния кристаллов двойного ортобората  $\text{НоСоВ(О}_4)_4$  (табл. 3).

В настоящее время проводятся рентгеноструктурные исследования вышеуказанного двойного ортобората.

Таблица 3

$d, \text{\AA}$	I	$d, \text{\AA}$	I	$d, \text{\AA}$	I	$d, \text{\AA}$	I
0,492	29	2,944	21	2,283	18	1,774	21
0,607	34	2,858	29	2,271	16	1,720	23
4,022	28	2,822	40	2,087	21	1,712	27
3,687	91	2,752	48	2,040	14	1,678	29
3,257	37	2,660	38	2,090	16	1,647	38
3,210	29	2,401	34	2,058	30	1,690	20
2,990	16	2,398	41	1,914	100	1,502	18
						1,400	25

### Выходы

Методом наотермического насыщения изучены фазовые равновесия в системе  $\text{НоД}_2\text{O}_8=\text{СоО}=\text{B}_2\text{O}_5$  при 1000°C.

Охарактеризованы области существования твердых фаз:  $\text{НоСоВ(О}_4)_2$ ,  $\text{НоСоВ(О}_4)_4$  и  $\text{СоВ(О}_4)_2$ .

Получено в монокристаллическом состоянии [1] исследовано соединение состава  $\text{НоСоВ(О}_4)_2$ .

Методом ИК-спектроскопии и рентгенофазового анализа показана наструктура двойных боратов типа  $\text{RCo}(\text{CO}_3)_2$  (R=La, Nd, Sm, Ho).

### Литература

1. Вандуркин Г. А., Джуринский В. Ф. ДАН СССР\*, 108, 1965, 1315.
2. Джуринский В. Ф., Танас И. В., Алиев О. А. «Неорганич. мат-лы», 6, 1969, № 7, 9.
3. Алиев О. А., Раевский П. Ф., Шихалиева Л. Р. «Уч. зап. АГУ им. С. М. Кирова, серия хим. наук», 1970, № 5, 18.
4. Джуринский В. Ф., Алиев О. А., Танас И. В. «Неорганич. мат-лы», 6, 1970, бр. 2, б.
5. Алиев О. А., Абдуллаев Г. К. «Уч. зап. АГУ им. С. М. Кирова, серия хим. наук», 1972, № 1.
6. Раевский П. Ф., Алиев О. А., Ахмедова Д. А. Тез. докл. Гнескою, № 1, 1972.
7. Раевский П. Ф., Алиев О. А., Ахмедова Д. А. Тез. докл. III Рес. науч. конфер. по оксидам металлов. Киев, 1972.
8. Алиев О. А., Ахмедова Д. А. «Неорганич. мат-лы», 10, 1974, № 9.
9. Алиев О. А., Ахмедова Д. А., Тез. докл. Гнескою, № 1, 1974.
10. Алиев О. А., Гусейнова Г. А. Тез. докл. III Рес. науч. конфер. по оксидам проф. С. Дж. Гусейнова. Наку, 1970, № 10.
11. Уилл С. В., Уэнгесет Р. А. Res. Nat. стандартов, VI, № 8, 1964, 406.

О. А. Алиев, Ч. И. Зулфугарлы, Г. А. Гусейнова

## 100°C-дэ $\text{Ho}_2\text{O}_3$ — $\text{CoO}$ — $\text{B}_2\text{O}_3$ СИСТЕМНДЭ ФАЗАЛАРЫН ТАРАЗЛЫГЫ

1000°C-дэ изогермики дојдурма үсүүлүк илэ  $\text{Ho}_2\text{O}_3$ — $\text{CoO}$ — $\text{B}_2\text{O}_3$  системинде фазаларын тараразлыгы тәдгиг едилмишилди. Системдэ  $\text{HoCo}(\text{BO}_2)_5$ ,  $\text{Ho}_2\text{Co}_3(\text{BO}_3)_4$ ,  $\text{Co}_3(\text{BO}_3)_2$  тәркибли бәрк фазаларын вәрләгү вә олларын Іашама областлары мүэйжүеләшдирилмишди.

Биринчи дәфә оларыг һолмумун  $\text{HoCo}(\text{BO}_3)_5$  тәркибли икилии бораты алынмыш вә бу бирләшмә ана мәһлүлдан монокристаллар шәклиндә айрылараг тәдгиг едилмишди.

O. A. Aliev, J. I. Zulfugarly, G. A. Guseynova

## PHASE EQUILIBRIUMS IN THE SYSTEM $\text{Ho}_2\text{O}_3$ — $\text{CoO}$ — $\text{B}_2\text{O}_3$ AT 1000°C

Phase equilibriums were studied in the system  $\text{Ho}_2\text{O}_3$ — $\text{CoO}$ — $\text{B}_2\text{O}_3$  at 1000°C by the method of isothermal saturation. The regions of the existence of solid phases:  $\text{HoCo}(\text{BO}_2)_5$ ,  $\text{Ho}_2\text{Co}_3(\text{BO}_3)_4$ ,  $\text{Co}_3(\text{BO}_3)_2$  were described.

For the first time monocristalline state was received and the combination of composition  $\text{HoCo}(\text{BO}_2)_5$  was investigated.

АЗЭРБАЙЧАН ССР ЕЛМЛӘР АКАДЕМИЯСЫНЫН МӘРҮЗӘЛӘРИ

## ДОКЛАДЫ АКАДЕМИИ НАУК АЗЕРБАЙДЖАНСКОЙ ССР

ТОМ XXXIV ЧИЛД

№ 5

1978

УДК 543.544.45

## ХИМИЯ НЕФТИ

АЛИ ОМРАН БЕНДЕР ОГЛЫ, Н. Т. СУЛТАНОВ, Ш. С. АХНАЗАРОВА,  
Ф. Р. БАБАЕВ

## АНАЛИЗ ИНДИВИДУАЛЬНОГО СОСТАВА ОЛЕФИНОВЫХ УГЛЕВОДОРОДОВ $C_5$ — $C_8$ , ВХОДЯЩИХ В СОСТАВ БЕНЗИНА КАТАЛИТИЧЕСКОГО КРЕКИНГА

(Представлено академиком АН Азербайджанской ССР В. С. Алиевым)

Хроматографический анализ продуктов переработки нефти, в частности определение изомерного состава олефиновых углеводородов бензина каталитического крекинга (Б. К. К.) фр. 100—120°C, усложняется

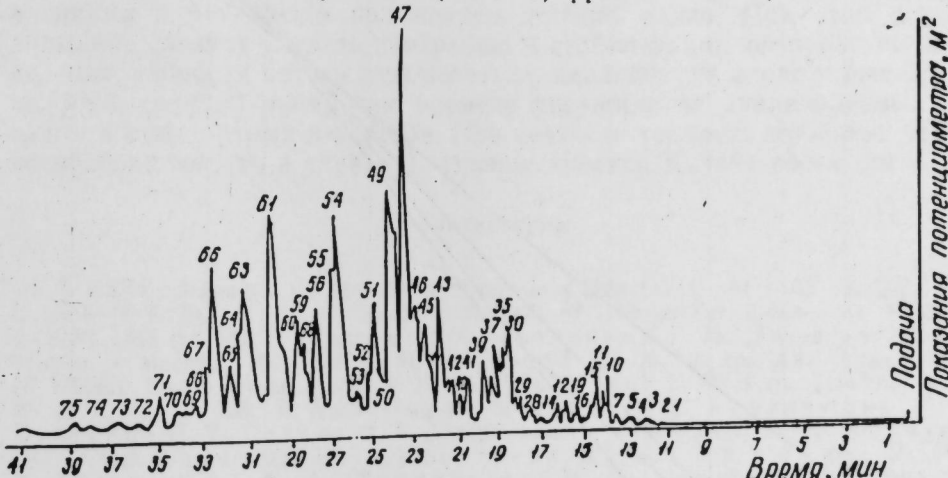


Рис. 1. Хроматограмма олефиновой части фр. 100—120°C: 1—3-метилгексен-1; 2—гептен-1; 3—2,3-диметилпентадиен-1,3; 4—гептен-3 (транс); 5—2-метилгексен-2; 6—2,3-диметилпентен-2; 7—гептен-2 (транс); 8—гептен-2 (цик); 9—2,2-диметилгексен-3; 10—2,4-диметилциклогексен-12—3,3-диметилгексен-1; 13—3,5-диметилгексен-1; 14—2,4-гептен-1; 15—1-этилциклогексен-3; 16—5,5-диметилгексен-2; 17—4,4-диметилгексен-1; 18—2,4-диметилгексен-3 (цик, транс); 19—4,5-диметилгексен-1; 20—4,5-диметилгексен-2; 21—3-метилциклогексен-1; 23—4-метилциклогексен-1; 24—2,4-диметилгексен-2; 25—3-метилгептен-1; 26—этилциклогептен-1; 27—3,4-диметилгексен-1; 28—1,1,2-триметилциклогептен-2; 29—4-метилгептен-1; 30—4-этилгексен-1; 31—5-метилгептен-1; 32—2,5-диметилгексадиен-1,5; 33—6-метилгептен-3 (транс); 34—метилциклогексен; 35—6-метилгептен-3 (цик); 36—3-этилгексен-3; 37—6-метилгептен-2; 38—5-метилгептен-2; 40—2-метилгептен-1; 41—2-этилгексен-1; 42—3-этилгексен-2 (цик, транс); 43—3-метилгептен-2; 45—2-метилгептен-2; 46—октен-3 (транс); 49—октен-4 (транс); 53—1,2,3-триметилциклогептен-1; 54—октен-2 (транс); 55—4,4-диметилциклогексен-1; 56—октен-2 (цик); 57—2,5,5-триметилгексен-2; 58—2,4,5-триметилгексен-2; 59—3,3-диметилгептен-1; 60—2,6-диметилгептен-3; 61—4,4-диметилгептен-1; 62—2,4-октадиен; 63—4,4,5-триметилгексен-1; 64—1,3-димециклогексен-1; 65—4-пропициклогептен; 66—3-метилоктен-1; 68—4-метилоктен-2; 70—7-метилоктен-1; 71—1,4-диметилциклогексен-1; 72—4-этилгептен-3; 73—4-метилоктен-4; 74—3-этилгептен-3; 11, 22, 39, 44, 47, 48, 50, 51, 52, 67, 69, 75—неидентифицированные компоненты

присутствием углеводородов парафинового и нафтенового характера, а также некоторых ароматических углеводородов состава  $C_6$ ,  $C_7$  и  $C_8$ .

Одним из новых методов, используемых при анализе олефинсодержащих систем, является жидкостная хроматография на силикагеле с применением люминесцирующих индикаторов [1—2]. Небольшая проба, содержащая следы комплексного индикатора, вносится в колонку, заполненную активированным силикагелем, а затем вытесняется спиртом. Углеводороды при движении по силикагелю разделяются на насыщенные, олефины и ароматические. Люминесцирующие индикаторы также избирательно адсорбируются, и в ультрафиолетовом свете становятся видимыми границы между разделившимися углеводородами разных групп.

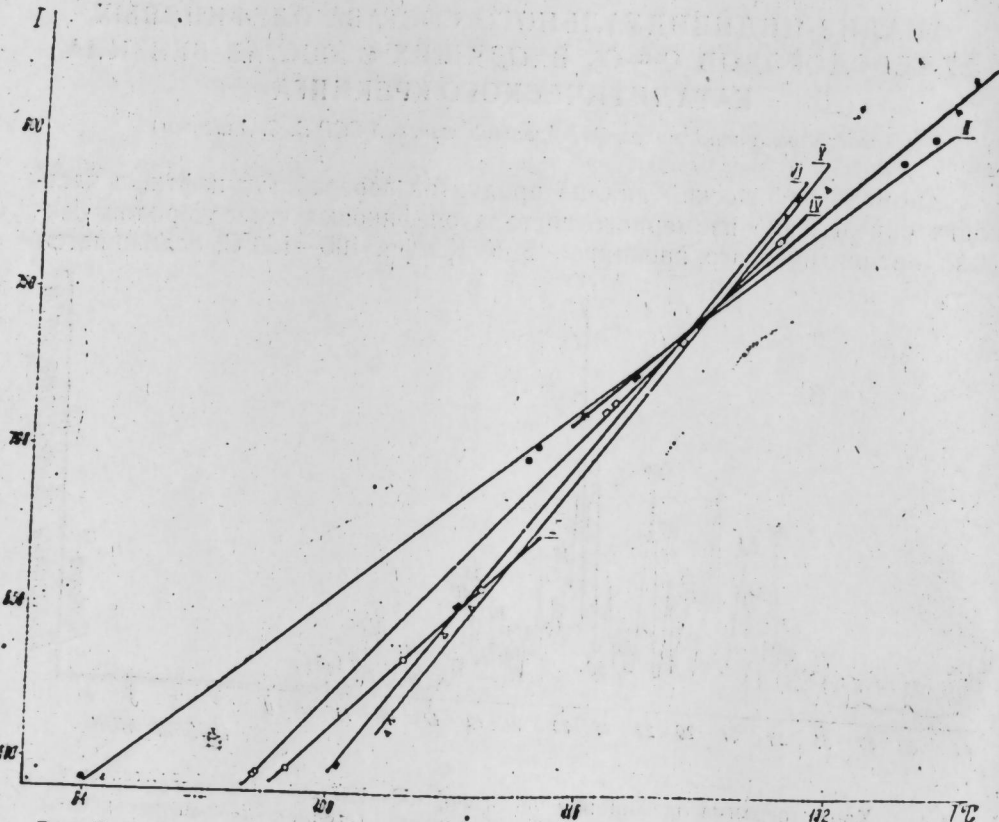


Рис. 2. Зависимость величин  $J$  некоторых олефиновых углеводородов  $C_5-C_8$  от температуры кипения:  
I—2,3- $H_2C_5$ -2; 5,5- $H_2C_6$ -2; 4,5- $H_2C_6$ -2; II—3- $MC_6$ -1; 4- $MC_7$ -1; 5— $MC_7$ -1; 2- $MC_7$ -1; 3— $MC_7$ -2; 4- $MC_8$ -2; V—3,3- $M_2C_6$ -1; 3,5- $M_2C_6$ -1; 4,4- $M_2C_6$ -1; 4,5- $M_2C_6$ -1; 4,4- $M_2C_7$ -1; 3,3- $M_2C_7$ -1; VI—2,4- $M_2C_6$ -3; 2,2- $M_2C_6$ -3; 2,6- $M_2C_7$ -3

Объемные проценты того или иного типа углеводородов определяются относительным объемом каждой зоны в узкой части колонки.

Ранее [6] сообщалось об использовании для анализа крекинга бензинов специального синтезированного индикатора, позволяющего четко разграничивать зоны парафино-нафтеновых, олефиновых и ароматических углеводородов в видимом свете без применения ультрафиолетового.

В данной статье приводятся результаты исследования индивидуального состава концентратов олефиновых углеводородов, выделенных из бензина каталитического крекинга фр. 100—120°C методом [1—5] с последующим детальным анализом капиллярной газожидкостной хроматографией (КГЖХ).

Определение олефиновой части осуществлялось на капиллярном хроматографе с пламенно-ионизационным детектором. Использовалась

колонка из меди длиной 150 м ( $d=0,25$  мм). Неподвижная фаза—сквалан, газ-носитель—азот.

На рис. 1 приведена хроматограмма концентрата олефиновых углеводородов фр. 100—120°C (Б. К. К.; сквалан, 70°C).

Качественная расшифровка осуществлялась с помощью индивидуальных олефиновых углеводородов, имеющихся в распоряжении авторов, при соответствии рассчитанных значений индексов Ковача «I» имеющимся литературным данным [7, 8], а также широким использованием различных графических построений [6].

Как известно, алкановые углеводороды в общем случае не дают однозначной зависимости в координатах  $\lg \tau_{\text{отн}}$  и  $t_k$ , где  $\tau_{\text{отн}}$ —относительное время удерживания углеводорода,  $t_k$ —его температура кипения [9]. При использовании высокоеффективных капиллярных колонок изоалкановые углеводороды также отображаются рядом параллельных прямых, положение которых определяется структурой разветвленной углеродной цепочки [10, 11].

Исходя из рис. 2, можно сказать, что использование неполярного сквалана в качестве неподвижной жидкой фазы дает разные зависимости удерживания олефиновых углеводородов с различными разветвлениями и различным положением двойной связи. При этом особое внимание следует уделить измерению и стабилизации температуры разделения, скорости потока газа-носителя, давлению на входе и выходе из колонки, точному измерению времени удерживания анализируемых веществ и стандартных и-алканов. При точности терmostатирования  $\pm 1^\circ\text{C}$  воспроизводимость в случае измерения индекса Ковача составляет  $\pm 1$ .

#### Литература

1. ASTM Standards on Petroleum Products & Lubricants, vol 1 37 ed. Oct. 1960 D 1319—60 T, 700.
2. Indian Standards Methods of Test for Petroleum & Its Products is 1960, 1448 (р), 161.
3. Жоров Ю. М., Панченков Г. М. „Химия и технология топлив и масел“, 1965, № 12, 51.
4. Жоров Ю. М. и др. Авг. свид. СССР № 165567. Бюлл. изобр., 1964, № 19.
5. Панченков Г. М. и др. „Нефтехимия“, 1964, № 1, 128.
6. Али Омран Бендер оғлу, Арутсамова Л. Г., Султанов Н. Т., Бабаев Ф. Р. „Азерб. хим. ж.“, 1977, № 1, 129.
7. Kovats E. Helv. Chim. Acta, 41, 1958, 1915.
8. Леонтьева С. А. Автореф. канд. дисс. М., 1967.
9. Жуховицкий А. А., Туркельтауб Н. М. Газовая хроматография. М., Гостоптехиздат, 1962.
10. Brown I. Austr. J. Appl. Sci., 11, 1960, 403.
11. Сидоров Р. И., Иванова М. Р. Нефтехимия. 1967, № 4.

ИНХП им. Ю. Г. Мамедалиева, АГУ им. С. М. Кирова

Поступило 10. XI 1977

Эли Омран Бендер оғлу, Н. Т. Султанов, Ш. С. Һагиәзрова, Ф. Р. Бабаев

#### КАТАЛИТИК КРЕКИНГ БЕНЗИНИНДЭ ОЛАН $C_5-C_8$ ОЛЕФИН ҚАРБОНИД-РОКЕНЛӘРИНИН ФӘРДИ ТӘРКИБ АНАЛИЗИ

Каталитик крекинг бензининде олан  $C_5-C_8$  олефин карбоидрокенләринин фәрди тәркиби тәддиг едилемишdir.

Ишдә капилляр колонкадан (150 мм  $\times$  0,25 мм) вә маје фаза кими скваландан истифадә едилемишdir.

Карбоидрокенләр учун Ковача көрә сахланма индексләринин (J) несабланмасы көстәрмишdir ки, мұхтәлиф шахәләимә дәрәчәсінә малик олан вә икигат рабитонин мұхтәлиф вәзијәтләрдә олдуғу карбоидрокенләр J— $t_k$  координат системинде дүз хәттәр дәстасын верир (J—компонентни логарифмик сахланма индекси  $t_k$ —онун гајнама температурасы).

Бу хәтләрин вәзијәти шахәләниш карбон зәнчириинин гүрулушу илә мүәjjән олунур.

All Omran Bender Ogly, N. T. Sultanov,  
Sh. S. Akhınazarova, F. R. Babaev

## ANALYSIS OF INDIVIDUAL COMPOSITION OF C<sub>6</sub>-C<sub>8</sub> OLEFINIC HYDROCARBONS IN CATALYTIC GASOLINE

The study of individual composition of C<sub>5</sub>–C<sub>8</sub> olefinic hydrocarbons isolated from catalytic gasoline fraction 100–120°C by liquid-displacement chromatography on gild chromatography in capillary column (150m×0,25mm) using squalane as a liquid phase.

The results of Kovach retention indices ( $I$ ) calculation for these hydrocarbons show that the olefinic hydrocarbons with various branching and double bond position give a series of lines in  $I$  and  $t_k$  coordinates (where  $I$  is the logarithmic retention index of a component and  $t_k$  is its bolling point) the position of which is determined with the structure of branched carbon chain.

АЗЭРБАЙЧАН ССР ЕЛМЛІР АКАДЕМИЯСЫНЫН МАГУЗАЛАРЫ

# ДОКЛАДЫ АКАДЕМИИ НАУК АЗЕРБАЙДЖАНСКОЙ ССР

Том XXXIV Чилд

№ 5

1978

УДК 547.431.4:496.3

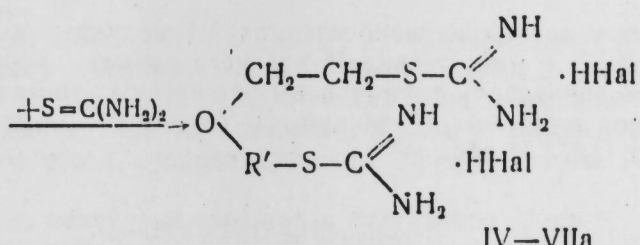
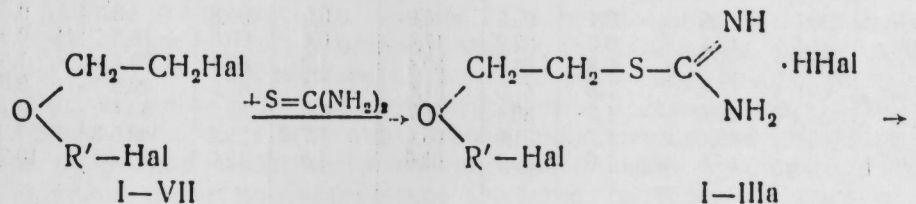
ОРГАНИЧЕСКАЯ ХИМИЯ

Член-корр. АН АЗЕРБ. ССР М. М. МОВСУМЗАДЕ, В. М. ФЕДОСЕЕВ,  
М. А. СЕИДОВ, М. Н. СЕМЕНЕНКО, П. А. ГУРБАНОВ, Г. Х. ХОДЖАЕВ

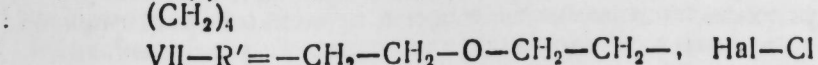
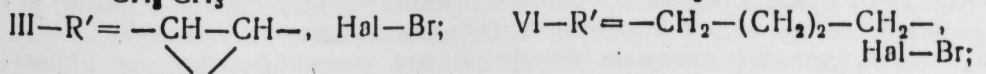
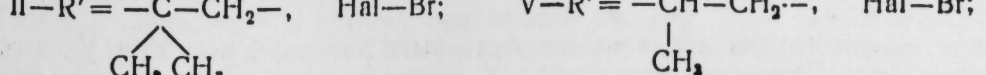
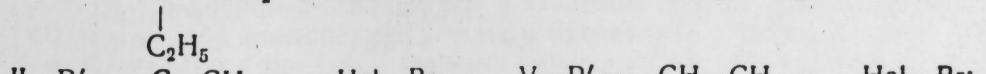
## ВЗАИМОДЕЙСТВИЕ НЕКОТОРЫХ ДИГАЛОГЕНЦИАЛКИЛОВЫХ ЭФИРОВ С ТИОМОЧЕВИНОЙ

Ранее нами [1] описаны удобные методы получения дигалогеналкиловых эфиров, а также их реакции с некоторыми нуклеофильными реагентами [2, 3].

Исследование взаимодействия этих соединений с тиомочевиной предпринято с целью выяснения влияния строения исходного эфира на состав и скорость образования продуктов реакции и последующего изучения биологических свойств новых тиурониевых соединений. Все реакции проводились в этаноле при 78°. Протекают они, вероятно, согласно схеме



$$\text{I}-\text{R}' = -\text{CH}-\text{CH}_2-, \quad \text{Hal-Br, Cl}; \quad \text{IV}-\text{R}' = -\text{CH}_2-\text{CH}_2-, \quad \text{Hal-Br};$$



При введении в реакцию эфиров I—III продуктами реакции являются только монотиурониевые производные Ia, IIa, IIIa, что указывает на значимость пространственных факторов при нуклеофильном замещении атома брома. В случае эфиров IV—VII возможно образование дитиурониевых производных IVa—VIIa.

Для определения состава реакционной смеси в зависимости от строения исходного эфира и времени протекания реакции с помощью тонкослойной радиохроматографии изучено взаимодействие эфиров I (а, б, аг) с тиомочевиной- $S^{35}$  в эквимолярных соотношениях ( $C_0 = 0,1$  моль/л,  $C_2H_5OH$  абс.,  $65^\circ$ ).

Результаты, приведенные в табл. 1, служат количественным подтверждением того, что пространственные затруднения делают практически невозможным образование дитиурониевого производного; в случае же их отсутствия наблюдается постепенное "увеличение концентрации последнего в зависимости от времени.

Таблица 1  
Количественная оценка состава реакционной смеси при взаимодействии некоторых дигалогенэфиров с тиомочевиной- $S^{35}$  в зависимости от времени протекания реакции ( $C_0 = 0,1$  моль/л,  $C_2H_5OH$  абс.,  $65^\circ$ )

Время, ч	Исходный эфир		$\text{Br}-\text{CH}_2-\text{CH}_2-\overset{\text{R}}{\underset{\text{R}'}{\text{O}}} \text{C}-\text{CH}_2-\text{Br}$						
	$R=H, R'=C_2H_5$		$R=R'=CH_3$			$R=R'=H$			
	TM	Монотиуроний	Дитиуроний	TM	Монотиуроний	Дитиуроний	TM	Монотиуроний	Дитиуроний
0,10	96,1	3,5	0,4	95,3	4,2	0,5	94,8	4,6	0,6
0,50	84,1	15,3	0,6	82,2	17,4	0,4	80,6	18,5	0,9
1,10	65,2	34,0	0,8	68,3	30,4	1,3	69,1	29,4	1,5
2,60	42,6	55,9	1,5	47,5	51,4	1,4	47,6	49,9	2,5
4,35	33,1	65,6	1,3	36,4	61,7	1,9	32,8	63,1	4,1
5,85	30,9	67,4	1,7	31,9	66,4	1,7	22,6	69,5	7,9
7,35	29,1	69,3	1,6	30,1	68,6	1,3	12,6	76,7	10,7

В тех же условиях изучено взаимодействие указанных эфиров с тиомочевиной- $S^{35}$  в присутствии 15-кратного избытка дигалогенидов. По изменению концентрации тиомочевины рассчитаны константы скорости псевдомономолекулярных реакций ( $C_0\text{TM} = 0,1$  моль/л,  $C_0\Theta = 1,5$  моль/л,  $C_2H_5OH$  абс.,  $65^\circ$ ).

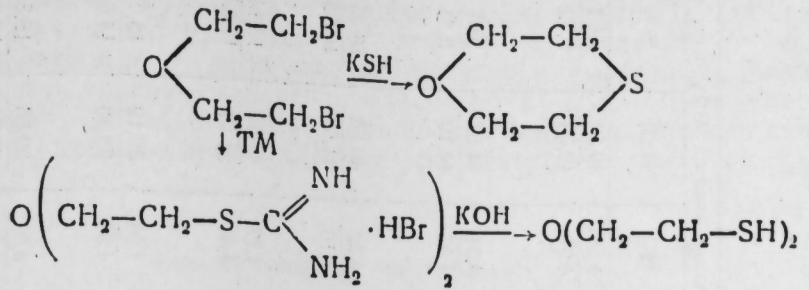
Исходный эфир	$\text{Br}-\text{CH}_2-\text{CH}_2-\overset{\text{R}}{\underset{\text{R}'}{\text{O}}} \text{C}-\text{CH}_2-\text{Br}$	$k, \text{ч}^{-1}$
Ia	$R=R'=CH_3$	$0,153 \pm 0,003$
Iб	$R=H, R'=C_2H_5$	$0,155 \pm 0,002$
Iг	$R=R'=H$	$0,153 \pm 0,002$

Совпадение в пределах ошибки опыта значений констант указывает, что нуклеофильное замещение брома происходит у атомов углерода, не имеющих в  $\alpha$ -положении алкильных заместителей.

Совпадение в пределах ошибки опыта значений констант указывает, что нуклеофильное замещение брома происходит у атомов углерода, не имеющих в  $\alpha$ -положении алкильных заместителей.

От полученных моно- и дитиурониевых производных действием спиртовой щелочи оказалось возможным перейти к соответствующим тиолам. Эта реакция представляет определенный интерес, так как при росульфидом калия в качестве основного продукта образуются в основном соответствующие циклические продукты—1-окса-4-тиоцикло-

тиканы [4]:



### ЭКСПЕРИМЕНТАЛЬНАЯ ЧАСТЬ

1. **Дигидробромид s,s-3-оксапентан-1,4-диизотиомочевины (IVa);** Смесь 29,6 г (0,39 г·моля) тиомочевины и 46,4 г (0,2 г·моля) бромэтекса нагревали в абсолютном этаноле с обратным холодильником в течение 6 ч. Раствор концентрировали в вакууме, выпавшие кристаллы отфильтровывали, промывали ацетоном и эфиром и перекристаллизовывали из этанола. Аналогично синтезировали соединения IIa, IIIa, Va—VIa. Выходы, свойства и результаты элементного анализа полученных тиурониевых солей IIa—VIa приведены в табл. 2.

2. **Дигидрохлорид s,s-3,6-диоксаоктан-1,8-диизотиомочевины (VIIa).** К раствору 18,6 г (0,1 г·моля) 1,8-дихлор-3,6-диоксактана в абсолютном этаноле добавляли 13,5 г (0,18 г·моля) тиомочевину. Смесь после кипячения в течение 70 ч упаривали в вакууме досуха, а остаток растворяли в минимальном количестве воды. Затем добавляли избыток насыщенного водного раствора пикриновой кислоты и осаждали пикрат. Осадок отфильтровывали и обрабатывали 20%-ной соляной кислотой. После отфильтровывания пикриновой кислоты раствор упаривали в вакууме и остаток обрабатывали эфиром и ацетоном. Получали белое кристаллическое вещество, свойства которого приведены в табл. 2.

3. **3-окса-1,5-пентандитиол (IVb).** К спиртовому раствору 20,6 г (0,05 г·моля) дигидробромида s,s-оксапентан-1,5-диизотиомочевины добавляли раствор 11,2 г (0,2 г·моля) KOH в этаноле. Осадок KBr отфильтровывали, раствор концентрировали в вакууме и перегоняли в атмосфере азота, собирая фракцию, кипящую при 82—84°C/6 мм рт. ст.

Выходы, некоторые свойства и результаты элементного анализа полученных оксатиолов IIb, IVb, Vb, VIb приведены в табл. 3.

4. **3-окса-1-бром-2-этилпентандитиол (Ib').** К 17 г (0,06 г·моля) 3-окса-1,5-дибром-2-этилпентана в этиловом спирте добавляли 4,56 г (0,06 г·моля) тиомочевину, и смесь нагревали в течение 20 ч. По окончании реакции (отсутствие тиомочевины на хроматограмме) раствор упаривали, и к остатку прибавляли раствор 6,7 г (0,12 г·моля) KOH в 20 мл этанола. После отделения осадков KBr раствор концентрировали в вакууме, насыщали NaCl и экстрагировали тиол эфиром. Экстракт высушивали, удаляли растворитель, и остаток перегоняли в атмосфере азота, собирая фракцию, кипящую при 84—85°C/2 мм рт. ст. Свойства и результаты элементного анализа полученного вещества приведены в табл. 3. Аналогично из 3-окса-1,5-дихлор-2-этилпентана получен соответствующий тиол Iб'.

5. **Хроматографический контроль и проведение радиохроматографических исследований.** Качественный контроль за составом реакционной смеси осуществлялся методом тонкослойной хроматографии на пластинках Silufol. Пластинки проявляли в выбранной системе, и осуществляли фиксацию продуктов реакции Грота [5]. Для

Таблица 2

Продукты взаимодействия дигалогенефириров с тиомочевиной

Соединение	R'	X	Y	Выход, %	Т. пл., °C	Элементный анализ, найд./выч.			
						C	H	Hal	S
Гидробромид S-3-окса-1-бром-2,2-диметилпентан-5-изотиомочевины	$\begin{array}{c} \text{—C—CH}_2— \\ \diagdown \quad \diagup \\ \text{CH}_3 \quad \text{CH}_3 \end{array}$	Br	Br	91	143—144	$\frac{22,32}{22,70}$	$\frac{4,58}{4,91}$	$\frac{49,32}{49,08}$	$\frac{9,08}{9,52}$
Гидробромид S-2-(изотиомочевиногидрокси)-1-бромциклогексан	$\begin{array}{c} \text{—CH}_2—\text{CH}_2— \\   \\ (\text{CH}_2)_4 \end{array}$	Br	Br	84	138—140	$\frac{29,14}{29,56}$	$\frac{5,21}{4,97}$	$\frac{44,67}{44,19}$	$\frac{9,01}{8,84}$
Дигидробромид S, S-3-оксапентан-1,5-дизотиомочевины	$\begin{array}{c} \text{—CH}_2—\text{CH}_2— \\   \\ \text{CH}_3 \end{array}$	Br	$\begin{array}{c} \text{—S—C—NH} \\ \diagdown \quad \diagup \\ \text{NH}_2 \quad \text{NH}_2 \end{array}$ · HBr	73	153—155	$\frac{19,24}{18,75}$	$\frac{4,52}{4,16}$	$\frac{40,88}{41,66}$	$\frac{16,23}{16,86}$
Дигидробромид S, S-3-оксапентан-1,5-дизотиомочевины	$\begin{array}{c} \text{—CH}_2—\text{CH}_2— \\   \\ \text{CH}_3 \end{array}$	Br	$\begin{array}{c} \text{—S—C—NH} \\ \diagdown \quad \diagup \\ \text{NH}_2 \quad \text{NH}_2 \end{array}$ · HBr	65	91—93	$\frac{18,84}{19,07}$	$\frac{4,27}{4,64}$	$\frac{41,52}{21,24}$	$\frac{16,14}{16,08}$
Дигидробромид S, S-3-оксагептана-1,7-дизотиомочевины	$\begin{array}{c} \text{—CH}_2—(\text{CH}_2)_2—\text{CH}_2— \\   \\ \text{CH}_3 \end{array}$	Br	$\begin{array}{c} \text{—S—C—NH} \\ \diagdown \quad \diagup \\ \text{NH}_2 \quad \text{NH}_2 \end{array}$ · HBr	68	105—107	$\frac{23,11}{23,30}$	$\frac{4,98}{4,86}$	$\frac{39,12}{38,83}$	$\frac{15,01}{15,56}$
Дигидробромид S, S-3,6-диоксаоктан-1,8-дизотиомочевины	$\begin{array}{c} \text{—CH}_2—\text{CH}_2—\text{C—CH}_2— \\   \\ \text{CH}_2 \end{array}$	Cl	$\begin{array}{c} \text{—S—C—NH} \\ \diagdown \quad \diagup \\ \text{NH}_2 \quad \text{NH}_2 \end{array}$ · HCl	51	107—110	$\frac{28,16}{28,01}$	$\frac{6,01}{5,90}$	$\frac{20,56}{20,94}$	$\frac{18,36}{18,88}$

радиохроматографических исследований использовали 0,1 M раствор тиомочевины  $\text{S}^{35}$  в абсолютном этаноле с удельной активностью 0,1 мкюри/мл, что позволяло при времени счета образца 1 мин поддерживать точность измерения в пределах 2—3%. Измерение радиоактивности осуществлялось с помощью сцинтиляционного счетчика Mark-II (Nuclear-Chicago, США) с эффективностью счета по  $\text{S}^{35}$  90%.

Таблица 3

Синтезированные оксатиолы  $\text{O} \begin{array}{c} \text{CH}_2—\text{CH}_2 \text{ SH} \\ \diagdown \quad \diagup \\ \text{R}'—\text{X} \end{array}$

Соединения	R	X	Элементный анализ, найд./выч.							
			Выход, %	Т. кип., °C	$n_{\text{D}}^{20}$	$r_4^{20}$	C	H	Hal	
3-окса-1-бром-2-этил-5-пентантиол 16	$\begin{array}{c} \text{—CH—CH}_2— \\   \\ \text{C}_2\text{H}_5 \end{array}$	Br	58	84—85/ 2 мм	1,5005	1,3614	34,21 33,80	5,72 6,10	37,38 37,56	14,91 15,02
3-окса-1-хлор-2-этил-5-пентантиол 16	$\begin{array}{c} \text{—CH—CH}_2— \\   \\ \text{C}_2\text{H}_5 \end{array}$	Cl	51	78—80/ 4 мм	1,4755	1,0756	43,15 42,86	8,05 7,74	20,57 20,83	19,26 19,05
3-окса-1-бром-2,2-диметил-5-пентантиол	$\begin{array}{c} \text{—C—CH}_2— \\ \diagup \quad \diagdown \\ \text{CH}_3 \quad \text{CH}_3 \end{array}$	Br	62	76—78/ 4 мм	1,5036	1,3530	33,97 33,80	5,89 6,10	37,31 37,56	15,31 15,02
3-окса-1,5-пентандитиол	$\begin{array}{c} \text{—CH}_2—\text{CH—} \\   \\ \text{CH}_2 \end{array}$	SH	52	82—84/ 6 мм	1,5205	1,1040	35,16 34,77	6,96 7,25	— —	46,12 46,38
3-окса-2-метил-1,5-пентандитиол	$\begin{array}{c} \text{—CH—CH}_2— \\   \\ \text{CH}_3 \end{array}$	SH	60	71—72/ 2 мм	1,5085	1,0688	39,11 39,48	7,53 7,89	— —	41,86 42,11
3-окса-1,7-гептандитиол	$\begin{array}{c} \text{—CH}_2—(\text{CH}_2)_5 \\   \\ \text{CH}_2 \end{array}$	SH	44	102—104/ 5 мм	1,5075	1,0442	43,04 43,37	8,22 8,43	— —	38,16 38,55

Для приготовления сцинтиляционной жидкости в 1 л сцинтиляционного толуола растворяли 5 г 2,5-дифенилоксазола (PPO) и 0,1 г 1,4-ди-(2,5-фенил)оксазалилбензола (POPOP). Специальным опытом установлено отсутствие на хроматограммах соединений, содержащих радиоактивную сферу и не фиксируемых реагентом Грота.

Константа скорости реакции определена по формуле расчета константы скорости реакции первого порядка  $\kappa = \frac{1}{t} \ln \frac{a}{a-x}$ , где  $a$  — начальная концентрация тиомочевины,  $a(a-x)$  — концентрация в момент времени  $t$ .

Для конкретных расчетов формулу преобразовывали:

$$\kappa = \frac{1}{t} 2,3 \lg \frac{1}{\% \text{ TM}}$$

В каждом опыте проведено по 24 измерения. Определяли отдельное значение  $\kappa_i$  и среднеарифметическое значение  $\bar{\kappa}$ . Рассчитав среднеквадратичное отклонение  $s_0 = \sqrt{\frac{\sum (\kappa_i - \bar{\kappa})^2}{n-1}}$  по критерию Стьюдента для данного числа степеней свободы и доверительной вероятности 0,95:

$$\bar{\kappa} - t(s, p)s_0 \leq \kappa \leq \bar{\kappa} + t(s, p)s_0$$

устанавливали, имеются ли среди рассчитанных значений  $\kappa$ , грубые ошибки. Ошибку в определении  $\bar{\kappa}$  находили по формуле  $\Delta = \pm \frac{s_0}{\sqrt{n}}$ .

Каждый кинетический опыт повторяли до двух сходящихся результатов. Окончательное значение константы скорости получали как среднее из найденных значений в каждом опыте с учетом числа измерений, проделанных в каждом случае.

Чистоту выделенных тиолов контролировали газожидкостной хроматографией с использованием прибора ЛХМ-7А; детектор — катарометр, 200°C, длина колонки 6 м, диаметр 6 мм, наполнитель — апей-зон-*L*, нанесенный на инертный носитель ТНД-ТС-М, газ-носитель — водород.

### Выводы

1. При взаимодействии ряда дигалоидэфиров с тиомочевиной установлено, что в зависимости от строения исходных эфиров образуются моно- или дитиурониевые соли.

2. Методом тонкослойной радиохроматографии изучена кинетика взаимодействия бромэкса, диметилбромэкса и этилбромэкса и показано, что замещение галогена происходит в незамещенной цепи дигалоидэфира.

3. Щелочным расщеплением образующихся тиурониевых солей получены соответствующие оксатиолы.

### Литература

1. Мовсумзаде М. М., Шабанов А. Л., Мовсумзаде С. М., Гурбанов П. А. "Ж. органич. хим.", 7, 1971, 1106.
2. Мовсумзаде М. М., Шабанов П. А., Мурадова Ш. Авт. свид. № 955143. Бюлл. изобр. идент. М. А. ДАН Азерб. ССР", XXXIII, 1977, № 7.
3. Мовсумзаде М. М., Гурбанов П. А., Ходжаев Г. Х., Секанд. дисс. Баку, 1976.
4. Аскеров Н. Д. Автореф. Изд-во иностр. лит., 1962.
5. Хайс И. М., Мацек К. Хроматография на бумаге. М..

АЗИИЕФТЕХИМ им. М. Азизбекова,  
МГУ им. М. В. Ломоносова

Поступило 28. XII 1977

М. М. Мовсумзаде, В. М. Федосеев, М. А. Сеидов,  
М. Н. Семененко, П. А. Гурбанов, Г. Х. Хочаев

### БЭ'ЗИ ДИАЛОКЕНДИАЛКИЛ ЕФИРЛЭРИН ТИОКАРБАМИДЛЭ ГАРШЫЛЫГЛЫ ТЭ'СИРИ

Мэгэлэ дигалокенефирлэрин тиокарбамидалэ гаршылыглы тэ'сиринэ юэр сэдилшидир. Реакција пэтничесинде илкни дигалокенефирлэрин гуруулушундан асылы ола-раг моно- вэ дитиурониум дузларынын эмэлэ кэлдиж көстэрилмиш, реакцијанын кинетикасы өврэндлишидир. Ыамин дузларын гэлэвилэрэ парчаламасы пэтничесинде тиоспиртлэрин эмэлэ кэлдиж аждынлашдырылышдир.

M. M. Movsumzade, V. M. Fedoseev, M. A. Seidov,  
M. N. Semenenko, P. A. Gurbanov, G. H. Khojaev

### INTERACTION BETWEEN SOME DIHALOGENESTERS AND THIOUREA

It has been found that reaction between 2,2'-dihalogenodialkyl esters and their depending on the structure of initial ester results to mono or dithiourea salts.

АЗЭРБАЙЧАН ССР ЕЛМЛЭР АКАДЕМИЈАСЫНЫН МӘРҮЗӘЛӘРИ

ДОКЛАДЫ АКАДЕМИИ НАУК АЗЕРБАЙДЖАНСКОЙ ССР

ТОМ XXXIV ЧИЛД

№ 5

1978

УДК 549.614(479.24)

МИНЕРАЛОГИЯ

И. А. БАБАЕВ

### НАХОДКА СФЕРОЛИТОВ ТОПАЗА В АЗЕРБАЙДЖАНЕ

(Представлено академиком АН Азербайджанской ССР А. Д. Султановым)

В настоящей статье приводятся результаты химико-минералогических исследований впервые обнаруженных сферолитовых образований топаза из метасоматитов Алунитдага Дашкесанского рудного поля.

Химико-минералогическая и геолого-петрографическая характеристики гидротермально-метасоматических пород алунитового, алунит-пирофиллитового, каолинитового месторождений Дашкесанского рудного поля даны в работах [2, 5—7 и др.]. Сведения о топазе из алунитовых и других месторождений Азербайджана в литературе отсутствуют. Топаз размером 0,1—0,2 мм и менее из вторичных кварцитов Тоганалы-Чирагидзорского и Кедабекского районов упоминается лишь в [1 и 9].

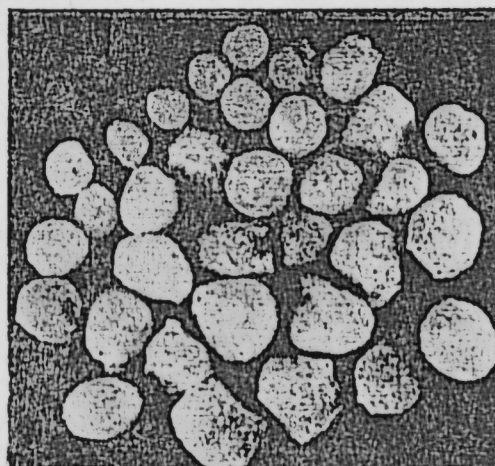


Рис. 1. Сферолиты топаза; а—под бинокулярной лупой (увел. 8); б—под микроскопом; видны крестообразные и хлопьевидные структуры топаза (ник. +, увел. 55)

Сферолитовые формы выделения топаза в природе довольно редки. Такие формы встречены в Карадубском и Олонойском оловорудных месторождениях Малого Хингани И. Г. Ивановой. В Азербайджане подобные формы геологических образований характерны лишь для некоторых минералов и пород, в частности для хромшипелида, магнетита, мушкетовита, пирита, сферолита в перлитах, обсидианах и др. Все многообразие сферических образований, их номенклатура и генезис рассмотрены в работе [4]. Генетические стороны сферолитов топаза нами не затрагиваются.

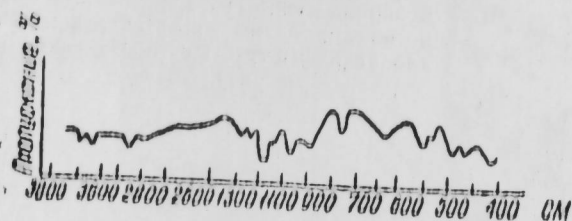
Алунитдагское месторождение алунита находится на северном крыле Дашкесанской синклинали, где топазсодержащие породы расположены в виде прослоя мощностью 3 м в верхней части сильно измененной (алунитизированной, каолинитизированной, пирамитализированной) вулканогенной толщи кимериджа. Здесь топаз размером 1—2 мм в виде сферолитов (рис. 1) встречается в различных парагенетических ассоциациях и процентных соотношениях с диаспором,

кварцитом, диккитом, пирофиллитом, серицитом, кварцем, гематитом, местами с алюнитом, среди глиноидобных метасоматических пород. Цвет его белый, иногда голубой. Содержание в породе в среднем около 20%, в отдельных случаях 40% и более. Топазсодержащая порода имеет порфиробластическую структуру. Между порфиробластами сферолитов топаза располагаются диаспор, пирофиллит и калинит. Под микроскопом сферолиты имеют радиально-лучистое строение.

В скрещенных николях наблюдаются кресты угласания, встречаются хлопьевидные скопления (рис. 1). Под электронным микроскопом (увел. 4500 раз) видны осколки темных и серых пластинок неопределенной формы.

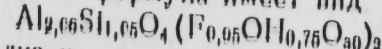


Рис. 1. Кресты угласания в топазе из Алунгедагского месторождения алюнита



Выполненный в ИГБМ АН СССР (аналитик Васильев) химический анализ извлеченного из породы сферолита топаза дал следующие результаты (вес. %):  $\text{SiO}_2=33,49$ ;  $\text{TiO}_2=\text{не обн.}$ ;  $\text{Al}_2\text{O}_3=56,90$ ;  $\text{Fe}_2\text{O}_3=0,04$ ;  $\text{MgO}=\text{не обн.}$ ;  $\text{CaO}=\text{не обн.}$ ;  $\text{Na}_2\text{O}=0,05$ ;  $\text{K}_2\text{O}=0,21$ ;  $\text{F}=0,70$ ;  $\text{H}_2\text{O}^+=3,68$ ;  $\text{H}_2\text{O}^-=-0,21$ ; сумма  $104,94=\text{O} \approx \text{F}$  ( $4,10=100,24$ ).

Кристаллохимическая формула имеет вид



Химический анализ и кристаллохимическая формула минерала указывают на незначительное повышение содержания Al и Si, что, по-видимому, объясняется присутствием примеси диаспера и кварца в сферолите топаза, а также недостатком F и H<sub>2</sub>O.

ИК-спектры сняты Х. И. Махмудовым в Институте геологии АН Азербайджанской ССР на спектрометрах UR-20 (рис. 2). Интенсивные полосы при 480, 505, 615, 710, 870 и 1180  $\text{cm}^{-1}$  связаны с колебанием атомов в тетраэдрах  $\text{SiO}_4$ , соединенных в решетку силиката. Полоса при 480  $\text{cm}^{-1}$  обусловлена колебанием связей Al=O. Спектры

с частотами 3680  $\text{cm}^{-1}$  показывают, что в кристаллической решетке содержатся гидроксильные группы с разной водородной связью. Полученные нами результаты в основном совпадают с данными справочника [3].

На произведенной И. Дж. Алиевым в Институте геологии АН Азербайджанской ССР дифрактограмме исследованного минерала отмечены следующие линии: 20—4,493; 70—3,672; 5—3,561; 100—3,187; 30—3,026; 30—2,979; 90—2,927; 25—2,479; 15—2,384; 40—2,364; 10—2,310; 5—2,241; 10—2,201; 15—2,167; 10—2,126; 55—2,104; 60—2,058; 10—1,993; 10—1,902; 20—1,865; 10—1,823; 5—1,778; 25—1,671; 10—1,655; 15—1,622; 10—1,602; 15—1,528; 20—1,464; 10—1,447.

Наблюдаемые парагенезисы топаза с диаспором, пирофиллитом, калинитом, кварцем свидетельствуют о том, что они, видимо, образовались в кислой среде в интервале температур 250—400°C.

## Литература

- Алиев В. И. Околорудные гидротермально-метасоматические изменения в Чирагидзор-Тоганалинском рудном поле. Изд-во АН Азерб. ССР, 1965.
- Бабаев И. А. Автореф. канд. дисс. Баку, 1963.
- Волдырев А. И. Инфракрасные спектры минералов. М., «Недра», 1970.
- Кашкаев М. А. В сб.: «Проблемы магмы и генезиса в изверженных горных породах». М., Изд-во АН СССР, 1963.
- Кашкаев М. А. Петрология и металлогенesis Дашкесана и других железорудных месторождений Азербайджана. М., «Недра», 1965.
- Кашкаев М. А. Алюниты из генезиса и использования. М., «Недра», 1970.
- Кашкаев М. А., Бабаев И. А. Алюниты Азербайджана. Баку, «Элм», 1976.
- Павлова И. Г. О сферолитовых агрегатах топаза. «Зем. ВМО», ч. 10, вып. 2, 1959.
- Сулейманов С. М., Алиев В. И. Уч. зап. АГУ им. С. М. Кирова, серия геол.-геогр. наук, 1972, № 2.

Институт геологии им. Губкина

Поступило 4. 7. 1978

И. А. Бабаев

## АЗЕРБАЙЧАНДА ТОПАЗ СФЕРОЛИТЛЭРИН ТАҢЫЛМАСЫ

Мөгала Азербайджанда илк дәфә мүэллиф тарафиндан Зајанк алюнит јатагы яхниләртәндәкі Алюнитдаг сағасындаки метасоматитләрдә таңылыш топаз сферолитләрнің кимжын-минераложи тәденигине баер олумышшылар.

И. А. Babayev

## FINDINGS OF TOPAZ SPHEROLITE IN AZERBAIJAN

The results of chemical-mineralogical investigations of spherolite formations of topaz from metasomaticites in Alunite of Dashkasan region, found in Azerbaijan for the first time, are given in the article.

Т. А. ГАСАНОВ

## ТИПОВОЙ РАЗРЕЗ АСРИКЧАЙСКОЙ СВИТЫ В ГЕОСИНКЛИНАЛИИ МАЛОГО КАВКАЗА (АЗЕРБАЙДЖАНСКАЯ ЧАСТЬ)

(Представлено академиком АН Азербайджанской ССР М. М. Алиевым)

Нижнеюрские отложения на М. Кавказе имеют ограниченное распространение (Храмский, Локский и Шамхорский массивы).

Сомхето-Агдамская структурно-фациальная зона охватывает выходы нижне-среднеюрских и меловых отложений, распространенных в северо-восточной части М. Кавказа, с северо-запада граничит с Артвино-Сомхетской глыбой, а с юга-запада — с Севано-Карабахской структурно-фациальной зоной. Асрикчайская свита выделяются в пределах Шамхорского антиклинария, распространяющегося на район выходов нижне-среднеюрских отложений в междуречье Акстафы-Кошкарчая. Юрские отложения давно привлекали внимание многих исследователей своей рудоносностью. По В. Абиху, юрские отложения М. Кавказа делятся на осадочную (верхняя юра) и вулканогенную фацию (средняя юра).

Стратиграфия нижне-среднеюрских отложений Шамхорской подзоны и отдельных ее участков рассматривается в работах К. П. Паффенгольца (1928, 1959), П. С. Бернштейна (1935), И. Н. Ситковского (1935), Ш. А. Азизбекова (1947), Л. Н. Леонтьева (1950), В. Е. Ханина, Р. Н. Абдуллаева (1963), Э. Ш. Шихалибейли (1964), Т. А. Гасанова (1965) и др. Приимаемая в настоящей статье стратиграфическая схема разработана нами [10, 11].

В восточной части М. Кавказа нижнеюрские отложения обнажаются в Шамхорском антиклинарии. Здесь они трансгрессивно с азимутальным и угловым несогласием залегают на нижне-палеозойских метаморфических сланцах и, в свою очередь, трансгрессивно открывают вулканогенными образованиями байоса. Нижнеюрские отложения представлены всеми своими ярусами от геттана до тоара включительно, образуя единый комплекс осадконакопления в виде терригениной фации.

В составе нижне-среднеюрских отложений Сомхето-Агдамской структурно-фациальной зоны выделяются асрикчайская, дзегамчайская, гейгельская и дашкесанская свиты. В настоящей статье приводится характеристика асрикчайской свиты.

Асрикчайская свита (нижняя вулканогенная толща, местами нормальные осадочные породы, геттанг-тоар, К. Н. Паффенгольц, 1931, 1959; толща переслаивающихся туфобрекций, туфов, туффитов и порфиритов, геттанг-тоар, П. С. Бернштейн, 1935; толща порфиритов, туфобрекций, туффитов и кристаллических сланцев, геттанг-тоар, И. Н. Ситковский, 1935; вулканогенная толща, в подчиненном количестве осадочные породы, тоар, Ш. А. Азизбеков, 1934—1952; терригенная толща с мощными базальными конгломератами, геттанг-тоар, Л. Н. Леонтьев, В. Е. Ханин, 1950; геттанг-аллен, Т. А. Гасанов, 1953—1958, геттанг-нижний аллен, Т. А. Гасанов, 1967).

Название свиты происходит от р. Асрикчай, протекающей в южной части Таузского района и впадающей в р. Таузчай [11]. Нижне-

юрские отложения подстилаются сильно дислоцированными метаморфическими сланцами нижнего палеозоя. За типовой принят разрез, обнажающийся в междуречье Асрикчая и Ахинджачая. В асрикчайской свите выделяются следующие ярусы и лоны:

J<sub>1</sub>h (геттанг, Т. А. Гасанов, 1967). 1. У с. Шамлык базальные конгломераты представлены разноразмерными гальками, состоящими из окатанных кварцитов, кварцевых песчаников, гранитоидов, метаморфических сланцев и др. Цементирующим материалом служат белесоватого цвета кварцево-серicitовые песчаники.

У с. Кязымлы в верхах конгломератовой толщи встречаются линзы некарбонатных толстослоистых глинистых сланцев, среди которых сохранились древесные остатки и отпечатки мелких листьев. Мощность 270—300 м.

J<sub>1</sub>S<sub>1</sub> (синемюр, Т. А. Гасанов, 1967). 2. Пачка серых толстослоистых, слабоизвестковых серicitовых туфопесчаников с аммонитами *Arietites* sp. indet., *Vermiceras* sp., *Argioceras* sp. indet., *Cotcniceras* sp. indet., стебли морских лилий и др. Мощность 15 м. Выделяется лона *Arietites*.

3. Песчаники серicitовые. Имеются линзы глинистых песчаников и прослои алевротуффитов.

У с. Беюк Кышлак песчаники содержат *Argioceras abjectum* (*Fusculi*), *Canavarites* sp. indet. Мощность 20 м. Выделяется лона *Argioceras abjectum*.

4. Чередование песчаников и алевритов с преслабланием песчаников, которые по простиранию переходят в туфопесчаники. Обнаружены следующие аммониты: *Microderoceras cf. birchi* (Sow.) и *Vermiceras* sp. indet. Мощность 15 м. Выделяется лона с *Microderoceras birchi*.

J<sub>1</sub>S<sub>2</sub>. Разрез верхнесинемюрских отложений зафиксирован у сел. Беюк Кышлак. В его состав входят:

5. Туфопесчаники хлоритизированные, окварцеваны, толстослоистые, некарбонатные. В верхах содержат из аммонитов *Echiceras declivis* Tugem. et Will., *Eoderoceras* sp. indet., из фораминифер — *Silicina* *Umtata* (Tergq.), *Spirillula* cf. *lasina* Tergq., *S. cf. orbicola* (Tergq. et Bert), *Frondicularia brizaeformis* Bogsp., *Proteonina fusiformis* Will. Мощность 30 м. Выделяется лона *Echiloceras declivis*.

J<sub>1</sub>P<sub>1</sub> (плинсбах, Т. А. Гасанов, 1967). 6. У с. Сафарлы нижне-плинсбахский подъярус выражен известковыми туфопесчаниками, аргиллитами, содержащими из белемнитов *Passaloteuthis apiculifurvata* (Bialynv.), *P. paxillosus* Quenst., из фораминифер — *Rectoglandulina* cf. *oviformis* (Tergq.). Мощность 30 м.

J<sub>1</sub>P<sub>2</sub> 7. У с. Чешмали верхнеплинсбахский подъярус представлен толстослоистыми глинистыми сланцами темно-серого цвета, содержащими многочисленные экземпляры *Arieticeras algolianum* Opp., *Liparoceras henleyi* Sow. Мощность 10 м.

8. Известковистые туфиты, туфопесчаники. Мощность 20 м. Выделяется лона *Arieticeras algolianum*.

Типовой разрез нижне- и среднетоарских отложений находится в бассейне р. Ахинджи у с. Сафарлы.

J<sub>1</sub>t<sub>1</sub>—2 (тоар, Т. А. Гасанов, 1967). 9. Глинистые сланцы плитчатые, с линзами мергелей и известняков с *Mytiloides queilstedti* Peel., *Posidonia buchi* Roem. Из растительных остатков встречается *Zamites gracilis* Quenst. из фораминифер — *Aigulina metensis* Tergq., *Chirodata violacea* Tergq. et Bert., *Trochammina chodzicki* и др. Мощность 20 м. Для верхнего тоара типовым принят разрез у сел. Геяли.

J<sub>1</sub>t<sub>2</sub>. 10. Глинистые сланцы среднеслоистые, комковатые, некарбонатные. Имеются прослои плотных пиритизированных песчаников.

Мощность 30 м. Сланцы в низах содержат *Grammoceras thouarsense* (Orb.), *G. subquadratum* Buck m., *G. saemani* (Dun.), *Pseudogrammoceras fallaciosum* Bayle, *Calliphylloceras subaliasicum* (Pomp.). Выделяется ложа *Grammoceras thouarsense*.

11. Глинистые сланцы содержат *Dumortieria tabulata* Buck m., *D. exigua* Buck m., *Calliphylloceras semseyi* Pril. s. из двусторчатых—*Mytiloides quenstedti* Pcel., *Posidonia buchi* Roem. Мощность 30 м. Выделяется ложа *Dumortieria tabulata*.

Для нижнего аалена типовым является разрез отложений у с. Сафарлы, распространенный в среднем и верхнем течениях бассейнов р. Ахинджачай.

12. Пачка песчано-глинистых сланцев темно-серого цвета с *Hammatooceras ex gr. subinsigne* (Opp.) и двусторками *Mytiloides amygdaloïdes* (Goldf.), *Posidonia buchi* Roem. Мощность 85 м.

13. Песчано-глинистые сланцы чередуются с окварцованными песчаниками. Последние к верхам разреза преобладают. Мощность 15 м.

14. Песчаники толстослоистые буровато-серого цвета с чередованием рассланцовых алеврито-туффитов с примесью туфогенного материала. Мощность 15 м.

15. Песчаники толстослоистые буровато-серого цвета с чередованием рассланцовых алеврито-туффитов и примеси туфогенного материала. Мощность 20 м.

В верхних слоях пачки песчано-глинистых сланцев, распространенных в районах сс. Чешмали, Кандалар, обнаружены *Leioceras cf. opalum* Rein., *Catulloceras aratum* Buck m. Из двусторчатых—*Mytiloides quenstedti* Pcel., *M. amygdaloïdes* Goldf., *Posidonia buchi* Roem. из фораминифер—*Annulina matensis* Terg. *Trochammina cf. complanata* Park et Jon., *T. squamata* Park et Jon., *Haplophragmoides ex gr. canavariensis* (d'Orb.), *Rhizammina irdivisa* Brady. Выделяется ложа с *Leioceras opalum*.

В пределах Шамхорского антиклиниория на нижнеааленские терригенные породы несогласно залегают вулканогенные образования нижнего байоса. Отложения верхнего аалена отсутствуют.

Следует отметить, что геттингский ярус выделяется условно. В дальнейшем необходимо обосновать его палеонтологически. Фаунтически обоснованные песчано-глинистые отложения плинсбаха постепенно переходят в однофациальные отложения тоара. Однако нижний и средний подъярусы тоара фаунистически доказаны недостаточно. Необходимо дальнейшее изучение и фаунистическое обоснование нижнего и среднего отделов тоарского яруса.

#### Литература

1. Падфенгольц К. Н. Чирагидзор. Месторождение серного колчедана в Гянджинском уезде Азерб. ССР. Изд. Геолкома, 1929.
2. Падфенгольц К. Н. Геологический очерк Кавказа. Ереван, 1959.
3. Бернштейн П. С. Геологические исследования в бассейнах среднего и нижнего течения рр. Дзегамчай и Аспричай в Азербайджане. Зап. Всесоюз. минер. о-ва, 1935, № 2. 4. Ситковский И. Н. Отчет по геологопоисковым работам в Казах-Тауском, Шамшилдинском и Нуэгерском районах в 1935 г. Баку, 1936.
5. Азизбеков Ш. А. Геология и петрография северо-восточной части М. Кавказа. Изд-во АН Азерб. ССР, 1947.
6. Леонтьев Л. Н. Изв. АН СССР, серия геол., 1950, № 2, 7. Хани В. Е., Леонтьев Л. Н. Бюлл. Моск. о-ва испыт. природы, отд. геол., вып. 3 и 4, т. XXV, 1950.
7. Абуллаев Р. Н. Мезозойский вулканлизм северо-восточной части М. Кавказа. Изд-во АН Азерб. ССР, 1963.
8. Шихалибейли Э. Ш. Геологическое строение и история тектонического развития восточной части М. Кавказа. т. I. Изд-во АН Азерб. ССР, 1964.
9. Гасанов Т. А. Нижняя юра Азербайджана (Малый Кавказ). Баку, 1967.
10. Гасанов Т. А. Средняя юра Азербайджана (Малый Кавказ). Баку, 1973.

Т. А. һәсәнов

КИЧИК ГАФГАЗ КЕОСИНКЛИНАЛЫНДА (АЗӘРБАЙЧАН ҮІССӘСИ)  
АЈРЫЛАҢ „ЭСРИКЧАЙ ЛА҆ ДӘСТАСИНИН“ НУМУНӘВИ ҚАСИЛИШИ

Эспричай лај дәстәси Сомхит—Агдам фасиал структур зонасында йөрләшән Шамхор антиклинальында айрылып, О, терикин фасијадан ибарәт олуб Алт Йураны вә Орта Йуранын аален мәртәбәсеннән эштә едири. Эспричай лај дәстәсинин нумунәви қасишлиши Эспричай вә Ахынчачай аралығы саңәдә чыгарылыштырып.

Т. А. Hasanov

#### THE STANDART SECTION OF ASRIKCHAY FORMATION ON THE GEOSYNCLINE OF MINOR CAUCASUS (AZERBAJAN PART)

Asrikchay formation distinguishes in the limits of Shamchorsky zone of Somchito-Agdamsky structural-facies zone and comprises terrigenous complex of Lower Jurassic department and Aalenian stage of Middle Jurassic inclusively.

This formation is underlain by Lower Paleozoic metamorphic slate and is overlaid by volcanic formation of Balos transgressively with angular unconformity. In the capacity of Asrikchay formation distinguishes layers with *Arietites*, *Arnioceras abjectum*, *Echioceras declivis*, *Arietoceras algovianum*, *Grammoceras thouarsense*, *Dumortieria tabulata* and *Leloceras opalinum*.

Э. С. ГУСЕЙНОВ

## МЕЛАНКОНИЕВЫЕ ГРИБЫ НА ПЛОДОВЫХ РАСТЕНИЯХ В ЛЕСАХ И САДАХ АЗЕРБАЙДЖАНА

(Представлено академиком АН Азербайджанской ССР В. И. Ульянищевым)

Меланкониевые грибы на плодовых растениях распространены в Азербайджане довольно широко и включают чрезвычайно разнообразные виды. Порядок Melanconiales представлен одним семейством и 14 родами, объединяющими 43 вида. Распределяются они по родам следующим образом: *Colletotrichum*—5 видов, *Gloeosporium*—5, *Cryptosporiopsis*—1, *Sphaceloma*—1, *Cylindrosporium*—3, *Septogloeum*—1, *Enthomosporium*—1, *Libertella*—1, *Naemospora*—3, *Melanconium*—1, *Coryneum*—5, *Monochaetia*—4, *Pestalotia*—11, *Pestalozzina*—1.

Самыми распространенными видами семейства Melanconiaceae являются роды *Pestalotia*, *Gloeosporium*, *Colletotrichum* и *Coryneum*. Остальные малочисленны по количеству видов, но интересны с микологической точки зрения.

Большинство видов указанного семейства (33) патогенны, проявляя свои патогенные свойства в той или иной степени. Из них часто встречающимися являются *Colletotrichum fructigenum* Vassil., поражающий плоды семечковых и косточковых культур и диких плодовых, *C. caricae* Stev. et v. Hall. и *C. ficus* Koord.—на плодах и листьях инжира и *C. corni* (Woronich.) Vassil.—воздушитель антракноза плодов кизила в лесах и садах. Редким для микологической флоры Союза является *Colletotrichum pruni-domesticae* Grgitska, отмечаемый нами впервые на Кавказе. Гриб вызывает антракноз листьев алычи. *Enthomosporium maculatum* Lev. часто наносит вред как возбудитель бурой пятнистости листьев айвы.

*Gloeosporium amygdalinum* Brizi и *G. armeniacum* Sp. reg. вызывают антракноз плодов абрикоса и изъянность побегов миндаля.

Впервые для микрофлоры нашей страны мы приводим *Gloeosporium cerasi* Lindau, поражающий незрелые плоды вишни. Гриб был известен до этого из Польши. С фитопатологической точки зрения привлекает внимание *Gloeosporium kaki* Ito. Гриб поражает незрелые зеленые плоды хурмы кавказской и вызывает их массовое преждевременное опадение. Следует иметь в виду то обстоятельство, что хурма кавказская размножается исключительно семенами и служит единственным подвоем для хурмы японской. Поэтому снижение урожая ведет к потере семян для выращивания подвойного материала. Таким образом, вред, наносимый этим грибом, значительно больше. В настоящее время *G. kaki* имеет ограниченное распространение, но может в будущем представлять опасность для субтропического садоводства и лесокультур хурмы кавказской в лесах.

Среди меланкониевых грибов наибольшее количество видов входит в состав рода *Pestalotia*: *Pestalotia quepinii* Desm., *P. breviseta* Sacc., *P. longi-aristata* Maubl. и др. Единичными сборами отмечены *P. torrendii* Alm. et Cam., ранее описанный из Португалии, и *P.*

*diospyri* Syd., вызывающий ржаво-коричневую пятнистость листьев японской хурмы. Все плантации фейхоа поражены грибом *Pestalotia disseminata* Thüm., который является возбудителем серой пятнистости листьев.

Микофлористический интерес представляют виды *Monochaetia unicornis* (Cke et E.) Sacc., *M. concentrica* (Berk. et Broosi) Sacc. и *M. veneta* (Sacc.) Allesch. Единично встречаются виды *Septogloeum savulescui* Negri, *Cylindrosporium cydoniae* (Mont.) Schösswachwilli и *Pestalotia heterocornis* Guba. Впервые найден в Азербайджане *Melanconium mali* Lebezh., описанный из Ленинградской области. На многих видах плодовых пород поселяется гриб *Coryneum foliicola* Fckl.

Меланкониевые грибы появляются в природе в начале июня. Наиболее интенсивное их развитие наблюдается в августе-сентябре, хотя отдельные виды встречаются даже в ноябре.

Представители порядка Melanconiales характерны для более влажных условий местообитания. Их обильное развитие в Азербайджане объясняется, вероятно, влиянием теплой и дождливой зимы. Они плодоносят большей частью осенью и даже зимой.

Распространение меланкониевых грибов и их видовой состав в различных вертикальных зонах неодинаков. Больше всего их в предгорьях и среднегорном поясе. По мере подъема в горы грибов становится все меньше, а видовой состав меняется.

Так, для низменности типичными и наиболее частыми являются *Colletotrichum fructigenum* Vassil., *Coryneum foliicola* Fckl., *Enthomosporium maculatum* Lev., в предгорном и среднегорном поясах в обилии встречаются виды родов *Pestalotia* и *Monochaetia*.

Гриб *Colletotrichum corni* (Woronich.) Vassil. обнаруживается на высотах 400—1000 м над ур. м. Для верхнегорного пояса характерен *Coryneum corni-albi* Sacc. Здесь встречаются также виды *Naemospora*. А такие виды как *Cylindrosporium maculans* (Bereng.) Jacz., *Libertella corticola* A. L. Smith найдены почти во всех вертикальных поясах.

Виды *Pestalotia granati* E. Hussein и *Pestalozzina punicae* E. Hussein являются новыми для науки (Гусейнов, 1968, 1970).

Ниже приводятся виды меланкониевых грибов по родам и питающие их растения.

## Роды и виды

## Питающие растения

*Cryptosporiopsis* Bub et Kab

*C. curvispora* (Peck) Gremmen Malus domestica Borkh.  
*Gloegsporium* Desm. et Mont.

*G. armeniacum* Sp. reg.  
*G. amygdalinum* Brizi  
*G. cerasi* Lindau  
*G. kaki* Ito  
*G. olivarum* Alm.

*Colletotrichum* Sacc.

*C. caricae* F. L. Stevens et Van Hall Ficus carica L.  
*C. corni* (Woronich.) Vassil. Cornus mas L.  
*C. ficus* Koord. Ficus carica L.  
*C. fructigenum* Vassil. Malus domestica Borkh., M. orientalis

*C. pruni-domesticae* Girzitska  
*Melanconium* Lk  
*M. mali* Lebedev.  
*Septogloewum* Sacc.  
*S. savulescui* Negru  
*Enthomosporium* Lev.  
*E. maculatum* Lev. v. *maculatum* Kleb  
*Coryneum* Nees  
*C. confusum* Bub. et Kab.  
*C. corni-albi* Sacc.  
*C. elaeagni* Jacz.  
*C. follicola* Fckl  
  
*C. microsticticum* Berk. et Br.  
*Monochaetia* Sacc.  
*M. concentrica* (Berk. et Broos) Sacc.  
*M. crataegina* Syd  
*M. veneta* (Sacc.) Allesch.  
*Pestalotia* De Not.  
*P. breviseta* Sacc.  
*P. disseminata* Thüm.  
*P. diospyri* Syd.  
*P. gracilis* Kleb.  
  
*P. P. granatii* E. Husslein.  
*P. heterocornis* Guba  
*P. longi-aristata* Maubl.  
*P. malicola* Hori  
  
*P. quepini* Desm.  
*P. stictica* B. et C.  
*P. torrendi* Alm. et Cam.  
*estalozzina* Sacc.  
*P. puniae* E. Husslein.  
*Cylindrosporium* Grev.  
*C. cydoniae* (Mont.) Schoschanschwilli  
*C. mespili* Woronich.  
*C. maculans* (Bereng.) Jacz.  
  
*Liberella* Desm.  
*L. corticola* A. L. Smith  
*Naemospora* Pers.  
*N. aurea* Popuschoj et Marcich  
*N. microspora* Desm.  
*N. nigrificans* Sacc.  
  
*Sphaceloma* De Bary  
*Sph. puniae* Bitank. et Jenk.

*(Uglitzk.)* Juz., *Cydonia oblonga* Mill., *Prunus domestica* Ledeb.  
*Prunus divaricata* Ledeb.  
  
*Malus domestica* Borkh.  
  
*Elaeagnus angustifolia* L.  
  
*Cydonia oblonga* Mill.  
  
*Mespilus germanica* L.  
*Cornus mas* L.  
*Elaeagnus engustifolia* L.  
*Cydonia oblonga* Mill., *Malus orientalis* (Uglitzk.) Juz., *Pyrus communis* L.  
  
*Cydonia oblonga* Mill.  
  
*Malus domestica* Borkh.  
  
*Mespilus germanica* L.  
*Cornus mas* L.  
  
*Diospyros lotus* L.  
*Feljoa selloviiana* Berg.  
*Diospyros lotus* L., *D. kaki* L.  
*Punica granatum* L., *Feljoa selloviiana* Berg.  
*Punica granatum* L.  
*Punica granatum* L.  
*Mespilus germanica* L.  
*Malus domestica* Borkh., *M. orientalis* (Uglitzk.) Juz.  
*Feljoa zelloviana* Berg.  
*Cydonia oblonga* Mill.  
*Amygdalus communis* L.  
  
*Punica granatum* L.  
  
*Cydonia oblonga* Mill.  
  
*Mespilus germanica* L.  
*Morus alba* L.  
  
*Malus domestica* Borkh.  
  
*Pyrus caucasica* An. Fed.  
*Prunus domestica* Ledeb.  
*Cydonia oblonga* Mill.  
  
*Punica granatum* L.

#### Литература

1. Гусейнов Э. С. „Микология и фитопатология“, 2. вып. 6. Баку, 1964, 2.  
 Гусейнов Э. С. „Микология и фитопатология“, 4. вып. 1. Баку, 1970.

Институт ботаники  
 АН Азерб. ССР

E. S. гусейнов

#### АЗЕРБАЙЧАНЫН МЕШЭ ВӘ БАГЛАРЫНДА МЕЖЭ БИТКИЛЭРИНИН МЕЛАНКОНИАЛ КӨБӘЛӘКЛӘРИ

Апарылмын тәлгигатлар натиҷасында мешэ вә бағларда йағылымын межэ биткиләринде 11 чинсә айд олан 43 иш меланкониал көбәләк ашкар едилемшидир. Ошлардан 38 ишү патоңен олараг, биткиләрда мұхталиф хәстәликләр төрөдир. Меланкониал көбәләкләрни эксеризжети даг—этәни вә орта даг гүришагында йағылымышдыр. Ошларын инкешағында август—сентябр айларында кедир. Бәзиләрни исә іштә гыш дөврүндә дә спорданныма верир.

*Pestalotia granati* E. Husslein. вә *Pestalozzina punicea* E. Husslein. елм үчүн йени иевләрдир.

Мәгаләдә көбәләкләрни иевләрни вә гидаландырып биткиләр верилмешидир.

E. S. Guseinov

#### MELANCONIALES FUNGI ON FRUIT-PLANTS IN THE AZERBAIJAN FORESTS AND GARDENS

43 species of Melanconiales fungi from 14 genera were found on the cultured and wild fruit-plants. The most of them (38) are pathogenic species, which are pathogens of different fruit-plant diseases.

The most numerous is *Pestalotia* genus (11 species). The most quantity of species are distributed in foothills and mountainous zone. Their intensive development takes place in August and September.

The list of species with indication on feeding plants is given.

К. А. КУЛИЕВ

## DZAROGNETA KULIEV NOV. GEN.

(Представлено академиком АН Азербайджанской ССР М. К. Ганиевым)

Типовой вид *Oppia dubia Kuliev, 1966.*

Надсемейство Oppioidea Balogh, 1961

Окраска темно-коричневая. Тело массивное, средие склеротизованное. Клещи мелкого размера (рис. 1). Ребра лентовидные. Провальная внешняя половина их морщинистая, занимает 1/3 ширины и хорошо отличается от другой части. По внешним боковым краям ребер размещаются по 2 округлых поля. трихоботрии гребневидные, с двенадцатью зубцами. По бокам протеросомы, от ее основания к дистальным концам, тянутся весьма длинные пластиковидные гребни. Они доходят до рострума, но не соприкасаются. В межботридиальной области имеется сильно хитинизированный участок, на передней части которого размещаются 4 светлых пятна. Первая половина продорзуума по краям бугристая. На переднем конце гистеросомы имеются по 2 направленных назад склеротированных валика. Нотогастральных щетинок 10 пар. Они хорошо развиты и очень длинные, за исключением щетинки *ta*. По боковым частям нотогастера имеются светлые пятна. Хелициеры пожевидные. Генитальных щетинок 5 пар, анальных—2, агенитальных—1, адаанальных—3. I и II пары ног (рис. 2) отличаются по форме от III и IV. Так как колена I и II короткие, дистальный конец их расширен и загнут винз. Дистальная половина голени I и II сильно расширеи. Дистальная половина бедра и голени по ширине одинакова. Бедра III отличаются от всех членников ног своей шаровидной формой IV пары ног длиннее остальных. Лапки с одним коготком. Расстояние между коксами III и IV вдвое меньше, чем между коксами I и II. Таким образом, I и II пары ног отодвинуты назад, и кокса IV расположена на уровне I половины генитального отверстия.

Описываемый новый род по форме хелициер и наличию округлых полей на внешней боковой стороне ребер напоминает представителей рода *Suctobelba*. Пара ребер на средней части продорзуума приближает его к роду *Autogneta*.

*Dzarogneta dubia Kuliev, 1966*

С родовым диагнозом. Длина тела 305—326  $\mu$ . Длина протоподекты I 121  $\mu$ , ширина гистеросомы 178  $\mu$ , длина трихоботрий с основанием 84  $\mu$ , длина ребер 47  $\mu$ . Длина интерламеллярных щетинок 36  $\mu$ , ламеллярных—32  $\mu$ , ростральных—35  $\mu$ . Длина щетинки *tl* 44  $\mu$ , II пары ног 173 и IV—221  $\mu$ . Размеры генитального отверстия 36  $\times$  32  $\mu$ , анального 67  $\times$  57  $\mu$ .

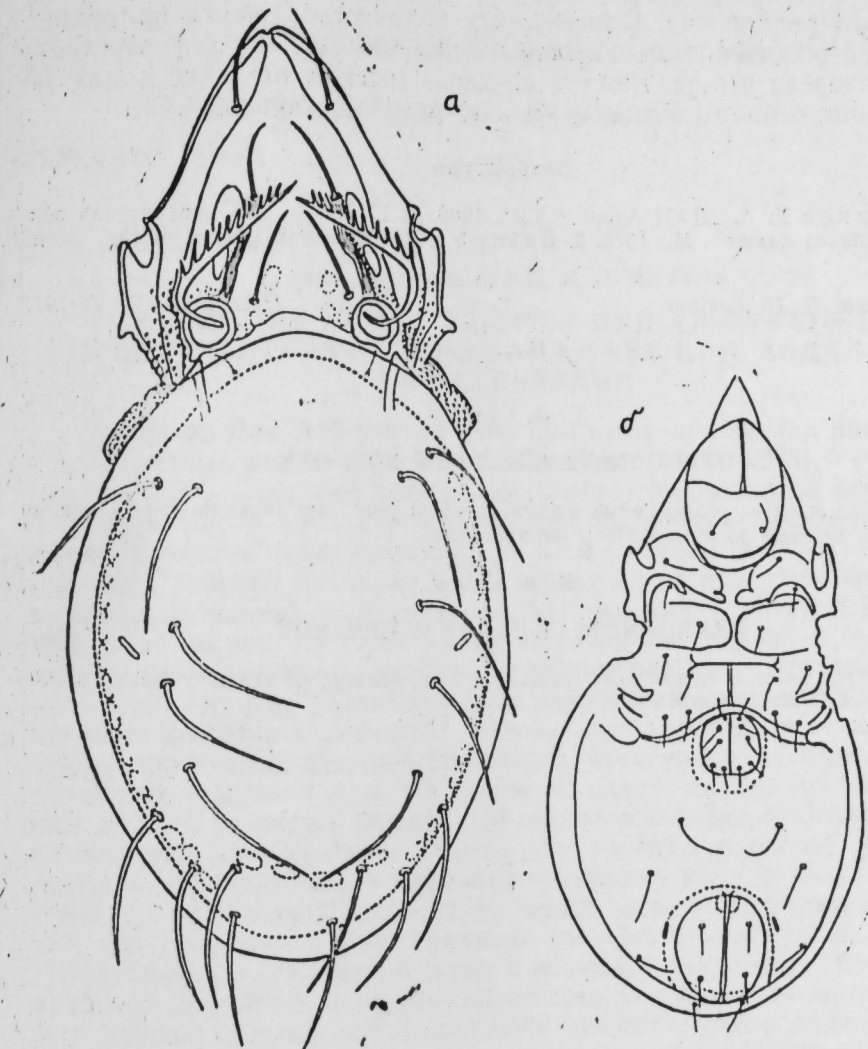


Рис. 1. Dzarogneta Kuliev gen. nov: а—вид сверху; б—вид снизу



Рис. 2. Dzarogneta Kuliev gen. nov.: а—II пара ног; б—продорзум и области левого ребра; в—хелициер с дорсальной стороны

Весьма редкий вид. Обнаружен в количестве 3 экз. в полуразложившихся растительных остатках из-под кизила и во мху со стволового же дерева в окрестностях с. Джар (отсюда название рода) Загаталского района (Большой Кавказ) Азербайджанской ССР.

#### Литература

Г. Кулев К. А. ДАН Азерб. ССР, 1966, № 12, 55—59. 2. Определительный список в почве Кавказа. М., 1975. 3. Ватсон Г. The Oxford genera of the world, 1971.

МНН им. В. И. Ленина

Поступило 3. VI 1977

Г. А. Гулиев

#### ДЗАРООНЕТА КИЛГЕУ НОВ. ОЕН.

Магадээ шидээ гэдэр яна изгүүн одынан юн бир энреийн хамаа чиншийн шэкиялдээр, тэгэрийн явахад олонд ширгээдээр.

К. А. Kelley

#### ДЗАРООНЕТА КИЛГЕУ ОЕН. НОВ.

This paper deals with the development, pictures, ideology of the new genus of orchids. Несколько страница КИЛГЕУ дэлж. нов.

АЗЕРБАЙДЖАН ССР ЕДИМОР АКАДЕМИИ НАУК МАРУЗДАРЫ

ДОКЛАДЫ АКАДЕМИИ НАУК АЗЕРБАЙДЖАНСКОЙ ССР

Том XXXIV Число

№ 6

1978

ИСТОРИЯ  
УДК

Абба Аль Азеб. ССР З. М. БУНИЯТОВ

#### СВЕДЕНИЯ КАМАЛ АД-ДИНА ИБН АЛ-ФУВАТИ О ПРЕДСТАВИТЕЛЯХ СЕМЬИ САНДЖАРА ИБН 'АБДАЛЛАХА АЛ-НАХИЧЕВАНИ

Камал ад-Дин Абу-л-Фадль 'Абд ар-Раззак ибн Ахмад ибн Мухаммад, известный под именем Ибн ал-Фувати (1244—1323), в течение 10 лет (1270—1280) был хранителем (хизи) Марагинской библиотеки, созданной Насир ад-Дином ат-Туси при им же основанной в Мараге первой академии (Дар ал-Хикма) на всем Среднем Востоке. В библиотеке было собрано 400 тысяч томов рукописей на арабском, персидском и сирийском языках по различным областям науки, которые были сводены людьми по приказу Хулагу-хана из различных стран<sup>1</sup>. В течение десяти лет Ибн ал-Фувати, прочитав и ознакомившись с огромным числом сочинений, составил различного рода справочники и картотеки с именами государственных деятелей, ученых, литераторов, поэтов, эмиров, купцов, инженеров, деятелей богословия, культуры, искусства, мастеров различных ремесел и т. д. На основе большого количества материалов Ибн ал-Фувати создал огромное 60-томное сочинение *Маджма' ал-адаб ал-муттаfib 'ala mu'djam al-nama'* фи ал-Фуджр аль-Ираки («Собрание сведений», составленных в алфавитном порядке имен в «Словаре титулов»). До наших дней сохранилось только часть этого труда, сохранивший его авторитет — *Раджис маджма'* ал-адаб фи му'джам ал-Ираки («Сокращенный сборник сведений» и «Словарь титулов»). Но и это сокращение дошло до нас в неполном виде из состоявшего в алфавитном порядке словаря переименованного обнаружена лишь четверть часть, включавший в себя имена (лакабы), начинающиеся с букв 'айн, фат и каф. Этой частью сочинения Ибн ал-Фувати опубликована прижизненным ученым Мустафи Джавидом в 1962—1967 гг. В 1939 г. в Лахоре ал-Маликни Мухаммад 'Абд ал-Кадур ибн Хильи издал пятую часть сочинения, включавшую лакабы, начинающиеся с букв каф, ал-и и мим.

В словаре имени Ибн ал-Фувати представлены сведения о выдающихся личностях мусульманского Востока начиная с первого века хиджры и кончая годами жизни самого автора. О своих современниках Ибн ал-Фувати дает более подробные и интересные данные, ибо он встречался с ними лично и получал сведения из первых рук. Конечно, особое внимание он уделял писателям и государственным деятелям высоких рангов.

В настоящей статье идены сведения о крупнейшем государственном деятеле государства ильханидов Сахиб Диши<sup>2</sup> 'Али ал-Дине 'Аль-Малик ибн Мухаммад ал-Джувани (1228—1283) — авторе знаменитой *Тарих-и Джакан-Руш* («Истории мироздания»).

Ал-Джувани происходил из потомственного рода министров фатимидов (сахиб<sup>3</sup> ал-Дини), ведущего свое начало со времен правления халифа Харуни ибн Рашида (780—809). Название должности, занимаемой представителями рода ал-Джуваний, стало второй фамильной приставкой их потомков первого сахиб Диши<sup>4</sup> и ал-Фадль ибн ал-Раби<sup>5</sup>.

<sup>1</sup> Ибн Альвар ал-Декалини ал-Дурар ал-Кашши, И. Кашш, 1960, стр. 261—266.

<sup>2</sup> О лакабе сахиб см.: ал-Кашшиши. Субх, т. VI, стр. 17—18.

После взятия Хулагу-ханом в 1258 г. Багдада 'Ала ад-Дин 'Ата-Малик ал-Джурайни стал хакимом Багдада и всего Ирака. Будучи государственным деятелем, он в то же время являлся покровителем и меценатом-воспитателем большого числа людей, ставших впоследствии видными деятелями науки и культуры<sup>3</sup>. Все эти деятели имели в своей фамилии приставку *ас-Сахиби* — производную *нисбу* от должностного титула ал-Джурайни.

К числу лиц, имевших эту фамильную приставку, относятся сыновья Санджара ибн 'Абдаллаха ан-Нахичевани. Ибн ал-Фувати лично знал всех сыновей Санджара и оставил о них в своем «Словаре» интересные биографические данные.

1. Насир ад-Дин Кутлуг-шах ибн Санджар ибн 'Абдаллах *ас-Сахиби*. — Он был назначен *садром* в округ Васита в 676 г. (1277), а затем в 685 (1286) смешен с поста и назначен *мушрифом* в *Ирак*, где стал проявлять независимость, за что в 687 г. (1288) был смешен с должности. После этого он стал домогаться различных должностей, но в этом же году был убит *мушрифом* Ирака Са'д ад-Даулей Мас'удом ал-Иахуди ал-Маш'ири. Он оставил прекрасные сочинения по философии. Им была построена медресе в городке ал-Ма' мун на берегу реки *Джа'* фар, что в округе Васита, и *рибат* в ал-Мада' ине<sup>4</sup>.

2. 'Из ад-Дин Абу-л-Фадл Даулат-шах ибн Санджар ибн 'Абдаллах *ас-Сахиби, ал-адиб, ал-катиб*.

Его *нисба* восходит к *ас-сахиб* у 'Ала ад-Дина 'Ата-Малику ибн Мухаммаду ал-Джурайни. Он занимался литературой, каллиграфией и математикой. 'Из ад-Дин' был прекрасным литератором и много писал для себя. У него в библиотеке имелось очень много ценных книг. Он имел мягкий характер. Я видел его, встречался с ним и писал о нем в 680 г. (1281). Он уехал из Багдада в ...<sup>5</sup>. В 694 г. (1295) Даулат-шах на правах откупа (*даман*) владел ал-Хиллой, но, оказавшись не в состоянии выплатить сумму откупа, он скрылся в Луристане. Он умер в 699 г. (1300) в Луристане, и его останки были перевезены в гробницу его брата Насир ад-Дина Кутлуг-шаха при святыне Салмана ал-Фариси<sup>6</sup>.

3. Хусам ад-Дин Туган-шах ибн Санджар ибн 'Абдаллах *ас-Сахиби*<sup>7</sup>.

4. Фахр ад-Дин Абу-л-Фадл Хинду-шах ибн Санджар ибн 'Абдаллах *ас-Сахиби, философ, астроном, адиб*.

Он из числа достойнейших улемов, которые выросли на службе у *ас-сахиб* и *ас-са'ид* а 'Ала ад-Дина 'Ата-Малика ал-Джурайни и воспитывались на его наставлениях. Он был трудолюбив, достиг многое, сочинял, вычислял и уделял много времени познанию астрономии, математики, разделам философии и отраслям литературы. И, наряду с этим, он имел прекрасный характер, веселый нрав и был любезным собеседником. Я видел его в медресе «ан-Низамийя» в Багдаде в 679 г. (1280). У него есть прекрасные стихи на персидском языке, и я слышал, что он сочинял и на арабском<sup>8</sup>.

Фахр ад-Дин Хинду-шах является автором сочинения на персидском языке *Таджариб ас-салаф*, которое он написал для атабека Луристана Нусрат ад-Дина Ахмада (1296—1333)<sup>9</sup>. Ему же принадлежит сочинение *ас-Сихах ал-'Аджами* (или *ал-'Аджамийя*). Один из списков этого сочинения хранится в библиотеке *Дар ал-кутуб* *Мисрийя* в Каире<sup>10</sup>. Словарь

этот составлен по тому же принципу, что и *Сихах ал-'араб ал-Джаухари* (ум. 1008), т. е. сначала автор приводит слово на арабском языке, затем на персидском, а под ними дает комментарии.

В 707 г. (1307—1308) Хинду-шах завершил в Табризе антологию на арабском языке *Маварид ал-'араб*<sup>11</sup>.

В рукописном фонде Арабского института в Каире хранится экземпляр сочинения Наджм ад-Дина Али ибн 'Умара ал-Казвини ал-Катиби (ум. 1276) по логике *Джами' ад-дака' ик фи каиф ал-хака' ик*, переписанный рукой Хинду-шаха в 688 г. (1289) для медресе «ал-Мустансия» в Багдаде<sup>12</sup>, где Хинду-шах был *мударрисом*<sup>13</sup>.

5. Сын последнего — Шамс ад-Дина Мухаммад ибн Хинду-шах ибн Санджар ибн 'Абдаллах ан-Нахичевани, или Шамс ал-Мунши.

В правление джалаиридского султана Шейха Увайса Бахадур-хана (1356—1374) Шамс ад-Дин был одним из секретарей государственного Дивана ал-инша'. Его сочинение *Дастур ал-катиб фи та' иин ал-маратиб* является одним из важнейших источников по административному устройству государств Хулагуидов и Джалаиридов, а также руководством для составления официальных документов. Сочинение завершено в 1359 г., а затем вновь переработано в 1365 г.<sup>14</sup>.

Резюмируя изложенное, необходимо сказать следующее: перечисленные представители одной семьи были персоязычными и знали арабский язык. Сведений о том, что они владели каким-то тюркским языком, в источниках нет. А. А. Али-заде в одной из своих статей пишет: «Мы не располагаем данными о том, что тюркский язык был языком обучения и книжным языком для нетюркских народностей. Следовательно, авторы сочинений, написанных на тюркском языке (когда? — З. Б.), были выходцы из тюркоязычной среды»<sup>15</sup>.

Во-первых, ни во время жизни Мухаммада ибн Хинду-шаха, ни еще долго после него никаких сочинений на тюркском (или тюркских) языке не существовало. Во-вторых, *Сихах ал-'аджам* (а не «Сохах» или «Сахах», как это у А. Али-заде) не является тюркоязычным сочинением, как наивно предполагает А. А. Али-заде<sup>16</sup>. Так называемым «книжным языком» отца Мухаммада ан-Нахичевани никак не мог стать тюркский, о чем как раз и свидетельствует *Сихах ал-'аджам*. Нет сведений о том, что его родным языком был тюркский, не говоря уже о том, что он владел им в совершенстве, ибо, если человек утверждает, что его родной язык такой-то, то подразумевается, что он владеет им в совершенстве<sup>17</sup>.

Вовсе не обязательно быть тюрком, чтобы писать сочинения на тюркских языках, как это пытаются доказать А. А. Али-заде (акад. А. Н. Кононов, проф. Э. Севортиян и многие другие вовсе не тюрки), и это его «смелое утверждение» равнозначно выражению «масло масляное».

И уж совсем гипертрофированным является утверждение А. А. Али-заде (это для того, чтобы доказать, что перс Хинду-шах говорил по-турецки) о том, что «наскальные изображения в основном распространялись в странах с тюркоязычными народностями (Перу, Аляска, Чад, Австралия тоже. — З. Б.), наличие этих памятников в Азербайджане...

<sup>11</sup> См.: К. Броккельман. GAL, II, 192, NF, 245; SB, II, 256.

<sup>12</sup> См.: Каталог рукописей Института, т. I, стр. 206.

<sup>13</sup> Ахмад Наджи ал-Кайси. Хваджа Низам ал-Мулк. Куллият ал-адаб. Багдад. т. IV, 1961, стр. 174.

<sup>14</sup> Обе части сочинения переписаны каллиграфом Фариваром и изданы под наблюдением А. А. Али-заде.

<sup>15</sup> См.: А. А. Али-заде. О произведении и родном языке Мухаммада ибн Хинду-шаха, стр. 63, а также предисловие к тексту «Дастур ал-катиб».

<sup>16</sup> Гам же, стр. 63—64.

<sup>17</sup> Там же, стр. 64.

<sup>3</sup> См.: Ибн ал-Фувати. Талхис, т. IV, ч. 2, стр. 1034—1035.

<sup>4</sup> Ибн ал-Фувати. Талхис, т. IV, ч. 1, стр. 149.

<sup>5</sup> Текст обрывается.

<sup>6</sup> Ибн ал-Фувати. Талхис, т. IV, ч. 1, стр. 149—150.

<sup>7</sup> Там же. Никаких других сведений о нем в источнике нет.

<sup>8</sup> Ибн ал-Фувати. Талхис, т. IV, ч. 3, стр. 437—438.

<sup>9</sup> О сочинении и изданиях см.: Ч. Стори. Персидская литература, I, 326—327.

<sup>10</sup> Другие списки см. в каталогах Рье и Блоше.

свидетельствует о том, что еще до появления наскальных изображений на территории Азербайджана обитали и тюркоязычные племена»<sup>18</sup>.

Околонаучные блуждания А. А. Али-заде давно были предметом осуждения таких видных ученых, как Б. Шпулер («Монголы в Иране») и И. П. Петрушевский («Земледелие и аграрные отношения в Иране XIII—XIV веков»), однако для А. А. Али-заде авторитетов в науке нет, и свои блуждания он, по словам И. П. Петрушевского, перекрывает надуманными и темными гипотезами, и почти всегда «концепция А. А. Али-заде не подтверждается источниками»<sup>19</sup>.

Институт народов Ближнего и Среднего Востока

Поступило 25. II 1978

Академик З. М. Бүнжатов

### КАМАЛ ЭД-ДИН ИБН ЭЛ-ФУВАТИННИН СӘНЧӘР ИБН АБДУЛЛАЙ НАХЧЫ-ВАНИНИН АЙЛӘСИ ҺАГГЫНДА ВЕРДИЈИ МӘ'ЛУМАТ

1270—1280-чы илләрдә Марага китабханасынын казини вәзиғесинде ишләјен Камал эд-Дин ибн эл-Фувати йаздыры «Тәлхис мәчмә ал-эдәб фи мү'чәм ал-элкаб» әсәриндә мусалман шәргинин бир чох көркәмли шәхсләrinин тәрчүмәни-налыны вермишdir.

Бурада Сәнчәр ибн Абдуллаи Нахчыванинн огуллары — Гутлуг шаһ, Дөвләт шаһ, Туган шаһ әм Һинду шаһ һаггында да мараглы мә'лumat вардыр.

Мәгәләдә һәмин мә'лumatның әрәб дилиндән рус дилинә тәрчүмәси верилмишdir.

АЗӘРБАЙЧАН ССР ЕЛМЛӘР АКАДЕМИЯСЫНЫН МӘ'РҮЗӘЛӘРИ

ДОКЛАДЫ АКАДЕМИИ НАУК АЗЕРБАЙДЖАНСКОЙ ССР

ТОМ XXXIV ЧИЛД

№ 5

1978

УДК 10(09)3

ФИЛОСОФИЯ

Д. Р. МАМЕДОВ

## ДИАЛЕКТИКА ИНТЕРНАЦИОНАЛЬНОГО И НАЦИОНАЛЬНОГО В ИСТОРИИ ОБЩЕСТВЕННОЙ МЫСЛИ

(Представлено академиком АН Азербайджанской ССР Ф. К. Кочарли)

Марксистско-ленинское понимание общественной мысли как отражения общественной жизни включает в себя и анализ соотношения интернационального и национального аспектов. В соответствии с материалистическим пониманием истории как исходным теоретико-методологическим принципом познания всех общественных явлений интернациональное и национальное в общественной мысли следует рассматривать в связи со всей совокупностью общественных отношений. Ниаче говоря, интернациональные и национальные аспекты общественной мысли и ее истории в полной мере определяются социально-экономическими, политическими, культурными условиями жизни общества. В свою очередь, многие общественные явления существуют и функционируют в национальной форме, они вовлекаются в процесс интернационализации. Следовательно, рассмотрение интернационального и национального в истории общественной мысли должно учитывать все многообразие объективных и субъективных факторов общественного развития, а также реальное употребление самих терминов «национальное» и «интернациональное».

В современной марксистской литературе термин «интернациональное» употребляется и в узком и в широком планах<sup>1</sup>.

Так, М. С. Джунусов определяет интернациональное как «особый социальный тип общего между народами и странами, главный носитель которого рабочий класс»<sup>2</sup>. Б. А. Мартыненко характеризует интернациональное как категорию «для обозначения того, что возникает между народами, как общее, переставшее быть выражением какой-либо конкретной национальной культуры»<sup>3</sup>.

В статье А. Шугурова и В. Алексеевой интернационализм характеризуется как понятие для обозначения определенных духовно-идеологических ценностей (концепции, взгляды, чувства, художественные произведения, моральные нормы) и социально-политических действий и отношений<sup>4</sup>. Данное определение как и определение Б. Мартыненко, обла-

<sup>1</sup> См. об этом: Социализм и нации. Мат-лы Междунар. конфер. «Развитие и интернациональное сотрудничество социалистических наций». М., 1957; Актуальные вопросы теории национальных отношений. М., 1974; С. Колтахуан. Ленинизм о сущности нации и путях образования интернациональной общности людей. М., 1969; Ленинизм и национальный вопрос в современных условиях. М., 1974; А. Дастаниров. Национальные отношения как специфическая форма социалистических общественных отношений. «Вопр. философ.», 1973, № 4.

<sup>2</sup> М. Джунусов. Диалектика национального и интернационального в мировом коммунистическом движении. Вильнюс, 1970, стр. 6.

<sup>3</sup> Б. Мартыненко. Методологические вопросы диалектики национального и интернационального. В сб.: «Национальное и интернациональное в жизни народа», вып. I. Киев, 1970, стр. 129.

<sup>4</sup> См.: «Философ. науки», 1971, № 2, стр. 25.

<sup>18</sup> См.: А. А. Али-заде. О произведении и родном языке Мухаммеда ибн Хинду-шаха, стр. 64, 65.

<sup>19</sup> См.: И. П. Петрушевский. Земледелие, стр. 323, 362—364, 371, 372.

даст достоинством широкого охвата явлений и процессов, не сводящихся к сумме национальных явлений.

Вполне можно согласиться с положениями содержательной статьи В. С. Петрова, где говорится, что «интернационализм возник из объективных процессов интернационализации материальной и духовной жизни и пролетарский, социалистический способ урегулирования отношений между нациями составляет поэтому часть его, а не охватывает все его содержание». Кроме того, В. С. Петров справедливо подчеркивает, что интернациональное не сводится к «межнациональным отношениям и их осмыслинию», оно значительно шире<sup>5</sup>.

Эти (как и многие другие) определения не являются исчерпывающими, но они не противоречат друг другу и тем более не исключают, а дополняют друг друга.

Для понимания первенства интернационального перед национальным чрезвычайно важным представляется критика попыток абсолютизации национальной формы общественной мысли, рассмотрение ее вне учета процесса поступательной интернационализации духовной жизни. Этот процесс особенно интенсивно протекает по мере усиления влияния интернационального учения марксизма-ленинизма на все области общественной жизни. Следует согласиться с суждением видного историка общественной мысли члена-корр. АН СССР М. Т. Иовчука «об отношении ленинизма к так называемым национальным формам общественной мысли».

«Можно ли сказать, — пишет М. Иовчук, — что все виды культуры нуждаются в том, чтобы они принимали национальную форму? Марксизм, — справедливо подчеркивает он, — его общественная мысль... не должны принимать особых национальных форм, как это происходит в области литературы и искусства»<sup>6</sup>.

Данные характеристики интернационального в его соотношении с национальным представляются принципиально важными для правильного определения методологических основ исследования этих процессов в сфере общественной мысли.

Одной из них является диалектика общего и отдельного. В известном фрагменте «К вопросу о диалектике» В. И. Ленин писал: «...отдельное не существует иначе как в той связи, которая ведет к общему... Всякое отдельное есть (так или иначе) общее. Всякое общее есть (частица или сторона или сущность) отдельного. Всякое общее лишь приблизительно охватывает все отдельные предметы. Всякое отдельное неполно входит в общее и т. д.»<sup>7</sup>.

Ленинский анализ диалектики общего и отдельного открывает путь к познанию многообразных явлений действительности, в том числе и соотношения интернационального и национального. Этот анализ позволяет выявить некоторые закономерности развития общественной мысли, определить в ней черты интернационального характера. Такие черты имеют всеобщее значение и в то же время дают возможность выделить признаки национального своеобразия в истории мысли, характеризующие отдельное в ней, но внутреннее и органически связанное со всем общим.

Следует подчеркнуть, что ленинский анализ нельзя применять шаблонно, вне конкретных условий и особенностей. В частности, нельзя делать вывод, что интернациональное существует только в национальном и проявляется только через него. Такие новые явления (и соответ-

<sup>5</sup> См.: «Вопр. философ.», 1973, № 6, стр. 31.

<sup>6</sup> М. Т. Иовчук. Ленинизм и некоторые актуальные проблемы истории демократической общественной мысли. В кн.: «Лениннизм и развитие демократической мысли народов Востока». Баку, 1973, стр. 11.

<sup>7</sup> В. И. Ленин. Полное собрание сочинений, т. 29, стр. 318.

ствующие им понятия), как единый советский народ, общесоветская, общенациональная гордость, единая советская культура говорят о том, что интернациональное может проявляться и в новых не узконациональных формах.

Ленин в «философских тетрадях» полностью соглашается с суждением Гегеля о том, что познание дает «не только абстрактно всеобщее, но всеобщее такое, которое воплощает в себе богатство особенного, индивидуального, отдельного»<sup>8</sup>.

Обогащение общего, наполнение его иным содержанием происходит в форме развития не только самого общего, но и отдельного. Выделяя все аспекты не частного, а общего в отдельных явлениях, мы тем самым получаем возможность судить о реальном обогащении этого общего, о приращении его содержания.

Учет такой зависимости методологически особенно важен для понимания соотношений интернационального и национального в истории общественной мысли.

О том, что отдельное, национальное, входит в общее, интернациональное, и в то же время обладает своей жизненной формой, говорил В. И. Ленин. Он писал, что, «...при общей закономерности развития во всей всемирной истории несколько не исключаются, а, напротив, предполагаются отдельные полосы развития, представляющие своеобразие либо формы, либо порядка этого развития»<sup>9</sup>.

Категории общего, особенного, единичного Ленин анализировал не только в чисто логико-теоретическом плане, и в плане методологическом, считая их важными мыслительными формами для познания и обобщения сложных исторических явлений и закономерностей. В работах Ленина на большом фактическом материале убедительно показано, что преувеличение общего — это путь к схематизму в теории и догматизму в политике. Абсолютизация отдельного — путь к эмпиризму и беспринципиальной эклектике в теории и к откровенному ревизионизму и национализму на практике. Это относится ко всем сферам социального бытия и сознания, в том числе к вопросу о соотношении интернационального и национального. Данные понятия в современной литературе, как нам представляется, совершенно справедливо соотносятся с категориями общего и специфического, отдельного.

АПИЯ им. Ахундова

Поступило 25. I 1977

Ч. Р. Маммадов

### ИЧТИМАИ ФИКИР ТАРИХИНДЭ МИЛЛИ ВА БЕЙНЭЛМИЛЭЛ ЧЭҮЭТЛЭРИН ДИАЛЕКТИКАСЫ

(Ба'зи методологи мэсэлэлээр)

Мэ'нэви ирсни ёрэнцэлмэснинде милли ва беинэлмилэл чэүэтлэрии вэйдэтийн аяллагч вэ дүзүүн, самэрэлн тэтгэг елемэж энэмийжэтийн методологи мэсэлэдээр. Мэ'нэви ирсни милли зэмийнде шарын едиглэсн иччэвэр дэ беинэлмилэл чэүэтлийн энэмижэтийн аяллагч. Тарихэн нуманист мээмүн дашижсан, мэдээжэтийн инициафы уччи энэмижэти олан ичтимай фикир дэ эсил миллийн, һэм дэ беинэлмилэлчиллийн кими инициафы елэжир.

D. R. Mamedov

### THE DIALECTICS OF THE INTERNATIONAL AND THE NATIONAL IN THE HISTORY OF SOCIAL THOUGHT (SOME ASPECTS OF METHODOLOGY)

Internationalism in the social thought field is a reflection of the social life internationalization process. The author analyzes the contents and volume of the ideas 'the International' and the national 'making' an example of marxism to prove that it is not constantly that the social thought is being built into the shape of 'the national'.

The basic significance V. I. Lenin's Ideas revealing the dialectics of the whole and the individual for the problem concerned is emphasized in the article.

<sup>8</sup> В. И. Ленин. Полное собрание сочинений т. 29, стр. 90.

<sup>9</sup> В. И. Ленин. Полное собрание сочинений, т. 45, стр. 379.



## СОДЕРЖАНИЕ

### Математика

Член-корр. АН Азерб. ССР Ф. Г. Максудов и В. Г. Гусейнов. Асимптотика числа собственных значений уравнения Штурма—Лиувилля с операторным коэффициентом на полуоси . . . . . 3

### Механика

Ибрагим Эль Тахер Мухаммед Мухаммед. Чистый изгиб бесконечной полосы с эллиптическим отверстием . . . . . 8

### Математическая кибернетика

Член-корр. АН Азерб. ССР Дж. Э. Аллахвердиев, А. В. Шапиро. Об управляемости систем, описываемых дифференциальными уравнениями в банаевых пространствах . . . . . 12

### Кибернетика

В. Ю. Докукин. О применении операторного метода для решения проблемы защиты окружающей среды . . . . . 16

### Вычислительная математика

Ф. К. Пирмамедов. Численный метод решения задачи о движении границы раздела двух жидкостей в ограниченной пористой среде . . . . . 20

### Физика

Член-корр. АН Азерб. ССР Н. А. Гулиев, И. Г. Джагаров, Б. И. Мехтиев, Х. А. Мустафаев. Эффекты скалярного  $\alpha$ -бозона Хиггса и векторного Z-бозона в процессах образования пар заряженных лептонов при столкновении поляризованных протон-антипротонных пучков . . . . . 25

### Физика

З. З. Махмудов, К. М. Султанов. К нелинейной теории усиления спиновых волн высокочастотным электрическим полем в магнитном полупроводнике . . . . . 33

### Органическая химия

Э. Ш. Мамедов, Р. С. Салахова, Т. М. Гаджили, акад. АН Азерб. ССР Т. Н. Шахтахтинский. Синтез селендихлоридов БИС, N, NI-(2-хлорпропил) имидов ортофикарбоновых кислот взаимодействием N-аллилимидов с четыреххлористым селеном . . . . . 38

### Неорганическая химия

Академик АН Азерб. ССР Г. Б. Шахтахтинский, А. А. Мусаев, Г. А. Асланов, Х. М. Адыгезалов, Н. И. Тагиев, Г. А. Гасанов. Грануляция и обжиг алюнитовой руды с последующим восстановлением ее конвертированным природным газом на pilotной непрерывно действующей установке . . . . . 42

### Неорганическая химия

О. А. Алиев, член-корр. АН Азерб. ССР Дж. И. Зульфугарлы, Г. А. Гусейнова. Фазовые равновесия в системе  $\text{Na}_2\text{O}_3$ — $\text{CoO}$ — $\text{B}_2\text{O}_3$  при  $1000^\circ\text{C}$  . . . . . 47

### Химия нефти

Али Омран Бендероглы, Н. Т. Султанов, Ш. С. Ахназарова, Ф. Р. Бабаев. Анализ индивидуального состава олефиновых углеводородов  $C_5$ — $C_8$ , входящих в состав бензина каталитического крекинга . . . . . 53

### Органическая химия

Член-корр. АН Азерб. ССР М. М. Мовсумзаде, В. М. Федосеев, М. А. Сейдов, М. Н. Семененко, П. А. Гурбанов, Г. Х. Ходжаев. Взаимодействие некоторых дигалогенциалкиловых эфиров с тиомочевиной . . . . . 56

### Минерология

И. А. Бабаев. Находка сферолитов топаза в Азербайджане . . . . . 62

### Геология

Т. А. Гасанов. Типовой разрез Аспричайской свиты в геосинклинали Малого Кавказа (Азербайджанская часть) . . . . . 65

### Микология

Э. С. Гусейнов. Меланкониевые грибы на плодовых растениях в лесах и садах Азербайджана . . . . . 69

### Акарология

К. А. Кулиев. Dzarnogneta Kuliev nov. gen. . . . . 72

### История

Акад. АН Азерб. ССР З. М. Буниятов. Сведения Камал ад-Дина ибн ал-Фувати о представителях семьи Санджара ибн'Абдаллаха ан-Нахичевани . . . . . 76

### Философия

Д. Р. Мамедов. Диалектика интернационального и национального в истории общественной мысли . . . . . 80

## ПРАВИЛА ДЛЯ АВТОРОВ

1. В «Докладах Академии наук Азербайджанской ССР» помещаются краткие сообщения, содержащие законченные, еще не опубликованные результаты научных исследований, имеющих теоретическое или практическое значение.

В «Докладах» не публикуются крупные статьи, механически разделенные на ряд отдельных сообщений, статьи полемического характера без новых фактических данных статьи с описанием промежуточных опытов без определенных выводов и обобщений, работы непринципиальные, описательного или обзорного характера, чисто методические статьи, если предлагаемый метод не является принципиально новым, а также статьи по систематике растений и животных (за исключением описания особо интересных для науки находок).

Статьи, помещаемые в «Докладах», не лишают автора права последующей публикации того же сообщения в развернутом виде в других изданиях.

2. Поступающие в «Доклады» статьи рассматриваются Редакционной коллегией только после представления их академиком по специальности. Каждый академик может представить не более 5-ти статей в год.

Статьи членов-корреспондентов Академии наук Азербайджанской ССР принимаются без представления.

Редакция просит академиков при представлении статьи указывать дату получения ее от автора, а также наименование раздела, в котором статья должна быть помещена.

3. В «Докладах» публикуются не более трех статей одного автора в год.

4. В «Докладах» помещаются статьи, занимающие не более четверти авторского листа—около 6—7 страниц машинописи (10 000 печатных знаков), включая рисунки.

5. Все статьи должны иметь резюме на английском языке; кроме того, статьи, написанные на азербайджанском языке, должны иметь: резюме на русском языке и из-оборот.

6. В конце статьи должны быть указаны название научного учреждения, в котором выполнена работа, и номер телефона автора.

7. Опубликование результатов работ, проведенных в научных учреждениях должно быть разрешено дирекцией научного учреждения.

8. Статьи (включая и резюме), должны быть напечатаны на машинке через два интервала, на одной стороне листа и представляются в двух экземплярах. Формулы должны быть вписаны четко и ясно, при этом прописные буквы должны быть подчеркнуты (черным карандашом) двумя черточками снизу, а строчные — сверху, букву греческого алфавита надо обводить красным карандашом.

9. Цитируемая в статье литература должна приводиться не в виде подстрочных сносок, а общим списком (вподбор), в алфавитном порядке (по фамилии автора), в конце статьи с обозначением ссылки в тексте порядковой цифрой. Список литературы должен быть оформлен следующим образом:

а) для книг: фамилия и инициалы автора, полное название книги, номер тома, город, издательство и год издания;

б) для статей в сборниках (трудах): фамилия и инициалы автора, название статьи, название сборника (трудов), том, выпуск, место издания, издательство, год, страница;

в) для журнальных статей: фамилия и инициалы автора, название статьи, название журнала, год, том, номер, (выпуск), страница.

Ссылки на неопубликованные работы не допускаются (за исключением отчетов и диссертаций, хранящихся в научных учреждениях).

10. На обороте рисунков должны быть указаны фамилия автора, название статьи и номер рисунка. Отпечатанные на машинке подписи к рисункам представляются на отдельном листе.

11. Авторы статей должны указывать индекс статьи по Унифицированной десятичной классификации (УДК) и прилагать реферат для «Реферативного журнала».

12. Авторы должны избегать повторения одинаковых данных в таблицах, графиках и в тексте статьи.

Ввиду небольшого объема статей выводы помещаются лишь в необходимых случаях.

13. В случае представления двух или более статей одновременно необходимо указать желательный порядок их помещания.

14. Корректура статей авторам как правило не посыпается. В случае посылки корректуры допускается лишь исправление ошибок типографии.

15. Редакция выдает автору бесплатно 15 отдельных оттисков статьи.

Сдано в набор 12 V 1978 г. Подписано к печати 10/VIII 1978 г. Формат бумаги  
70×103<sup>1/16</sup>. Бум. лист. 2,75. Печ. лист. 7,70. Уч.-изд. лист. 6,87. ФГ 05966.  
Заказ 247. Тираж 735. Цена 40 коп.

Издательство «Элм». 370073. Баку-73,  
проспект Нариманова, 31. Академгородок, Главное здание.  
Типография «Красный Восток» Государственного комитета Совета Министров  
Азербайджанской ССР по делам издательств, полиграфии и книжной торговли,  
Баку, ул. Ази Асланова, 60.

